

COMMITTENTE:



ALTA SORVEGLIANZA:



GENERAL CONTRACTOR:



## INFRASTRUTTURE FERROVIARIE STRATEGICHE DEFINITE DALLA LEGGE OBIETTIVO N. 443/01

### PROGETTO DEFINITIVO

LINEA AV/AC VERONA - PADOVA

SUB TRATTA VERONA – VICENZA

1° SUB LOTTO VERONA – MONTEBELLO VICENTINO

RELAZIONE

CAVALCAFERROVIA – IV07 CAVALCA FERROVIA AL km 27+321 – IV07A IMPALCATO

RELAZIONE DI CALCOLO MURI

GENERAL CONTRACTOR		ITALFERR S.p.A.		SCALA:
<b>ATI bonifica</b> Progettista integratore	Consorzio IRICAV DUE Il Direttore			-
Franco Persio Bocchetto Dottore in Ingegneria Civile iscritto all'Ordine degli Ingegneri della Provincia di Roma al n° 8664 – Sez. A settore Civile ed Ambientale				

COMMESSA	LOTTO	FASE	ENTE	TIPO DOC.	OPERA/DISCIPLINA	PROGR.	REV.
I N 0 D	0 0	D	I 2	CL	I V 0 7 A 0	0 0 4	A

<b>ATI bonifica</b>	VISTO ATI BONIFICA	
	Firma	Data
	Ing. F.P. Bocchetto	

Programmazione

Rev.	Descrizione	Redatto	Data	Verificato	Data	Approvato	Data	Autorizzato
A	EMISSIONE	S.Grimaldi	Mag 2015	S.Grimaldi	Mag 2015	P.Polidori	Mag 2015	Alberto Checchi  iscritto all'Ordine degli Ingegneri della Provincia di Roma al n° 12414 – Sez. A settore Civile ed Ambientale

File: IN0D00DI2CLIV06A0001A.DOC	CUP: J41E91000000009	n. Elab.:
	CIG: 3320049F17	

## Sommario

1	PREMESSA.....	2
2	DESCRIZIONE DELL'OPERA .....	5
3	NORMATIVA DI RIFERIMENTO.....	8
4	CARATTERISTICHE DEI MATERIALI IMPIEGATI .....	9
4.1	CALCESTRUZZO.....	9
4.1.1	FONDAZIONI.....	9
4.1.2	MURI.....	9
4.2	ACCIAIO PER ARMATURE .....	10
4.3	COPRIFERRI MINIMI.....	10
5	CARATTERISTICHE GEOTECNICHE .....	12
5.1	TERRENO DI FONDAZIONE.....	12
5.2	TERRENO DI RINFIANCO .....	12
6	ANALISI DEI CARICHI E CONDIZIONI DI CARICO .....	13
6.1	CARICHI PERMANENTI G .....	13
6.2	CARICHI ACCIDENTALI STRADALI $Q_1$ .....	13
6.3	AZIONI SISMICHE $Q_2$ .....	13
7	COMBINAZIONI DI CARICO .....	22
8	CRITERI DI CALCOLO .....	25
9	CRITERI DI VERIFICA.....	32
9.1	VERIFICHE AGLI STATI LIMITE DI ESERCIZIO .....	32
9.1.1	Verifica a fessurazione .....	32
9.1.2	Verifica delle tensioni in esercizio.....	33
9.2	VERIFICHE AGLI STATI LIMITE ULTIMI .....	33
9.2.1	Sollecitazioni flettenti .....	33
9.2.2	Sollecitazioni taglienti .....	34
10	ANALISI DEI RISULTATI: SOLLECITAZIONI E VERIFICHE.....	36
10.1	VERIFICHE MURO 'TIPO 1' .....	36
10.2	VERIFICHE MURO 'TIPO 2' .....	41
11	ALLEGATO 1: OUTPUT DEL PROGRAMMA DI CALCOLO – MURO 'TIPO 1' .....	45
12	ALLEGATO 2: OUTPUT DEL PROGRAMMA DI CALCOLO – MURO 'TIPO 2' .....	86

 <b>ATI bonifica</b>	<b>Linea AV/AC VERONA – PADOVA</b>	
	<b>1° Sublotto: VERONA – MONTEBELLO VICENTINO</b>	
	Titolo: RELAZIONE DI CALCOLO MURI	
	PROGETTO LOTTO CODIFICA DOCUMENTO REV.	. Pag 2 di 121
	IN0D 00 DI2 CL IV 07A0004A	

## 1 PREMESSA

La presente relazione di calcolo afferisce alle strutture in c.a. dei muri in continuità con il cavalcaferrovia sito al km 27+675,00, nell'ambito della progettazione definitiva della linea AC Verona-Padova.

Le strutture, tutte realizzate in opera, possono essere distinte in muri lato spalla A e muri lato spalla B. I due paramenti sono identici per altezze e geometrie in pianta.

Lato spalla B, per il contenimento del rilevato stradale, lato parcheggio, è realizzato il muro tipo B, di lunghezza pari ad 44.0m.

Le strutture sono progettate coerentemente con quanto previsto dalla normativa vigente, Norme Tecniche delle Costruzioni 2008.

Si riportano di seguito gli stralci planimetrici in cui si segnalano i muri oggetto della presente relazione.

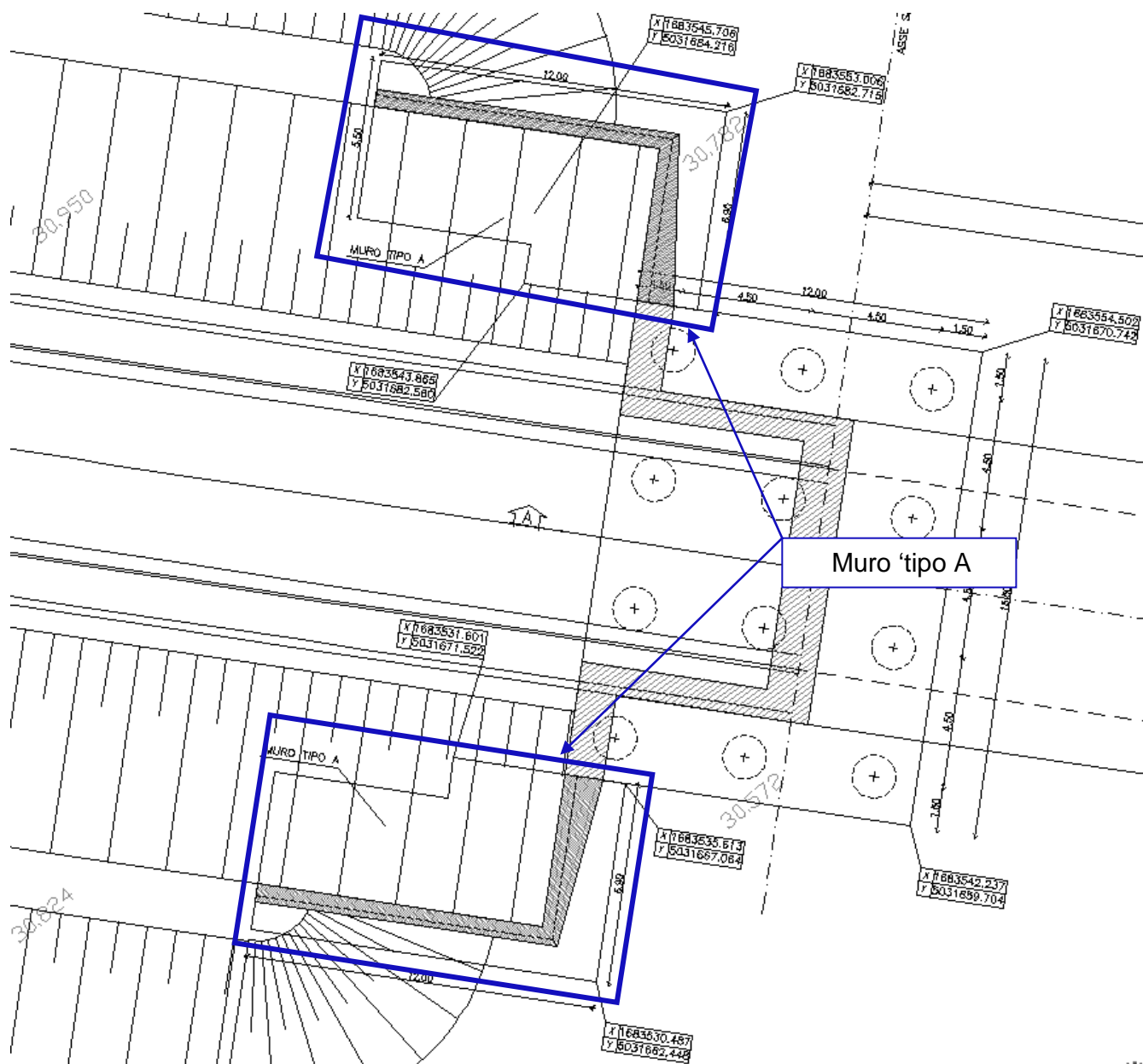


Figura 1: Stralcio planimetrico: ubicazione muri in c.a. lato spalla A

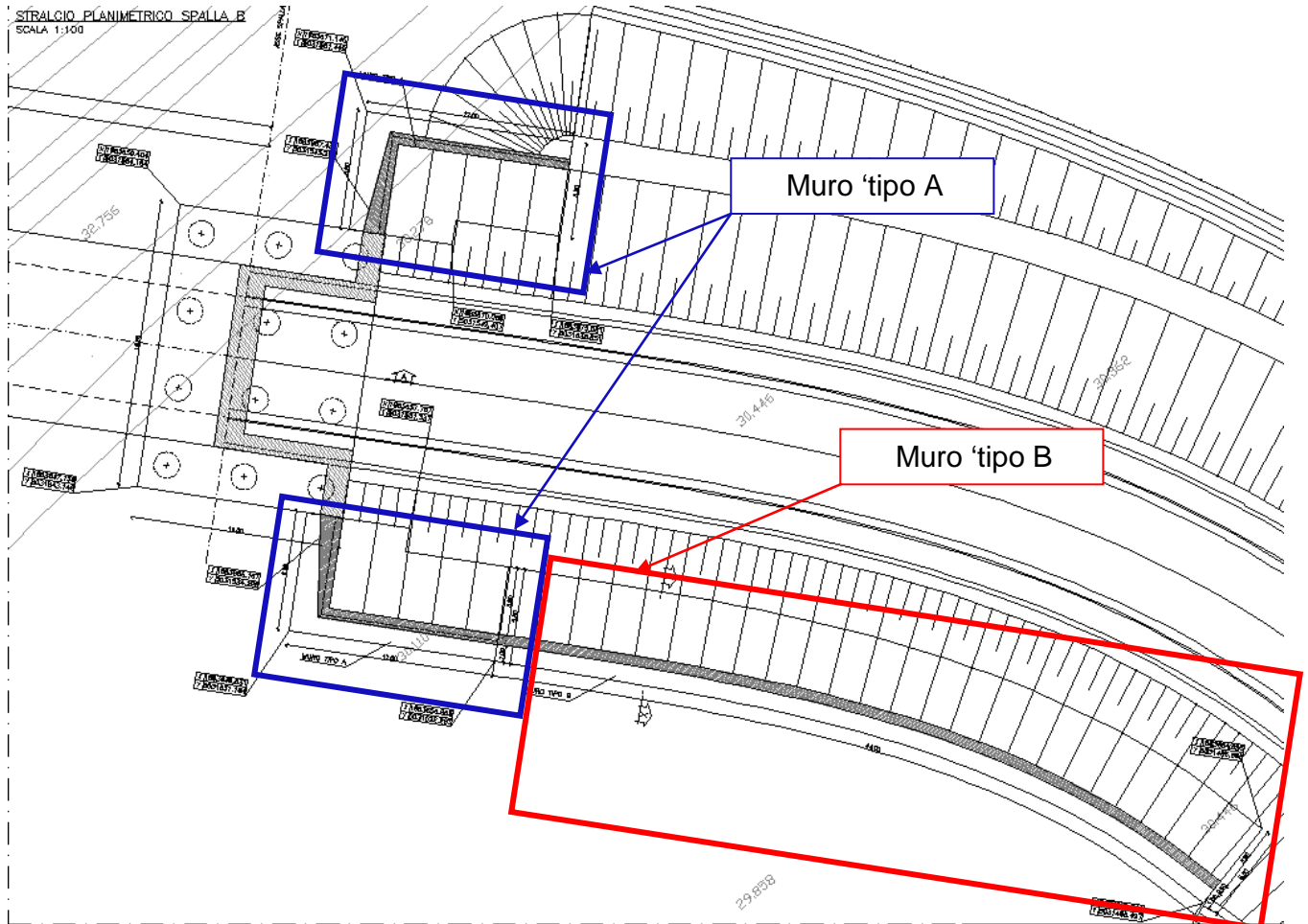


Figura 2: Stralcio planimetrico: ubicazione muri in c.a. lato spalla A

## 2 DESCRIZIONE DELL'OPERA

Il Muro TIPO A di risvolto ha altezza massima pari a 9.22 m ed impronta in pianta di 12.0x6.90m, si configura come un muro di sostegno singolo di altezza variabile nella parte adiacente alla spalla ed un tratto di altezza costante in direzione parallela all'asse stradale, di sottoscarpa di altezza pari ad 5.79m.

Le strutture sono progettate coerentemente con quanto previsto dalla normativa vigente, Norme Tecniche delle Costruzioni 2008.

Si riportano di seguito le sezioni relative ai muri tipo sopra descritti.

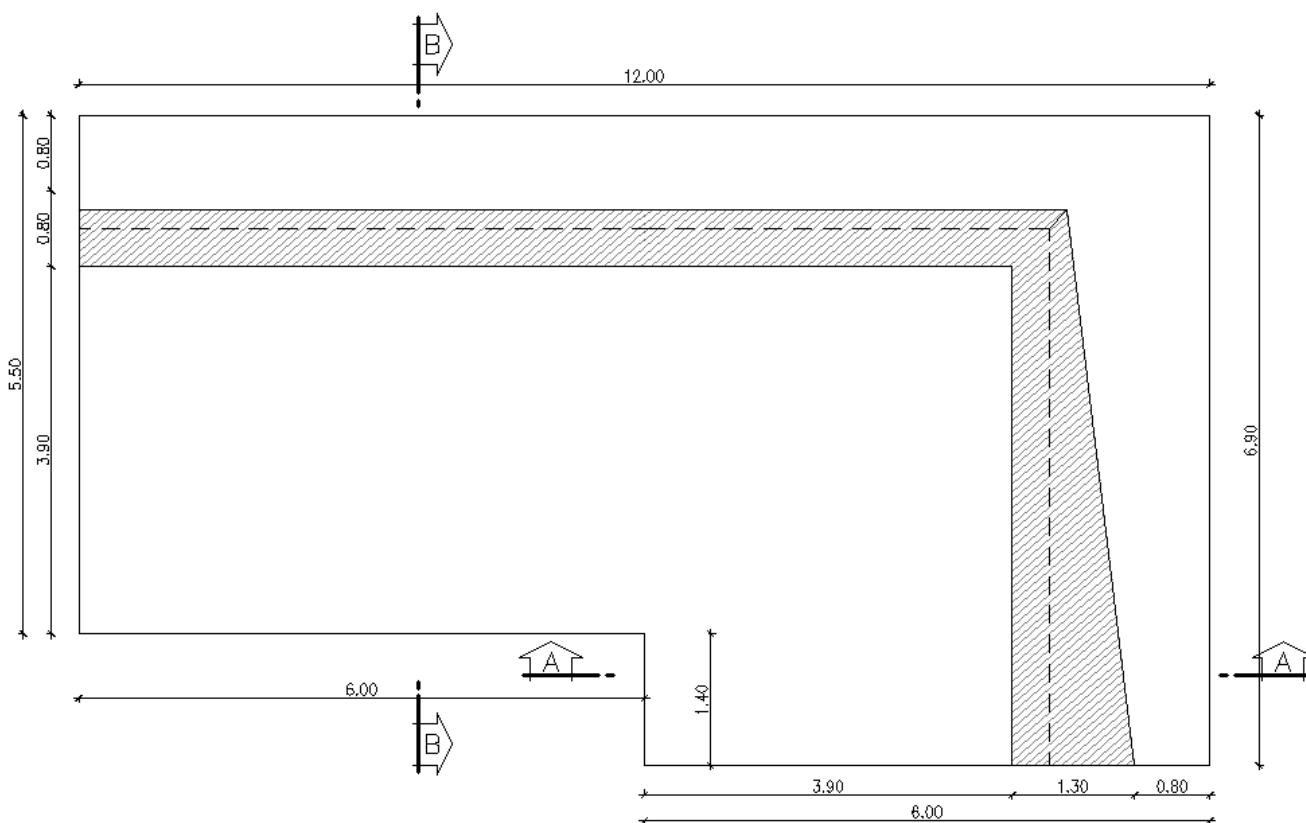


Figura 3: Pianta allo spiccato muro

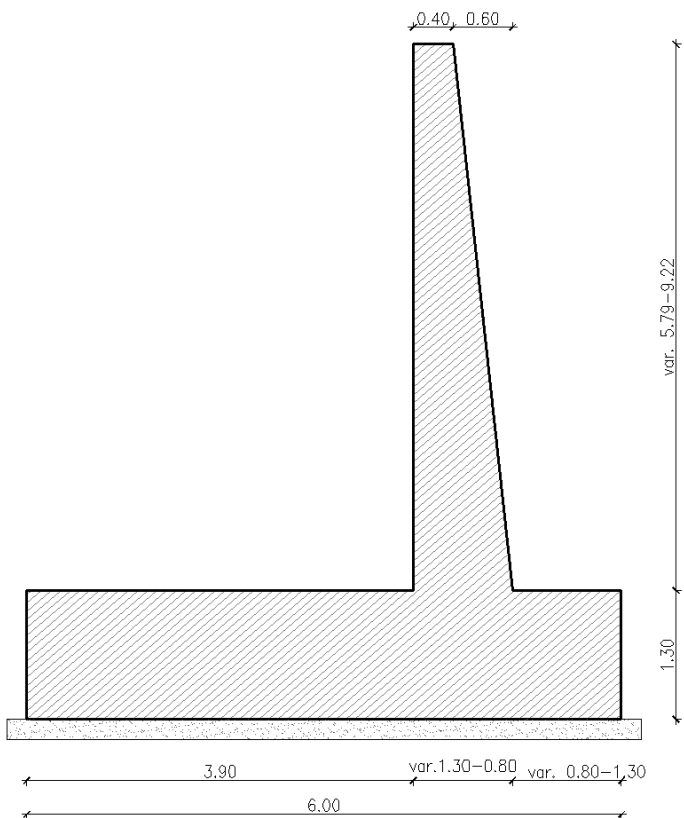


Figura 4: Sezione Muro – prosecuzione spalla altezza variabile

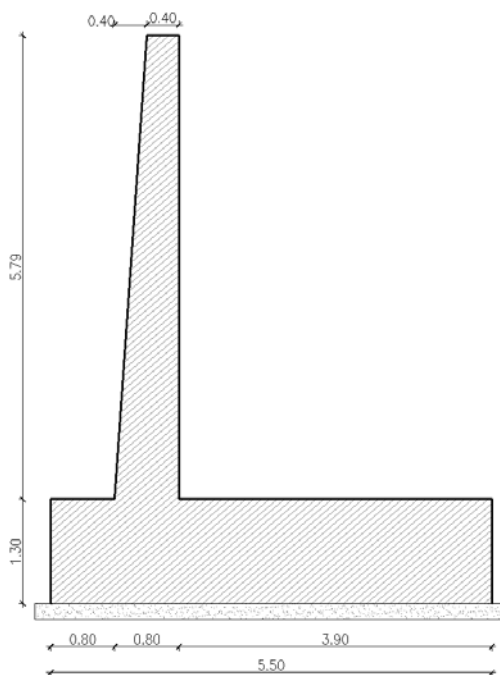


Figura 5: Sezione Muro – parte costante di sottoscarpa

Sono stati analizzati il paramento variabile in prosecuzione delle spalle (TIPO 1) e il muro di sottoscarpa di altezza costante (TIPO 2).

Il muro TIPO B, di lunghezza pari ad 44.0m, è un muro di sottoscarpa di altezza massima pari ad 5.79m.

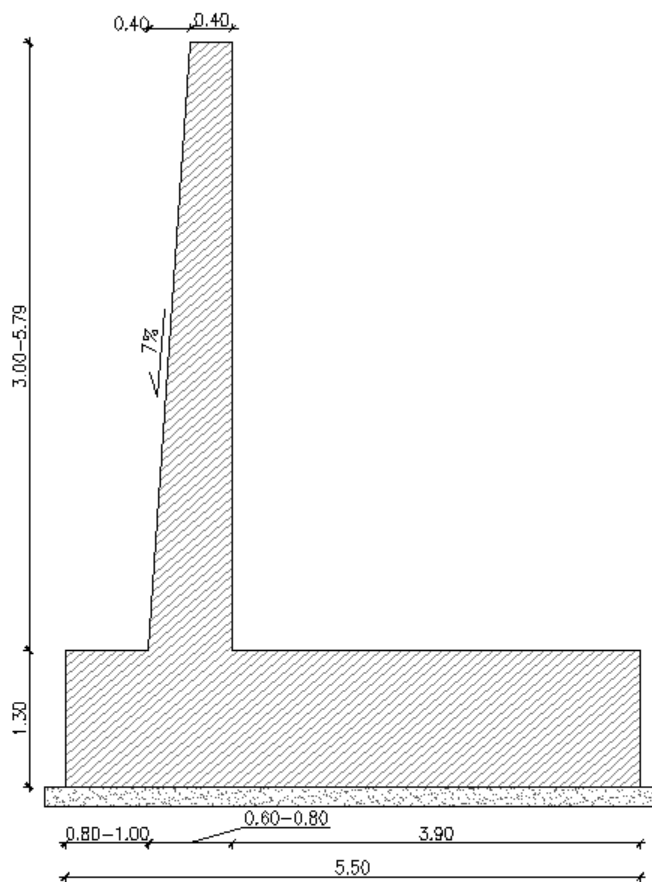


Figura 6: Sezione Muro X-X TIPO B

Per le verifiche del muro TPO B si rimnda alle verifiche del muro TIPO 2.



 <b>ATI bonifica</b>	<b>Linea AV/AC VERONA – PADOVA</b>	
	<b>1° Sublotto: VERONA – MONTEBELLO VICENTINO</b>	
	Titolo: RELAZIONE DI CALCOLO MURI	
	PROGETTO LOTTO CODIFICA DOCUMENTO REV.	. Pag 8 di 121
	IN0D 00 DI2 CL IV 07A0004A	

### 3 **NORMATIVA DI RIFERIMENTO**

Si riporta nel seguito l'elenco delle normative di riferimento.

Legge 5-1-1971 n° 1086: “Norme per la disciplina delle opere di conglomerato cementizio armato, normale e precompresso, ed a struttura metallica”;

Legge. 2 febbraio 1974, n. 64.: “Provvedimenti per le costruzioni con particolari prescrizioni per le zone sismiche”;

D.M. 14 gennaio 2008 - Norme Tecniche per le Costruzioni;

Circolare 2 febbraio 2009, n. 617 - Istruzioni per l'applicazione delle “Nuove norme tecniche per le costruzioni” di cui al D.M. 14 gennaio 2008;


UNI EN 206-1-2001: Calcestruzzo. “Specificazione, prestazione, produzione e conformità”;

UNI ENV 1992-2: Progettazione delle strutture di calcestruzzo. Parte 2. Ponti di calcestruzzo;

“Specifica per la progettazione e l'esecuzione di cavalcavia e passerelle pedonali sulla sede ferroviaria” - RFI DTC INC PO SP IFS 002 A;

“Specifica per la progettazione geotecnica delle opere civili ferroviarie” - RFI DTC INC CS SP IFS 001 A;

“Specifica per il progetto, la produzione, il controllo della produzione e la posa in opera dei dispositivi di vincolo e dei coprigiunti degli impalcati ferroviari e dei cavalcavia” - RFI DTC INC PO SP IFS 005 A.

 <b>ATI bonifica</b>	<b>Linea AV/AC VERONA – PADOVA</b>	
	<b>1° Sublotto: VERONA – MONTEBELLO VICENTINO</b>	
	Titolo: RELAZIONE DI CALCOLO MURI	
	PROGETTO LOTTO CODIFICA DOCUMENTO REV.	. Pag 9 di 121
	<b>INOD 00 DI2 CL IV 07A0004A</b>	

## 4 CARATTERISTICHE DEI MATERIALI IMPIEGATI

Di seguito si riportano le caratteristiche dei materiali impiegati:

### 4.1 CALCESTRUZZO

#### 4.1.1 FONDAZIONI

Per le strutture in fondazione si adotta un calcestruzzo con le caratteristiche riportate di seguito:

Classe d'esposizione: XC2

**C25/30:**  $f_{ck} \geq 25$  MPa  $R_{ck} \geq 30$  MPa

Classe minima di consistenza: S4


In accordo con le norme vigenti, risulta per il materiale in esame:

Resistenza caratteristica cubica a 28 giorni	$R_{ck}$	<b>30</b>	N/mm <sup>2</sup>
Resistenza caratteristica cilindrica a 28 giorni	$f_{ck} = 0.83 R_{ck}$	24,90	N/mm <sup>2</sup>
Valore medio della resistenza cilindrica	$f_{cm} = f_{ck} + 8$	32,90	N/mm <sup>2</sup>
Resistenza di calcolo breve durata	$f_{cd} \text{ (Breve durata)} = f_{ck} / 1.5$	16,60	N/mm <sup>2</sup>
Resistenza di calcolo lunga durata	$f_{cd} \text{ (Lungo durata)} = 0.85 f_{cd}$	14,11	N/mm <sup>2</sup>
Resistenza media a trazione assiale	$f_{ctm} = 0.3 (f_{ck})^{2/3}$ [Rck<50/60]	2,56	N/mm <sup>2</sup>
Resistenza caratteristica a trazione	$f_{ctk 0,05} = 0.7 f_{ctm}$	1,79	N/mm <sup>2</sup>
Resistenza media a trazione per flessione	$f_{ctm} = 1.2 f_{ctm}$	3,07	N/mm <sup>2</sup>
Resistenza di calcolo a trazione	$f_{ctd} = f_{ctk 0,05} / 1.5$	1,19	N/mm <sup>2</sup>
Modulo di Young	$E = 22000 (f_{cm}/10)^{0.3}$	31447	N/mm <sup>2</sup>

#### 4.1.2 MURI

Classe d'esposizione: XC4

**C32/40:**  $f_{ck} \geq 32$  MPa  $R_{ck} \geq 40$  MPa

 <b>ATI bonifica</b>	<b>Linea AV/AC VERONA – PADOVA</b>	
	<b>1° Sublotto: VERONA – MONTEBELLO VICENTINO</b>	
	Titolo: RELAZIONE DI CALCOLO MURI	
	PROGETTO LOTTO CODIFICA DOCUMENTO REV.	Pag
	<b>IN0D 00 DI2 CL IV 07A0004A</b>	<b>10 di 121</b>

Classe minima di consistenza: S4

In accordo con le norme vigenti, risulta per il materiale in esame:

Resistenza caratteristica cubica a 28 giorni	$R_{ck}$	<b>40</b>	N/mm <sup>2</sup>
Resistenza caratteristica cilindrica a 28 giorni	$f_{ck} = 0.83 R_{ck}$	33,20	N/mm <sup>2</sup>
Valore medio della resistenza cilindrica	$f_{cm} = f_{ck} + 8$	41,20	N/mm <sup>2</sup>
Resistenza di calcolo breve durata	$f_{cd} \text{ (Breve durata)} = f_{ck} / 1.5$	22,13	N/mm <sup>2</sup>
Resistenza di calcolo lunga durata	$f_{cd} \text{ (Lungho durata)} = 0.85 f_{cd}$	18,81	N/mm <sup>2</sup>
Resistenza media a trazione assiale	$f_{ctm} = 0.3 (f_{ck})^{2/3} \quad [R_{ck} < 50/60]$	3,10	N/mm <sup>2</sup>
Resistenza caratteristica a trazione	$f_{ctk 0,05} = 0.7 f_{ctm}$	2,17	N/mm <sup>2</sup>
Resistenza media a trazione per flessione	$f_{ctm} = 1.2 f_{ctm}$	3,72	N/mm <sup>2</sup>
Resistenza di calcolo a trazione	$f_{ctd} = f_{ctk 0,05} / 1.5$	1,45	N/mm <sup>2</sup>
Modulo di Young	$E = 22000 (f_{cm}/10)^{0.3}$	33643	N/mm <sup>2</sup>

## 4.2 ACCIAIO PER ARMATURE

Tipo B450C saldabile, per diametri compresi tra 6 e 40 mm:

$$f_{ynom} = 450 \text{ MPa}$$

$$f_{tnom} = 540 \text{ MPa}$$

$$f_{yk} \geq f_{ynom} \text{ frattile } 5\%$$

$$f_{tk} \geq f_{tnom} \text{ frattile } 5\%$$

$$1.15 \leq (f_t/f_y)_k \leq 1.35 \text{ frattile } 10\%$$

$$(f_y/f_{ynom})_k \leq 1.25 \text{ frattile } 10\%$$

$$\text{Allungamento } (A_{gt})_k \geq 7.5\% \text{ frattile } 10\%$$

Reti e tralicci elettrosaldati:

$$f_{yk} \geq 390 \text{ MPa}$$

$$f_{tk} \geq 440 \text{ MPa}$$

$$(f_{tk}/f_{yk}) \geq 1.10$$

## 4.3 COPRIFERRI MINIMI

Si riportano di seguito i copriferri minimi per le strutture in calcestruzzo armato:



**ATI bonifica**

## Linea AV/AC VERONA – PADOVA

**1° Sublotto: VERONA – MONTEBELLO VICENTINO**


Titolo:  
RELAZIONE DI CALCOLO MURI

PROGETTO LOTTO CODIFICA DOCUMENTO REV.

IN0D 00 DI2 CL IV 07A0004A

. Pag  
11 di 121

Strutture controterra	5 cm
Elevazione	5 cm

 <b>ATI bonifica</b>	<b>Linea AV/AC VERONA – PADOVA</b>	
	<b>1° Sublotto: VERONA – MONTEBELLO VICENTINO</b>	
	Titolo: RELAZIONE DI CALCOLO MURI	
	PROGETTO LOTTO CODIFICA DOCUMENTO REV.	. Pag 12 di 121
	IN0D 00 DI2 CL IV 07A0004A	

## 5 CARATTERISTICHE GEOTECNICHE

### 5.1 TERRENO DI FONDAZIONE

Relativamente alle caratteristiche geotecniche del terreno si faccia riferimento agli elaborati specifici.

### 5.2 TERRENO DI RINFIANCO

Sono riassunte nel prospetto riportato di seguito le caratteristiche del terreno di rinfianco (con  $\gamma$  pari al peso specifico del terreno;  $\gamma_{\text{sat}}$  pari al peso specifico saturo del terreno;  $c'$  pari alla coesione;  $\varphi'$  pari all'angolo di attrito;  $K_0$  coefficiente di spinta a riposo):

Parametri del terreno				
$\gamma$	$\gamma_{\text{sat}}$	$c'$	$\varphi'$	$K_0$
(kN/m <sup>3</sup> )	(kN/m <sup>3</sup> )	(kPa)	(°)	(-)
20.00	20.00	0.0	35.0	0.426

Figura 7: Parametri geotecnici del terreno di rinfianco

 <b>ATI bonifica</b>	<b>Linea AV/AC VERONA – PADOVA</b>	
	<b>1° Sublotto: VERONA – MONTEBELLO VICENTINO</b>	
	Titolo: RELAZIONE DI CALCOLO MURI	
	PROGETTO LOTTO CODIFICA DOCUMENTO REV.	. Pag 13 di 121
	INOD 00 DI2 CL IV 07A0004A	

## 6 ANALISI DEI CARICHI E CONDIZIONI DI CARICO

Le opere in esame sono soggette al peso proprio, a quello permanente del terreno di riporto, oltre che alla spinta attiva calcolata in automatico dal software di calcolo, come si mostrerà in seguito. A tergo del muro si pone in aggiunta anche un sovraccarico accidentale per simulare il traffico sul rilevato stradale da sostenere.

Nel seguito si riportano le analisi dei carichi relative ad ogni azione elementare agente sulla struttura in esame.

### 6.1 CARICHI PERMANENTI G

I carichi permanenti sono rappresentati dai pesi propri delle strutture portanti. Essi sono valutati sulla base della geometria degli elementi strutturali e del peso specifico assunto per il calcestruzzo ( $\gamma=25\text{kN/m}^3$ ).

### 6.2 CARICHI ACCIDENTALI STRADALI Q<sub>1</sub>

Per le opere di sottoscarpa a tergo del muro si pone un sovraccarico accidentale pari a  $q = 20 \text{ kN/m}^2$  per simulare il traffico sul rilevato stradale da sostenere.

### 6.3 AZIONI SISMICHE Q<sub>2</sub>

Nel presente paragrafo si riporta la descrizione e la valutazione dell'azione sismica secondo le specifiche del D.M. 14 gennaio 2008.

L'azione sismica è descritta mediante spettri di risposta elastici e di progetto. In particolare nel D.M. 14 gennaio 2008, vengono presentati gli spettri di risposta in termini di accelerazioni orizzontali e verticali.

L'espressione analitica dello spettro di risposta elastico in termini di accelerazione orizzontale è la seguente:

$$0 \leq T \leq T_B \longrightarrow S_e(T) = a_g \cdot S \cdot \eta \cdot F_0 \cdot \left[ \frac{T}{T_B} + \frac{1}{\eta \cdot F_0} \left( 1 - \frac{T}{T_B} \right) \right]$$

$$T_B \leq T \leq T_C \longrightarrow S_e(T) = a_g \cdot S \cdot \eta \cdot F_0$$

$$T_C \leq T \leq T_D \longrightarrow S_e(T) = a_g \cdot S \cdot \eta \cdot F_0 \cdot \left( \frac{T_C}{T} \right)$$

$$T_D \leq T \longrightarrow S_e(T) = a_g \cdot S \cdot \eta \cdot F_0 \cdot \left( \frac{T_C \cdot T_D}{T} \right)$$

 <b>ATI bonifica</b>	<b>Linea AV/AC VERONA – PADOVA</b>	
	<b>1° Sublotto: VERONA – MONTEBELLO VICENTINO</b>	
	Titolo: RELAZIONE DI CALCOLO MURI	
	PROGETTO LOTTO CODIFICA DOCUMENTO REV.	Pag
	<b>IN0D 00 DI2 CL IV 07A0004A</b>	<b>14 di 121</b>

In cui:

$$S = S_s \cdot S_T;$$

$S_s$ : coefficiente di amplificazione stratigrafico;

$S_T$ : coefficiente di amplificazione topografica.

$\eta$ : fattore che tiene conto di un coefficiente di smorzamento viscoso equivalente  $\xi$ , espresso in punti percentuali diverso da 5 ( $\eta=1$  per  $\xi=5$ ):

$$\eta = \sqrt{\frac{10}{5 + \xi}} \geq 0,55$$

$F_0$ : valore massimo del fattore di amplificazione dello spettro in accelerazione orizzontale;

$a_g$ : accelerazione massima al suolo;

T: periodo di vibrazione dell'oscillatore semplice;

$T_B, T_C, T_D$ : periodi che separano i diversi rami dello spettro, e che sono pari a:

$$T_C = C_C \cdot T^*_C$$

$$T_B = \frac{T_C}{3}$$

$$T_D = 4.0 + \frac{a_g}{g} + 1.6$$

In cui :

$C_C$ : coefficiente che tiene conto della categoria del terreno;


$T^*_C$ : periodo di inizio del tratto a velocità costante dello spettro in accelerazione orizzontale.

L'espressione analitica dello spettro di risposta elastico in termini di accelerazione verticale è la seguente:

$$0 \leq T \leq T_B \longrightarrow S_e(T) = a_g \cdot S \cdot \eta \cdot F_v \cdot \left[ \frac{T}{T_B} + \frac{1}{\eta \cdot F_v} \left( 1 - \frac{T}{T_B} \right) \right]$$

$$T_B \leq T \leq T_C \longrightarrow S_e(T) = a_g \cdot S \cdot \eta \cdot F_v$$

$$T_C \leq T \leq T_D \longrightarrow S_e(T) = a_g \cdot S \cdot \eta \cdot F_v \cdot \left( \frac{T_C}{T} \right)$$

 <b>ATI bonifica</b>	<b>Linea AV/AC VERONA – PADOVA</b>	
	<b>1° Sublotto: VERONA – MONTEBELLO VICENTINO</b>	
	Titolo: RELAZIONE DI CALCOLO MURI	
	PROGETTO LOTTO CODIFICA DOCUMENTO REV.	. Pag 15 di 121
	<b>IN0D 00 DI2 CL IV 07A0004A</b>	

$$T_D \leq T_D \longrightarrow S_e(T) = a_g \cdot S \cdot \eta \cdot F_v \cdot \left( \frac{T_C \cdot T_D}{T} \right)$$

nelle quali:

$S = S_S \times S_T$ : con  $S_S$  pari sempre a 1

$\eta$ : fattore che tiene conto di un coefficiente di smorzamento viscoso equivalente  $\xi$ , espresso in punti percentuali diverso da 5 ( $\eta=1$  per  $\xi=5$ ):

$$\eta = \sqrt{\frac{10}{5 + \xi}} \geq 0,55 ;$$

T: periodo di vibrazione dell'oscillatore semplice;

$T_B, T_C, T_D$ : periodi che separano i diversi rami dello spettro, e che sono pari a:

$$T_C = 0.05 ; \quad T_B = 0.15 ; \quad T_D = 1.0 ;$$

$$F_v = 1.35 \cdot F_0 \cdot \left( \frac{a_g}{g} \right)^{0.5}$$

Di seguito si riporta il calcolo dei parametri per la valutazione degli spettri in accelerazione orizzontale e verticale.


### Vita Nominale

La vita nominale di un'opera strutturale ( $V_N$ ), è intesa come il numero di anni nel quale la struttura, purchè soggetta alla manutenzione ordinaria, deve potere essere usata per lo scopo al quale è destinata. La vita nominale dei diversi tipi di opere è quella riportata nella tabella seguente.

	TIPI DI COSTRUZIONE	Vita Nominale (VN)
1	Opere provvisorie- Opere provvisionali- Strutture in fase costruttiva	$\leq 10$
2	Opere ordinarie, ponti, opere infrastrutturali e dighe di dimensioni contenute o di importanza normale	$\geq 50$
3	Grandi opere, opere infrastrutturali e dighe di grandi dimensioni o di importanza strategica	$\geq 100$

Per l'opera in oggetto si considera una vita nominale  $V_N = 100$  anni (categoria 3).



 <b>ATI bonifica</b>	<b>Linea AV/AC VERONA – PADOVA</b>	
	<b>1° Sublotto: VERONA – MONTEBELLO VICENTINO</b>	
	Titolo: RELAZIONE DI CALCOLO MURI	
	PROGETTO LOTTO CODIFICA DOCUMENTO REV.	Pag 16 di 121
	<b>INOD 00 DI2 CL IV 07A0004A</b>	

### Classi D'uso

Il Decreto Ministeriale del 14 gennaio 2008 prevede quattro categorie di classi d'uso riportate nel seguito:

<p>Classe I: Costruzioni con presenza solo occasionale di persone, edifici agricoli.</p>
<p>Classe II: Costruzioni il cui uso preveda normali affollamenti, senza contenuti pericolosi per l'ambiente e senza funzioni pubbliche e sociali essenziali. Industrie con attività non pericolose per l'ambiente. Ponti, opere infrastrutturali, reti viarie non ricadenti in Classe III o in Classe IV, reti ferroviarie la cui interruzione non provochi situazioni di emergenza. Dighe il cui collasso non provochi conseguenze rilevanti.</p>
<p>Classe III Costruzioni il cui uso preveda affollamenti significativi. Industrie con attività pericolose per l'ambiente. Reti viarie extraurbane non ricadenti in Classe IV. Ponti e reti ferroviarie la cui interruzione provochi situazioni di emergenza. Dighe rilevanti per le conseguenze di un loro eventuale collasso.</p>
<p>Classe IV: Costruzioni con funzioni pubbliche o strategiche importanti, anche con riferimento alla gestione della protezione civile in caso di calamità. Industrie particolarmente pericolose per l'ambiente. Reti viarie di tipo A o B, di cui al D.M. 5 novembre 2001, n. 6792, "Norme funzionali e geometriche per la costruzione di strade", e di tipo quando appartenenti ad itinerari di collegamento tra capoluoghi di provincia non altresì serviti da strade di tipo A o B. Ponti o reti ferroviarie di importanza critica per il mantenimento delle vie di comunicazione, particolarmente dopo un evento sismico Dighe connesse al funzionamento di acquedotti e a impianti di produzione di energia elettrica.</p>

Per l'opera in oggetto si considera una Classe d'uso III.

### Periodo di Riferimento dell'Azione Sismica

Le azioni sismiche su ciascuna costruzione vengono valutate in relazione ad un periodo di riferimento  $V_R$  che si ricava per ciascun tipo di costruzione, moltiplicando la vita nominale  $V_N$  per il coefficiente d'uso  $C_U$ :

$$V_R = V_N \cdot C_U$$

Il valore del coefficiente d'uso  $C_U$  è definito, al variare della classe d'uso, come mostrato nella tabella seguente:

CLASSE D'USO	I	II	III	IV
COEFFICIENTE CU	0.7	1	1.5	2

Pertanto per l' opera in oggetto il periodo di riferimento è pari a  $100 \times 1.5 = 150$  anni.

### Stati limite e relative probabilità di superamento

Nei confronti delle azioni sismiche gli stati limite, sia di esercizio che ultimi, sono individuati riferendosi alle prestazioni della costruzione nel suo complesso, includendo gli elementi strutturali, quelli non strutturali e gli impianti.



#### Stati limite di esercizio

Stato Limite di Operatività (**SLO**): a seguito del terremoto la costruzione nel suo complesso, includendo gli elementi strutturali, quelli non strutturali, le apparecchiature rilevanti alla sua funzione, non deve subire danni ed interruzioni d'uso significativi;

Stato Limite di Danno (**SLD**): a seguito del terremoto la costruzione nel suo complesso, includendo gli elementi strutturali, quelli non strutturali, le apparecchiature rilevanti alla sua funzione, subisce danni tali da non mettere a rischio gli utenti e da non compromettere la capacità di resistenza e di rigidità nei confronti delle azioni verticali ed orizzontali, mantenendosi immediatamente utilizzabile all'interruzione d'uso di parte delle apparecchiature.

#### Stati limite ultimi

Stato Limite di salvaguardia della Vita (**SLV**): a seguito del terremoto la costruzione subisce rotture o crolli dei componenti non strutturali ed impiantistici e significativi danni dei componenti strutturali cui si associa una perdita significativa di rigidità nei confronti delle azioni orizzontali; la costruzione invece conserva una parte della resistenza e della rigidità per azioni verticali e un margine di sicurezza nei confronti del collasso per azioni sismiche.

 	<b>Linea AV/AC VERONA – PADOVA</b>	
	<b>1° Sublotto: VERONA – MONTEBELLO VICENTINO</b>	
	Titolo: RELAZIONE DI CALCOLO MURI	
	PROGETTO LOTTO CODIFICA DOCUMENTO REV. <b>INOD 00 DI2 CL IV 07A0004A</b>	. Pag <b>18 di 121</b>

La probabilità di superamento nel periodo di riferimento  $P_{VR}$ , cui riferirsi per individuare l'azione sismica agente in ciascuno degli stati limite considerati, sono riportati nella tabella successiva.

Stati Limite		$P_{VR}$ : Probabilità di superamento nel periodo di riferimento $V_R$
Stati limite di esercizio	SLO	81%
	SLD	63%
Stati limite ultimi	SLV	10%
	SLC	5%

In accordo alle specifiche di norma le azioni sismiche per il dimensionamento dell'opera sono quelle relative allo stato limite di salvaguardia della vita (SLV). Le azioni sismiche relative allo stato limite di operatività (SLO) e allo stato limite di danno (SLD) non sono state considerate perché poco significative in relazione alle combinazioni di natura statica.

#### **Accelerazione ( $a_g$ ), fattore ( $F_0$ ) e periodo ( $T^*_c$ )**

Ai fini del D.M. 14-01-2008 le forme spettrali, per ciascuna delle probabilità di superamento nel periodo di riferimento  $P_{VR}$ , sono definite a partire dai valori dei seguenti parametri su sito di riferimento rigido orizzontale:

$a_g$ : accelerazione orizzontale massima sul sito;

$F_0$ : valore massimo del fattore di amplificazione dello spettro in accelerazione orizzontale;

$T^*_c$ : periodo di inizio del tratto a velocità costante dello spettro in accelerazione orizzontale.

I parametri prima elencati dipendono dalle coordinate geografiche, espresse in termini di latitudine e longitudine, del sito interessato dall'opera, dal periodo di riferimento ( $V_R$ ), e quindi dalla vita nominale ( $V_N$ ) e dalla classe d'uso ( $C_u$ ) e dallo stato limite considerato. Si riporta nel seguito la valutazione di detti parametri per i vari stati limite.

Latitudine: 45.411922°

Longitudine: 11.341943°

STATO LIMITE	SLV
$a_g$	0.206 g
$F_o$	2.437
$T_C^*$	0.287 s
$S_S$	1.398
$C_C$	1.585
$S_T$	1.000
$q$	

### Parametri dipendenti

$S$	1.398
$\eta$	1.250
$T_B$	0.152 s
$T_C$	0.455 s
$T_D$	2.425 s

Figura 8: Valutazione dei parametri di pericolosità sismica

### Classificazione dei terreni

Per la definizione dell'azione sismica di progetto, la valutazione dell'influenza delle condizioni litologiche e morfologiche locali sulle caratteristiche del moto del suolo in superficie, deve essere basata su studi specifici di risposta sismica locale esistenti nell'area di intervento.

In mancanza di tali studi la normativa prevede la classificazione, riportata nella tabella seguente, basata sulla stima dei valori della velocità media delle onde sismiche di taglio  $V_{s30}$ , ovvero sul numero medio di colpi NSPT ottenuti in una prova penetrometrica dinamica (per terreni prevalentemente granulari), ovvero sulla coesione non drenata media  $c_u$  (per terreni prevalentemente coesivi).

Categoria di suolo di fondazione	Descrizione
Cat. A	Ammassi rocciosi affioranti o terreni molto rigidi caratterizzati da valori di $V_{s,30}$ superiori a 800 m/s eventualmente comprendenti in superficie uno strato di alterazione, con spessore massimo di 3 m.
Cat. B	Rocce tenere e depositi di terreni a grana grossa molto addensati o terreni a grana fina molto consistenti con spessori superiori a 30 m, caratterizzati da un graduale miglioramento delle proprietà meccaniche con la profondità e da valori $V_{s,30}$ compresi tra 360 m/s e 800 m/s (ovvero $N_{spt,30} > 50$ nei terreni a grana grossa e $c_{u,30} > 250$ kPa nei terreni a grana fina)
Cat. C	Depositi di terreni a grana grossa mediamente addensati o terreni a grana fina mediamente consistenti con spessori superiori a 30 m, caratterizzati da un graduale miglioramento delle proprietà meccaniche con la profondità e da valori di $V_{s,30}$ compresi tra 180 m/s e 360 m/s (ovvero $15 < N_{spt,30} < 50$ nei terreni a grana grossa e $70 < c_{u,30} < 250$ kPa nei terreni a grana fina)
Cat. D	Depositi di terreni a grana grossa scarsamente addensati o di terreni a grana fina scarsamente consistenti, con spessori superiori a 30 m, caratterizzati da un graduale miglioramento delle proprietà meccaniche con la profondità e da valori $V_{s,30}$ inferiori a 180 m/s (ovvero $N_{spt,30} < 15$ nei terreni a grana grossa e $c_{u,30} < 70$ kPa nei terreni a grana fina)
Cat. E	Terreni dei sottosuoli di tipo C o D per spessore non superiore a 20 m, posti sul substrato di riferimento (con $V_s > 800$ m/s)
Cat. S1	Depositi di terreni caratterizzati da valori di $V_{s,30}$ inferiori a 100 m/s (ovvero $10 < c_{u,30} < 20$ kPa), che includono uno strato di almeno 8 m di terreni a grana fina di bassa consistenza, oppure che includono almeno 3 m di torba o di argille altamente organiche.
Cat. S2	Depositi di terreni suscettibili di liquefazione, di argille sensitive o

 <b>ATI bonifica</b>	<b>Linea AV/AC VERONA – PADOVA</b>	
	<b>1° Sublotto: VERONA – MONTEBELLO VICENTINO</b>	
	Titolo: RELAZIONE DI CALCOLO MURI	
	PROGETTO LOTTO CODIFICA DOCUMENTO REV. <b>INOD 00 DI2 CL IV 07A0004A</b>	. Pag <b>21 di 121</b>

	qualsiasi altra categoria di sottosuolo non classificabile nei tipi precedenti.
--	---

Dalle prove eseguite risulta che i terreni di fondazione risultano appartenere alla **categoria C.**

### Amplificazione stratigrafica

I due coefficienti prima definiti,  $S_s$  e  $C_c$ , dipendono dalla categoria del sottosuolo come mostrato nel prospetto seguente.

Per i terreni di categoria A, entrambi i coefficienti sono pari a 1, mentre per le altre categorie i due coefficienti sono pari a:

Categoria sottosuolo	$S_s$	$C_c$
A	1,00	1,00
B	$1,00 \leq 1,40 - 0,40 \cdot F_o \cdot \frac{a_g}{g} \leq 1,20$	$1,10 \cdot (T_C^*)^{-0,20}$
C	$1,00 \leq 1,70 - 0,60 \cdot F_o \cdot \frac{a_g}{g} \leq 1,50$	$1,05 \cdot (T_C^*)^{-0,33}$
D	$0,90 \leq 2,40 - 1,50 \cdot F_o \cdot \frac{a_g}{g} \leq 1,80$	$1,25 \cdot (T_C^*)^{-0,50}$
E	$1,00 \leq 2,00 - 1,10 \cdot F_o \cdot \frac{a_g}{g} \leq 1,60$	$1,15 \cdot (T_C^*)^{-0,40}$

### Amplificazione topografica

Per poter tenere conto delle condizioni topografiche e in assenza di specifiche analisi di risposta sismica, si utilizzano i valori del coefficiente topografico  $S_T$  riportati nella seguente tabella.

Categoria topografica	Ubicazione dell'opera o dell'intervento	$S_T$
T1	-	1
T2	In corrispondenza della sommità del pendio	1.2
T3	In corrispondenza della cresta del rilievo con inclinazione	1.2

 <b>ATI bonifica</b>	<b>Linea AV/AC VERONA – PADOVA</b>	
	<b>1° Sublotto: VERONA – MONTEBELLO VICENTINO</b>	
	Titolo: RELAZIONE DI CALCOLO MURI	
	PROGETTO LOTTO CODIFICA DOCUMENTO REV. INOD 00 DI2 CL IV 07A0004A	Pag 22 di 121

	media $15^\circ \leq i \leq 30^\circ$	
T4	In corrispondenza della cresta del rilievo con inclinazione media $i > 30^\circ$	1.4

Nel caso in esame  $S_T = 1$

#### Parametri sismici

- Accelerazione max. di progetto  $a_{max\_g}/g$ : 0.206
- Fattore  $F_o$  di amplificazione dello spettro: 2.437
- Fattore  $S_s$ : 1.398

## 7 COMBINAZIONI DI CARICO

Le combinazioni delle azioni per lo svolgimento delle verifiche strutturali sono state definite in accordo a quanto riportato nella Normativa vigente, D.M. 14 gennaio 2008.

Si distinguono combinazioni di carico di tipo **A1-M1** nelle quali vengono incrementati i carichi permanenti e lasciati inalterati i parametri di resistenza del terreno e combinazioni di carico di tipo **A2-M2** nelle quali vengono ridotti i parametri di resistenza del terreno e lasciati inalterati i carichi.

Operando in tal modo si ottengono valori delle spinte (azioni) maggiorate e valori di resistenza ridotti e pertanto nelle verifiche globali è possibile fare riferimento a coefficienti di sicurezza unitari.

Le verifiche da condurre, in particolare, sono quella di ribaltamento, di scorrimento e di stabilità globale, secondo quanto descritto in seguito.

I valori dei coefficienti amplificativi o riduttivi delle azioni, i valori dei coefficienti riduttivi dei parametri geotecnici e quelli delle resistenze da applicare per le verifiche agli stati limite ultimi sono riportate di seguito:

Normativa: N.T.C. 2008

#### *Simbologia adottata*

- $\gamma_{Gsfav}$  Coefficiente parziale sfavorevole sulle azioni permanenti
- $\gamma_{Gfav}$  Coefficiente parziale favorevole sulle azioni permanenti

$\gamma_{Qsfav}$	Coefficiente parziale sfavorevole sulle azioni variabili
$\gamma_{Qfav}$	Coefficiente parziale favorevole sulle azioni variabili
$\gamma_{tan\phi'}$	Coefficiente parziale di riduzione dell'angolo di attrito drenato
$\gamma_{c'}$	Coefficiente parziale di riduzione della coesione drenata
$\gamma_{cu}$	Coefficiente parziale di riduzione della coesione non drenata
$\gamma_{qu}$	Coefficiente parziale di riduzione del carico ultimo
$\gamma_{\gamma}$	Coefficiente parziale di riduzione della resistenza a compressione uniassiale delle rocce

### Coefficienti di partecipazione combinazioni statiche

Coefficienti parziali per le azioni o per l'effetto delle azioni:

<i>Carichi</i>	<i>Effetto</i>		<i>EQU</i>	<i>A1</i>	<i>A2</i>
Permanenti	Favorevole	$\gamma_{Gfav}$	0,90	1,00	1,00
Permanenti	Sfavorevole	$\gamma_{Gsfav}$	1,10	1,30	1,00
Variabili	Favorevole	$\gamma_{Qfav}$	0,00	0,00	0,00
Variabili	Sfavorevole	$\gamma_{Qsfav}$	1,50	1,50	1,30

Coefficienti parziali per i parametri geotecnici del terreno:

<i>Parametri</i>			<i>M1</i>	<i>M2</i>
Tangente dell'angolo di attrito	$\gamma_{tan\phi'}$		1,00	1,25
Coesione efficace	$\gamma_{c'}$		1,00	1,25
Resistenza non drenata	$\gamma_{cu}$		1,00	1,40
Resistenza a compressione uniassiale	$\gamma_{qu}$		1,00	1,60
Peso dell'unità di volume	$\gamma_{\gamma}$		1,00	1,00

### Coefficienti di partecipazione combinazioni sismiche

Coefficienti parziali per le azioni o per l'effetto delle azioni:

<i>Carichi</i>	<i>Effetto</i>		<i>EQU</i>	<i>A1</i>	<i>A2</i>
Permanenti	Favorevole	$\gamma_{Gfav}$	1,00	1,00	1,00
Permanenti	Sfavorevole	$\gamma_{Gsfav}$	1,00	1,00	1,00



Variabili	Favorevole	$\gamma_{Qfav}$	0,00	0,00	0,00
Variabili	Sfavorevole	$\gamma_{Qsfav}$	1,00	1,00	1,00


Coefficienti parziali per i parametri geotecnici del terreno:

<i>Parametri</i>		<i>M1</i>	<i>M2</i>
Tangente dell'angolo di attrito	$\gamma_{\tan\phi'}$	1,00	1,25
Coesione efficace	$\gamma_c'$	1,00	1,25
Resistenza non drenata	$\gamma_{cu}$	1,00	1,40
Resistenza a compressione uniassiale	$\gamma_{qu}$	1,00	1,60
Peso dell'unità di volume	$\gamma_\gamma$	1,00	1,00

**FONDAZIONE SUPERFICIALE**
**Coefficienti parziali  $\gamma_R$  per le verifiche agli stati limite ultimi STR e GEO**

<i>Verifica</i>	<i>Coefficienti parziali</i>		
	R1	R2	R3
Capacità portante della fondazione	1,00	1,00	1,40
Scorrimento	1,00	1,00	1,10
Resistenza del terreno a valle	1,00	1,00	1,40
Stabilità globale		1,10	

 Coeff. di combinazione  $\Psi_0= 0,70$      $\Psi_1= 0,50$      $\Psi_2= 0,20$

 <b>ATI bonifica</b>	<b>Linea AV/AC VERONA – PADOVA</b>	
	<b>1° Sublotto: VERONA – MONTEBELLO VICENTINO</b>	
	Titolo: RELAZIONE DI CALCOLO MURI	
	PROGETTO LOTTO CODIFICA DOCUMENTO REV.	Pag 25 di 121
	INOD 00 DI2 CL IV 07A0004A	

## 8 CRITERI DI CALCOLO

### Criteria di calcolo della spinta sul muro

#### Valori caratteristici e valori di calcolo

Effettuando il calcolo tramite gli Eurocodici è necessario fare la distinzione fra i parametri caratteristici ed i valori di calcolo (o di progetto) sia delle azioni che delle resistenze, come anticipato sopra.

I valori di calcolo si ottengono dai valori caratteristici mediante l'applicazione di opportuni coefficienti di sicurezza parziali, sopra riportati. In particolare si distinguono combinazioni di carico di tipo A1-M1 nelle quali vengono incrementati i carichi permanenti e lasciati inalterati i parametri di resistenza del terreno e combinazioni di carico di tipo A2-M2 nelle quali vengono ridotti i parametri di resistenza del terreno e lasciati inalterati i carichi.

Operando in tal modo si ottengono valori delle spinte (azioni) maggiorate e valori di resistenza ridotti e pertanto nelle verifiche globali è possibile fare riferimento a coefficienti di sicurezza unitari.

#### Metodo di Culmann

Il calcolo della struttura è stato svolto utilizzando il software Max 10.0 della Aztec Informatica.

Per la risoluzione del modello di calcolo si è optato per l'utilizzo del metodo di Culmann che adotta le stesse ipotesi di base del metodo di Coulomb. La differenza sostanziale è che mentre Coulomb considera un terrapieno con superficie a pendenza costante e carico uniformemente distribuito (il che permette di ottenere una espressione in forma chiusa per il coefficiente di spinta) il metodo di Culmann consente di analizzare situazioni con profilo di forma generica e carichi sia concentrati che distribuiti comunque disposti. Inoltre, rispetto al metodo di Coulomb, risulta più immediato e lineare tener conto della coesione del masso spingente. Come il metodo di Coulomb anche questo metodo considera una superficie di rottura rettilinea.

I passi del procedimento risolutivo sono i seguenti:

- si impone una superficie di rottura e si considera il cuneo di spinta delimitato dalla superficie di rottura stessa, dalla parete su cui si calcola la spinta e dal profilo del terreno;

 <b>ATI bonifica</b>	<b>Linea AV/AC VERONA – PADOVA</b>	
	<b>1° Sublotto: VERONA – MONTEBELLO VICENTINO</b>	
	Titolo: RELAZIONE DI CALCOLO MURI	
	PROGETTO LOTTO CODIFICA DOCUMENTO REV.	Pag
	<b>IN0D 00 DI2 CL IV 07A0004A</b>	<b>26 di 121</b>

- si valutano tutte le forze agenti sul cuneo di spinta e cioè peso proprio (W), carichi sul terrapieno, resistenza per attrito e per coesione lungo la superficie di rottura (R e C) e resistenza per coesione lungo la parete (A);

- dalle equazioni di equilibrio si ricava il valore della spinta S sulla parete.

Questo processo viene iterato fino a trovare l'angolo di rottura per cui la spinta risulta massima.

La convergenza non si raggiunge se il terrapieno risulta inclinato di un angolo maggiore dell'angolo d'attrito del terreno.

Nei casi in cui è applicabile il metodo di Coulomb (profilo a monte rettilineo e carico uniformemente distribuito) i risultati ottenuti col metodo di Culmann coincidono con quelli del metodo di Coulomb.

Le pressioni sulla parete di spinta si ricavano derivando l'espressione della spinta S rispetto all'ordinata z. Noto il diagramma delle pressioni è possibile ricavare il punto di applicazione della spinta.

### **Spinta in presenza di sisma**

Per tener conto dell'incremento di spinta dovuta al sisma si utilizza il metodo di Mononobe-Okabe (cui fa riferimento la Normativa Italiana).

La Normativa Italiana suggerisce di tener conto di un incremento di spinta dovuto al sisma nel modo seguente.

Detta  $\varepsilon$  l'inclinazione del terrapieno rispetto all'orizzontale e  $\beta$  l'inclinazione della parete rispetto alla verticale, si calcola la spinta S' considerando un'inclinazione del terrapieno e della parete pari a:

$$\varepsilon' = \varepsilon + \theta$$

$$\beta' = \beta + \theta$$

dove  $\theta = \arctg(k_h / (1 \pm k_v))$  essendo  $k_h$  il coefficiente sismico orizzontale e  $k_v$  il coefficiente sismico verticale, definito in funzione di  $k_h$ .

In presenza di falda a monte,  $\theta$  assume le seguenti espressioni:

Terreno a bassa permeabilità:

 <b>ATI bonifica</b>	<b>Linea AV/AC VERONA – PADOVA</b>	
	<b>1° Sublotto: VERONA – MONTEBELLO VICENTINO</b>	
	Titolo: RELAZIONE DI CALCOLO MURI	
	PROGETTO LOTTO CODIFICA DOCUMENTO REV.	Pag 27 di 121
	INOD 00 DI2 CL IV 07A0004A	

$$\theta = \arctg\left[\frac{\gamma_{sat}}{(\gamma_{sat}-\gamma_w)} \cdot (k_h/(1\pm k_v))\right]$$

Terreno a permeabilità elevata:

$$\theta = \arctg\left[\frac{\gamma}{(\gamma_{sat}-\gamma_w)} \cdot (k_h/(1\pm k_v))\right]$$

Detta S la spinta calcolata in condizioni statiche, l'incremento di spinta da applicare è espresso da:

$$\Delta S = AS' - S$$

dove il coefficiente A vale:

$$A = \frac{\cos^2(\beta + \theta)}{\cos^2 \beta \cos \theta}$$

Adottando il metodo di Mononobe-Okabe per il calcolo della spinta, il coefficiente A viene posto pari a 1.


Tale incremento di spinta è applicato a metà altezza della parete di spinta nel caso di forma rettangolare del diagramma di incremento sismico, allo stesso punto di applicazione della spinta statica nel caso in cui la forma del diagramma di incremento sismico è uguale a quella del diagramma statico.

Oltre a questo incremento bisogna tener conto delle forze d'inerzia orizzontali e verticali che si destano per effetto del sisma. Tali forze vengono valutate come:

$$F_{iH} = k_h W \quad F_{iV} = \pm k_v W$$

dove W è il peso del muro, del terreno soprastante la mensola di monte ed i relativi sovraccarichi e va applicata nel baricentro dei pesi.

Il metodo di Culmann tiene conto automaticamente dell'incremento di spinta. Basta inserire nell'equazione risolutiva la forza d'inerzia del cuneo di spinta. La superficie di rottura nel caso di sisma risulta meno inclinata della corrispondente superficie in assenza di sisma.

 <b>ATI bonifica</b>	<b>Linea AV/AC VERONA – PADOVA</b>	
	<b>1° Sublotto: VERONA – MONTEBELLO VICENTINO</b>	
	Titolo: RELAZIONE DI CALCOLO MURI	
	PROGETTO LOTTO CODIFICA DOCUMENTO REV.	Pag 28 di 121
	<b>INOD 00 DI2 CL IV 07A0004A</b>	

### Verifica a ribaltamento

La verifica a ribaltamento consiste nel determinare il momento risultante di tutte le forze che tendono a fare ribaltare il muro (momento ribaltante  $M_r$ ) ed il momento risultante di tutte le forze che tendono a stabilizzare il muro (momento stabilizzante  $M_s$ ) rispetto allo spigolo a valle della fondazione e verificare che il rapporto  $M_s/M_r$  sia maggiore di un determinato coefficiente di sicurezza  $\eta_r$ .

Eseguendo il calcolo mediante le NTC di cui al D.M. 14/01/2008, secondo la combinazione EQU, si può impostare  $\eta_r \geq 1.0$ .

Deve quindi essere verificata la seguente disequaglianza:


$$\frac{M_s}{M_r} \geq \eta_r$$

Il momento ribaltante  $M_r$  è dato dalla componente orizzontale della spinta  $S$ , dalle forze di inerzia del muro e del terreno gravante sulla fondazione di monte (caso di presenza di sisma) per i rispettivi bracci. Nel momento stabilizzante interviene il peso del muro (applicato nel baricentro) ed il peso del terreno gravante sulla fondazione di monte. Per quanto riguarda invece la componente verticale della spinta essa sarà stabilizzante se l'angolo d'attrito terra-muro  $\delta$  è positivo, ribaltante se  $\delta$  è negativo. L'angolo d'attrito  $\delta$  è positivo quando è il terrapieno che scorre rispetto al muro, negativo quando è il muro che tende a scorrere rispetto al terrapieno (questo può essere il caso di una spalla da ponte gravata da carichi notevoli). Se sono presenti dei tiranti essi contribuiscono al momento stabilizzante.

Questa verifica ha significato solo per fondazione superficiale e non per fondazione su pali.

### Verifica a scorrimento

Per la verifica a scorrimento del muro lungo il piano di fondazione deve risultare che la somma di tutte le forze parallele al piano di posa che tendono a fare scorrere il muro deve essere minore di tutte le forze, parallele al piano di scorrimento, che si oppongono allo scivolamento, secondo un certo coefficiente di sicurezza. La verifica a scorrimento risulta soddisfatta se il rapporto fra la risultante delle forze resistenti allo scivolamento  $F_r$  e la risultante delle forze che tendono a fare scorrere il muro  $F_s$  risulta maggiore di un determinato coefficiente di sicurezza  $\eta_s$ .

 <b>ATI bonifica</b>	<b>Linea AV/AC VERONA – PADOVA</b>	
	<b>1° Sublotto: VERONA – MONTEBELLO VICENTINO</b>	
	Titolo: RELAZIONE DI CALCOLO MURI	
	PROGETTO LOTTO CODIFICA DOCUMENTO REV.	. Pag 29 di 121
	<b>IN0D 00 DI2 CL IV 07A0004A</b>	

Eseguendo il calcolo mediante gli Eurocodici si può impostare  $\eta_s \geq 1.0$ .

Deve quindi essere verificata la seguente disequaglianza :

$$\frac{F_r}{F_s} \geq \eta_s$$

Le forze che intervengono nella  $F_s$  sono: la componente della spinta parallela al piano di fondazione e la componente delle forze d'inerzia parallela al piano di fondazione.

La forza resistente è data dalla resistenza d'attrito e dalla resistenza per adesione lungo la base della fondazione. Detta  $N$  la componente normale al piano di fondazione del carico totale gravante in fondazione e indicando con  $\delta_f$  l'angolo d'attrito terreno-fondazione, con  $c_a$  l'adesione terreno-fondazione e con  $B_r$  la larghezza della fondazione reagente, la forza resistente può esprimersi come:

$$F_r = N \operatorname{tg} \delta_f + c_a B_r$$

#### Verifica a capacità portante della fondazione

Il rapporto fra il carico limite in fondazione e la componente normale della risultante dei carichi trasmessi dal muro sul terreno di fondazione deve essere superiore a  $\eta_q$ . Cioè, detto  $Q_u$ , il carico limite ed  $R$  la risultante verticale dei carichi in fondazione, deve essere:

$$\frac{Q_u}{R} \geq \eta_q$$

Eseguendo il calcolo mediante gli Eurocodici, si può impostare  $\eta_q \geq 1.0$ .

*Terzaghi* ha proposto la seguente espressione per il calcolo della capacità portante di una fondazione superficiale.

$$q_u = c N_c s_c + q N_q + 0.5 B \gamma N_\gamma s_\gamma$$

La simbologia adottata è la seguente:

- $c$  coesione del terreno in fondazione;
- $\phi$  angolo di attrito del terreno in fondazione;
- $\gamma$  peso di volume del terreno in fondazione;

- B larghezza della fondazione;
- D profondità del piano di posa;
- q pressione geostatica alla quota del piano di posa.

I fattori di capacità portante sono espressi dalle seguenti relazioni:

$$N_q = \frac{e^{2(0.75\pi - \phi/2)\text{tg}(\phi)}}{2\cos^2(45 + \phi/2)}$$

$$N_c = (N_q - 1)\text{ctg}\phi$$

$$N_\gamma = \frac{\text{tg}\phi}{2} \left( \frac{K_{p\gamma}}{\cos^2\phi} - 1 \right)$$

I fattori di forma  $s_c$  e  $s_\gamma$  che compaiono nella espressione di  $q_u$  dipendono dalla forma della fondazione. In particolare valgono 1 per fondazioni nastriformi o rettangolari allungate e valgono rispettivamente 1.3 e 0.8 per fondazioni quadrate.

Il termine  $K_{p\gamma}$  che compare nell'espressione di  $N_\gamma$  non ha un'espressione analitica. Pertanto si assume per  $N_\gamma$  l'espressione proposta da Meyerof:

$$N_\gamma = (N_q - 1)\text{tg}(1.4*\phi)$$

### Verifica a stabilità globale

La verifica alla stabilità globale del complesso muro+terreno deve fornire un coefficiente di sicurezza non inferiore a  $\eta_g$

Eseguendo il calcolo mediante gli Eurocodici si può impostare  $\eta_g \geq 1.0$

Viene usata la tecnica della suddivisione a strisce della superficie di scorrimento da analizzare. La superficie di scorrimento viene supposta circolare e determinata in modo tale da non avere intersezione con il profilo del muro o con i pali di fondazione. Si determina il minimo coefficiente di sicurezza su una maglia di centri di dimensioni 10x10 posta in prossimità della sommità del muro. Il numero di strisce è pari a 50.

Si adotta per la verifica di stabilità globale il metodo di Bishop.

Il coefficiente di sicurezza nel metodo di Bishop si esprime secondo la seguente formula:

$$\eta = \frac{\sum_i \left( \frac{c_i b_i + (W_i - u_i b_i) \operatorname{tg} \phi_i}{m} \right)}{\sum_i W_i \sin \alpha_i}$$


dove il termine  $m$  è espresso da

$$m = \left( 1 + \frac{\operatorname{tg} \phi_i \operatorname{tg} \alpha_i}{\eta} \right) \cos \alpha_i$$

In questa espressione  $n$  è il numero delle strisce considerate,  $b_i$  e  $\alpha_i$  sono la larghezza e l'inclinazione della base della striscia  $i$ -esima rispetto all'orizzontale,  $W_i$  è il peso della striscia  $i$ -esima,  $c_i$  e  $\phi_i$  sono le caratteristiche del terreno (coesione ed angolo di attrito) lungo la base della striscia ed  $u_i$  è la pressione neutra lungo la base della striscia.

L'espressione del coefficiente di sicurezza di Bishop contiene al secondo membro il termine  $m$  che è funzione di  $\eta$ . Quindi essa viene risolta per successive approssimazioni assumendo un valore iniziale per  $\eta$  da inserire nell'espressione di  $m$  ed iterare finquando il valore calcolato coincide con il valore assunto.



 <b>ATI bonifica</b>	<b>Linea AV/AC VERONA – PADOVA</b>	
	<b>1° Sublotto: VERONA – MONTEBELLO VICENTINO</b>	
	Titolo: RELAZIONE DI CALCOLO MURI	
	PROGETTO LOTTO CODIFICA DOCUMENTO REV.	. Pag 32 di 121
	<b>INOD 00 DI2 CL IV 07A0004A</b>	

## 9 CRITERI DI VERIFICA

Le verifiche di sicurezza sulle varie parti dell'opera, per le varie combinazioni di carico vengono effettuate sulla base dei criteri definiti dalle vigenti norme tecniche ("Norme tecniche per le costruzioni" D.M. 14 gennaio 2008).

In particolare vengono effettuate le verifiche agli stati limite di servizio, riguardanti gli stati di fessurazione e di deformazione, ed allo stato limite ultimo.

Si specificano di seguito i criteri di verifica adottati per le verifiche della struttura.

### 9.1 VERIFICHE AGLI STATI LIMITE DI ESERCIZIO

#### 9.1.1 VERIFICA A FESSURAZIONE

Le verifiche a fessurazione sono eseguite adottando i criteri definiti nel paragrafo 4.1.2.2.4.5 del D.M. 14 gennaio 2008. Con riferimento alle classi di esposizione delle varie parti della struttura (si veda il paragrafo relativo alle caratteristiche dei materiali impiegati, nella presente relazione), alle corrispondenti condizioni ambientali (condizioni molto aggressive) ed alla sensibilità delle armature alla corrosione (poco sensibili per gli acciai ordinari), si individua lo stato limite di fessurazione per assicurare la funzionalità e la durata delle strutture:

Gruppi di esigenze	Condizioni ambientali	Combinazione di azioni	Armatura			
			Sensibile		Poco sensibile	
			Stato limite	$w_d$	Stato limite	$w_d$
a	Ordinarie	frequente	ap. fessure	$\leq w_2$	ap. fessure	$\leq w_3$
		quasi permanente	ap. fessure	$\leq w_1$	ap. fessure	$\leq w_2$
b	Aggressive	frequente	ap. fessure	$\leq w_1$	ap. fessure	$\leq w_2$
		quasi permanente	decompressione	-	ap. fessure	$\leq w_1$
c	Molto aggressive	frequente	formazione fessure	-	ap. fessure	$\leq w_1$
		quasi permanente	decompressione	-	ap. fessure	$\leq w_1$

Figura 9: Criteri di scelta dello stato limite di fessurazione - Tabella 4.1.IV del D.M. 14 gennaio 2008

1. Per le strutture di fondazione ed elevazione:


- *Classe di esposizione e condizioni ambientali:*

Lato terra e lato scavo: XC4-XF1 → condizioni ambientali aggressive

- *Stati limite di fessurazione:*

Lato scavo e lato terra (cond. amb. molto aggressive)

- Combinazione di carico frequente:  $w_d \leq w_1 = 0.2 \text{ mm}$

 <b>ATI bonifica</b>	<b>Linea AV/AC VERONA – PADOVA</b>	
	<b>1° Sublotto: VERONA – MONTEBELLO VICENTINO</b>	
	Titolo: RELAZIONE DI CALCOLO MURI	
	PROGETTO LOTTO CODIFICA DOCUMENTO REV.	. Pag 33 di 121
	<b>IN0D 00 DI2 CL IV 07A0004A</b>	

- Combinazione di carico quasi permanente:  $w_d \leq w_1 = 0.2 \text{ mm}$

In accordo con la vigente normativa, il valore di calcolo di apertura delle fessure  $w_d$  è dato da:

$$w_d = 1,7 w_m$$

dove  $w_m$  rappresenta l'ampiezza media delle fessure calcolata come prodotto della deformazione media delle barre d'armatura  $\varepsilon_{sm}$  per la distanza media tra le fessure  $\Delta_{sm}$ :

$$w_m = \varepsilon_{sm} \Delta_{sm}$$

Per il calcolo di  $\varepsilon_{sm}$ , e  $\Delta_{sm}$  vanno utilizzati i criteri consolidati riportati nella letteratura tecnica.

### 9.1.2 VERIFICA DELLE TENSIONI IN ESERCIZIO

Valutate le azioni interne nelle varie parti della struttura, dovute alle combinazioni caratteristica e quasi permanente delle azioni, si calcolano le massime tensioni sia nel calcestruzzo sia nelle armature; si verifica che tali tensioni siano inferiori ai massimi valori consentiti di seguito riportati.

La massima tensione di compressione del calcestruzzo  $\sigma_c$ , deve rispettare la limitazione seguente:

$$\sigma_c < 0,60 f_{ck} \text{ per combinazione caratteristica (rara)}$$

$$\sigma_c < 0,45 f_{ck} \text{ per combinazione quasi permanente.}$$


Per l'acciaio ordinario, la tensione massima  $\sigma_s$  per effetto delle azioni dovute alla combinazione caratteristica deve rispettare la limitazione seguente:

$$\sigma_s < 0,75 f_{yk}$$

dove  $f_{yk}$  per armatura ordinaria è la tensione caratteristica di snervamento dell'acciaio.

## 9.2 VERIFICHE AGLI STATI LIMITE ULTIMI

### 9.2.1 SOLLECITAZIONI FLETTENTI

 <b>ATI bonifica</b>	<b>Linea AV/AC VERONA – PADOVA</b>	
	<b>1° Sublotto: VERONA – MONTEBELLO VICENTINO</b>	
	Titolo: RELAZIONE DI CALCOLO MURI	
	PROGETTO LOTTO CODIFICA DOCUMENTO REV.	. Pag 34 di 121
	<b>IN0D 00 DI2 CL IV 07A0004A</b>	

La verifica di resistenza (SLU) è stata condotta attraverso il calcolo dei domini di interazione N-M, ovvero il luogo dei punti rappresentativi di sollecitazioni che portano in crisi la sezione di verifica secondo i criteri di resistenza da normativa.

Nel calcolo dei domini sono state mantenute le consuete ipotesi, tra cui:

- conservazione delle sezioni piane;
- legame costitutivo del calcestruzzo parabello-rettangolo non reagente a trazione, con plateau ad una deformazione pari a 0.002 e a rottura pari a 0.0035 ( $\sigma_{max} = 0.85 \times 0.83 \times R_{ck} / 1.5$ );
- legame costitutivo dell'armatura d'acciaio elastico-perfettamente plastico con deformazione limite di rottura a 0.01 ( $\sigma_{max} = f_{yk} / 1.15$ )

### 9.2.2 SOLLECITAZIONI TAGLIANTI

La resistenza a taglio  $V_{Rd}$  di elementi sprovvisti di specifica armatura è stata calcolata sulla base della resistenza a trazione del calcestruzzo.

Con riferimento all'elemento fessurato da momento flettente, la resistenza al taglio si valuta con:

$$V_{Rd} = \left\{ 0,18 \cdot k \cdot (100 \cdot \rho_1 \cdot f_{ck})^{1/3} / \gamma_c + 0,15 \cdot \sigma_{cp} \right\} \cdot b_w \cdot d \geq (v_{min} + 0,15 \cdot \sigma_{cp}) \cdot b_w \cdot d$$

con:

$$k = 1 + (200/d)^{1/2} \leq 2$$

$$v_{min} = 0,035 k^{3/2} f_{ck}^{1/2}$$

e dove:


$d$  è l'altezza utile della sezione (in mm);

$\rho_1 = A_{sl} / (b_w \cdot d)$  è il rapporto geometrico di armatura longitudinale ( $\leq 0,02$ );

$\sigma_{cp} = N_{Ed} / A_c$  è la tensione media di compressione nella sezione ( $\leq 0,2 f_{cd}$ );

$b_w$  è la larghezza minima della sezione (in mm).

La resistenza a taglio  $V_{Rd}$  di elementi strutturali dotati di specifica armatura a taglio deve essere valutata sulla base di una adeguata schematizzazione a traliccio. Gli elementi resistenti dell'ideale traliccio sono: le armature trasversali, le armature longitudinali, il

 <b>ATI bonifica</b>	<b>Linea AV/AC VERONA – PADOVA</b>	
	<b>1° Sublotto: VERONA – MONTEBELLO VICENTINO</b>	
	Titolo: RELAZIONE DI CALCOLO MURI	
	PROGETTO LOTTO CODIFICA DOCUMENTO REV.	Pag
	INOD 00 DI2 CL IV 07A0004A	35 di 121

corrente compresso di calcestruzzo e i puntoni d'anima inclinati. L'inclinazione  $\theta$  dei puntoni di calcestruzzo rispetto all'asse della trave deve rispettare i limiti seguenti:

$$1 \leq \text{ctg}\theta \leq 2.5$$

La verifica di resistenza (SLU) si pone con:

$$V_{Rd} \geq V_{Ed}$$

dove  $V_{Ed}$  è il valore di calcolo dello sforzo di taglio agente.

Con riferimento all'armatura trasversale, la resistenza di calcolo a "taglio trazione" è stata calcolata con:

$$V_{Rsd} = 0,9 \cdot d \cdot \frac{A_{sw}}{s} \cdot f_{yd} \cdot (\text{ctg}\alpha + \text{ctg}\theta) \cdot \sin\alpha$$

Con riferimento al calcestruzzo d'anima, la resistenza di calcolo a "taglio compressione" è stata calcolata con:

$$V_{Rcd} = 0,9 \cdot d \cdot b_w \cdot \alpha_c \cdot f'_{cd} \cdot (\text{ctg}\alpha + \text{ctg}\theta) / (1 + \text{ctg}^2\theta)$$

La resistenza al taglio della trave è la minore delle due sopra definite:

$$V_{Rd} = \min (V_{Rsd}, V_{Rcd})$$

In cui:

$d$  è l'altezza utile della sezione;

$b_w$  è la larghezza minima della sezione;

$\sigma_{cp}$  è la tensione media di compressione della sezione;

$A_{sw}$  è l'area dell'armatura trasversale;

$S$  è l'interasse tra due armature trasversali consecutive;

$\alpha$  è l'angolo di inclinazione dell'armatura trasversale rispetto all'asse della trave;

$f'_{cd}$  è la resistenza a compressione ridotta del calcestruzzo d'anima ( $f'_{cd}=0.5f_{cd}$ );

$\alpha$  è un coefficiente maggiorativo pari ad 1 per membrature non compresse.

## 10 ANALISI DEI RISULTATI: SOLLECITAZIONI E VERIFICHE

### 10.1 VERIFICHE MURO 'TIPO 1'

Paramento variabile in prosecuzione delle spalle, altezza di calcolo pari ad 7.80m.

Le immagini seguenti illustrano la configurazione geometrica e la stratigrafia dei terreni relative del Muro 'tipo 1':

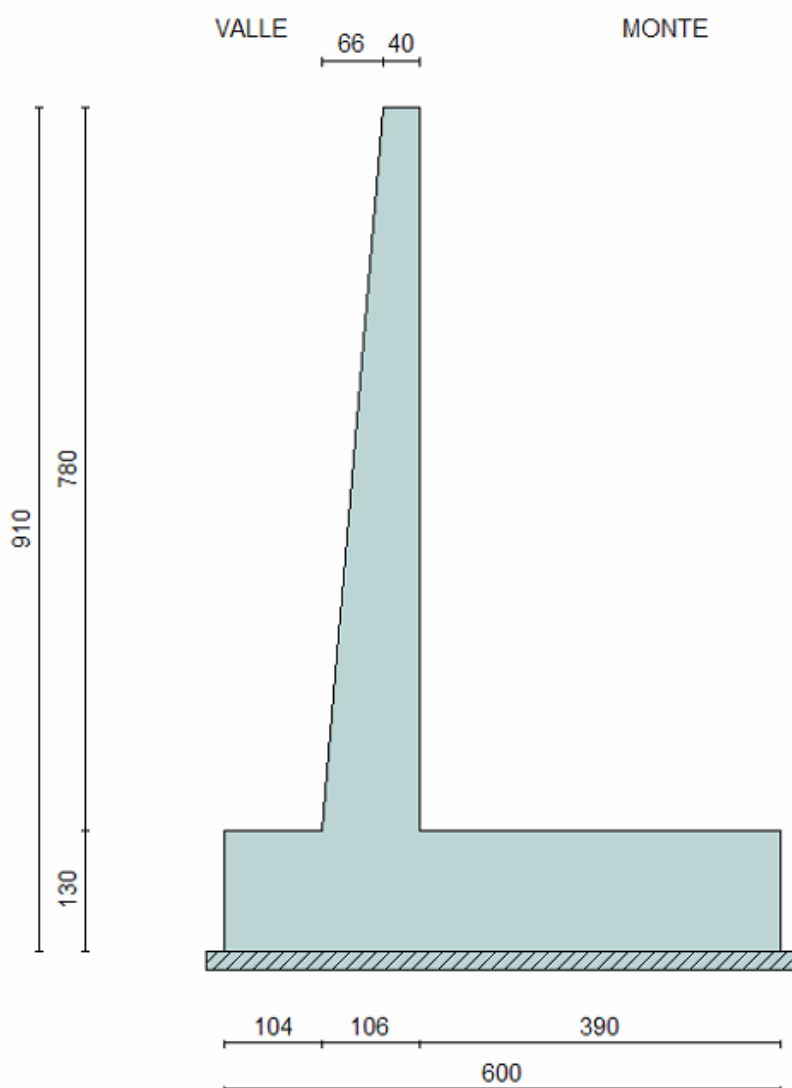


Figura 10: Geometria e dimensioni

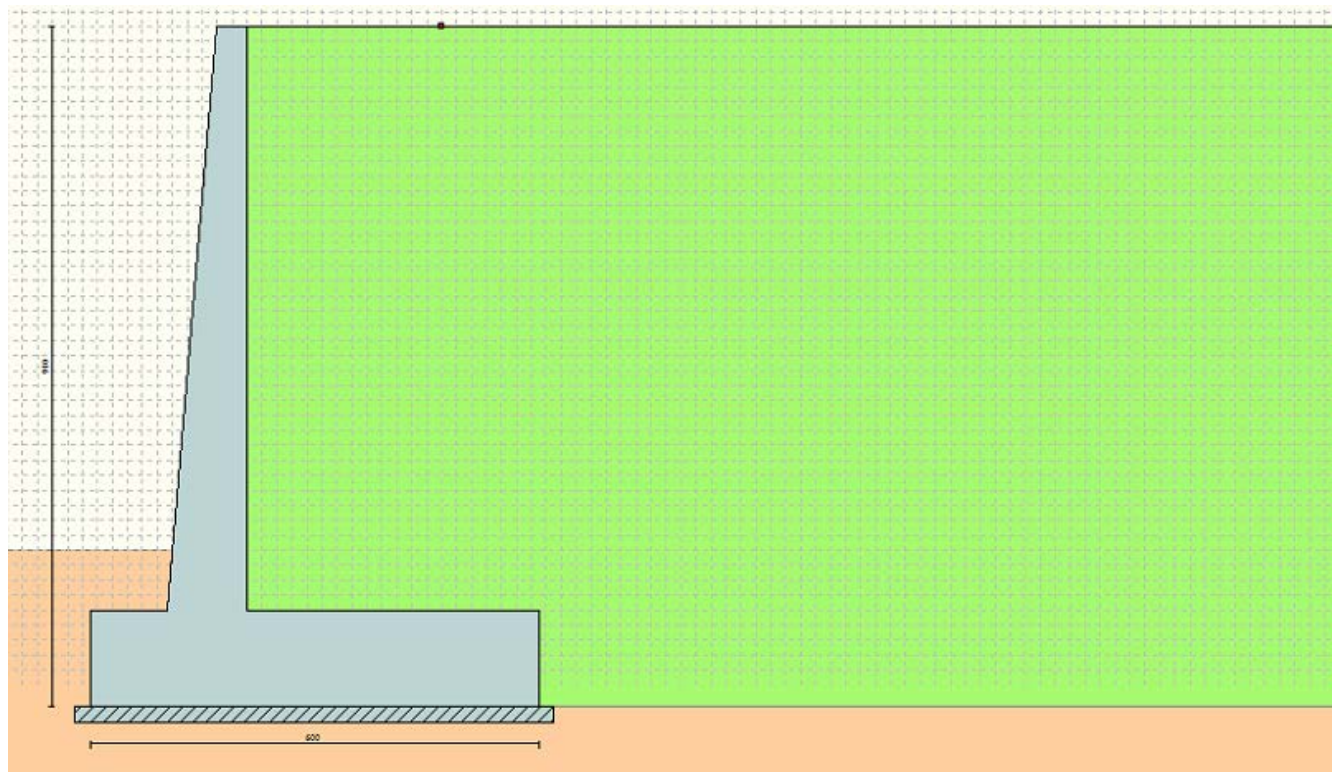


Figura 11: Profilo del terreno

Di seguito sono riassunte le verifiche strutturali e geotecniche effettuate sull'opera in esame. Si riportano i risultati delle combinazioni di carico più gravose per ogni stato limite esaminato.

#### **Verifica a stabilità globale**

La combinazione di carico più gravosa ai fini della stabilità globale del sistema muro-terreno risulta essere la n°9 (GEO-STAB – Sisma presente) la verifica risulta essere soddisfatta.

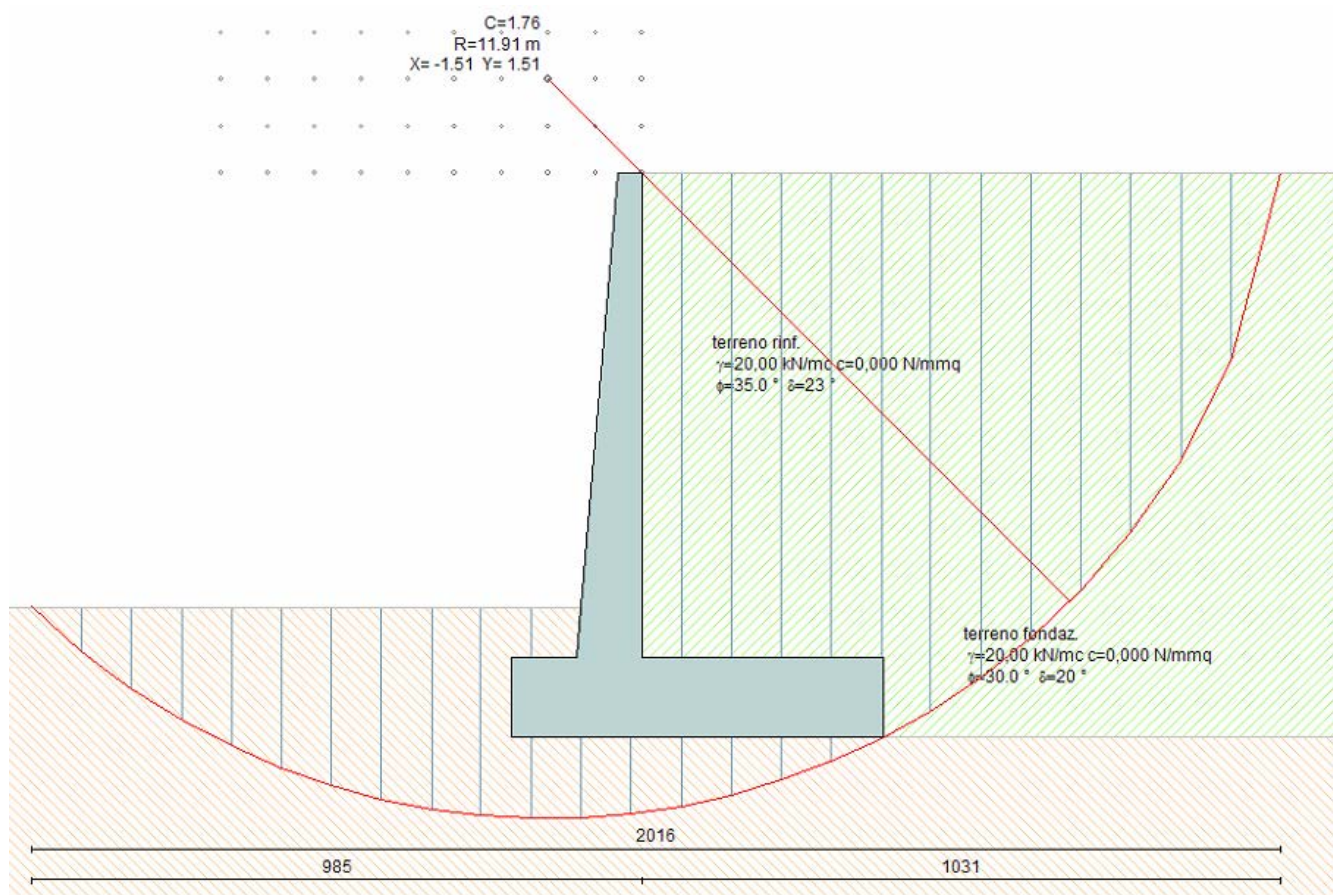


Figura 12: Stabilità globale del sistema terra-muro

### Verifiche strutturali

Nelle due immagini seguenti si riportano i diagrammi delle massime sollecitazioni che si ottengono in corrispondenza del paramento murario e della fondazione.

A partire da tali valori saranno poi effettuate le verifiche degli elementi strutturali, considerando ferri di armatura:

Paramento	lato terra	1 $\phi$ 20/20
	lato scavo	1 $\phi$ 20/20
Fondazione	superiore	1 $\phi$ 20/10
	inferiore	1 $\phi$ 20/10

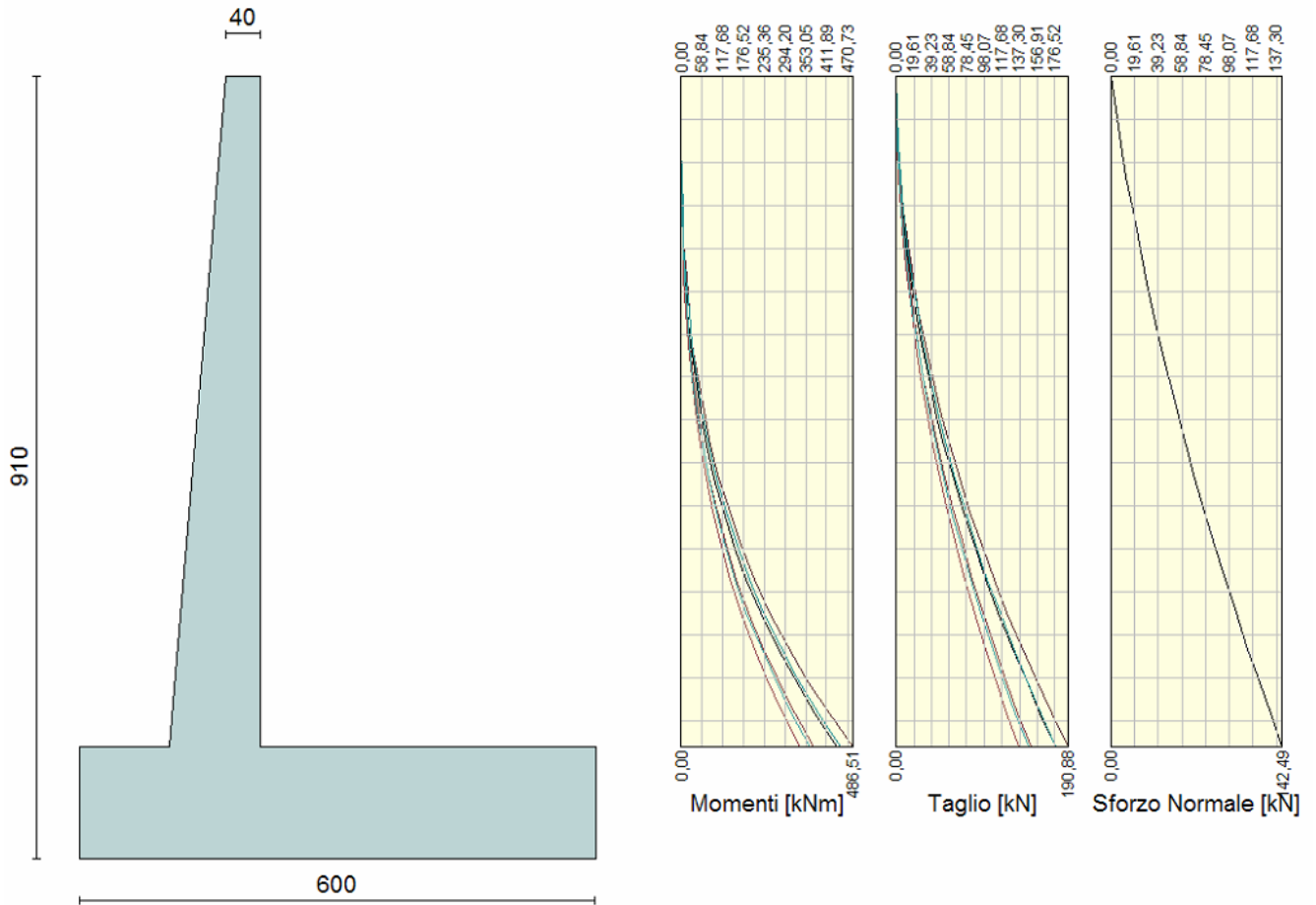


Figura 13: Sollecitazioni agenti sul paramento murario (involuppo SLU)



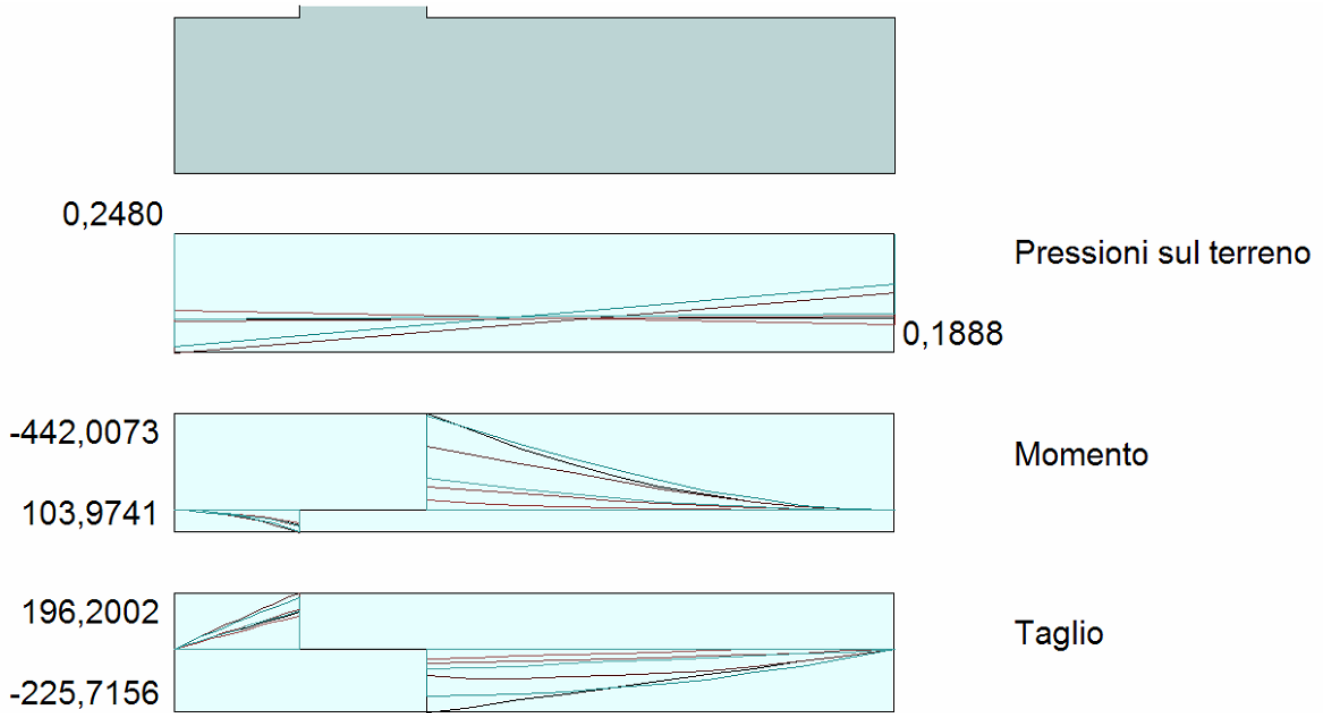


Figura 14: Sollecitazioni agenti in fondazione (involuppo SLU)

## 10.2 VERIFICHE MURO 'TIPO 2'

Paramento di sottoscarpa di altezza costante pari ad 6.22m disposto parallelamente al tracciato staradale.

Le immagini seguenti illustrano la configurazione geometrica e la stratigrafia dei terreni relative del Muro 'tipo 2':

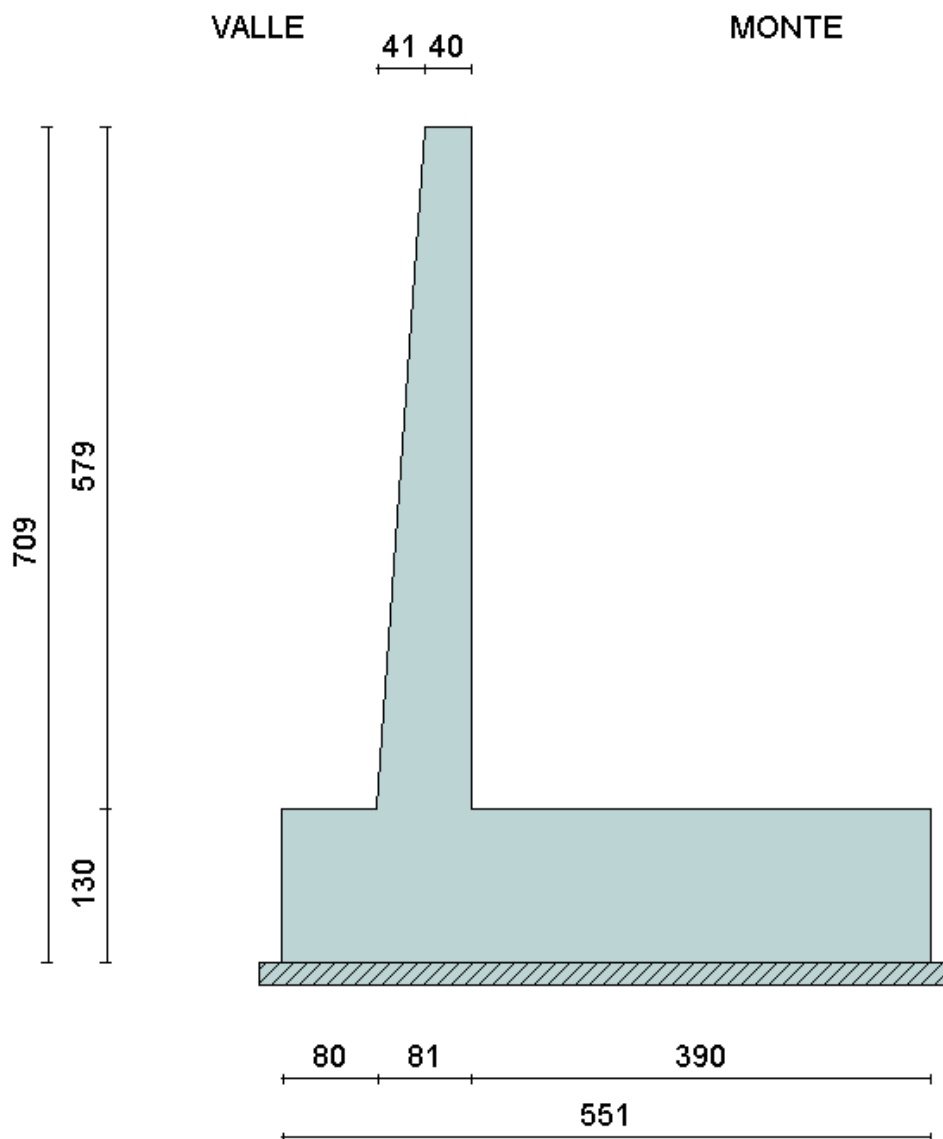


Figura 15: Geometria e dimensioni

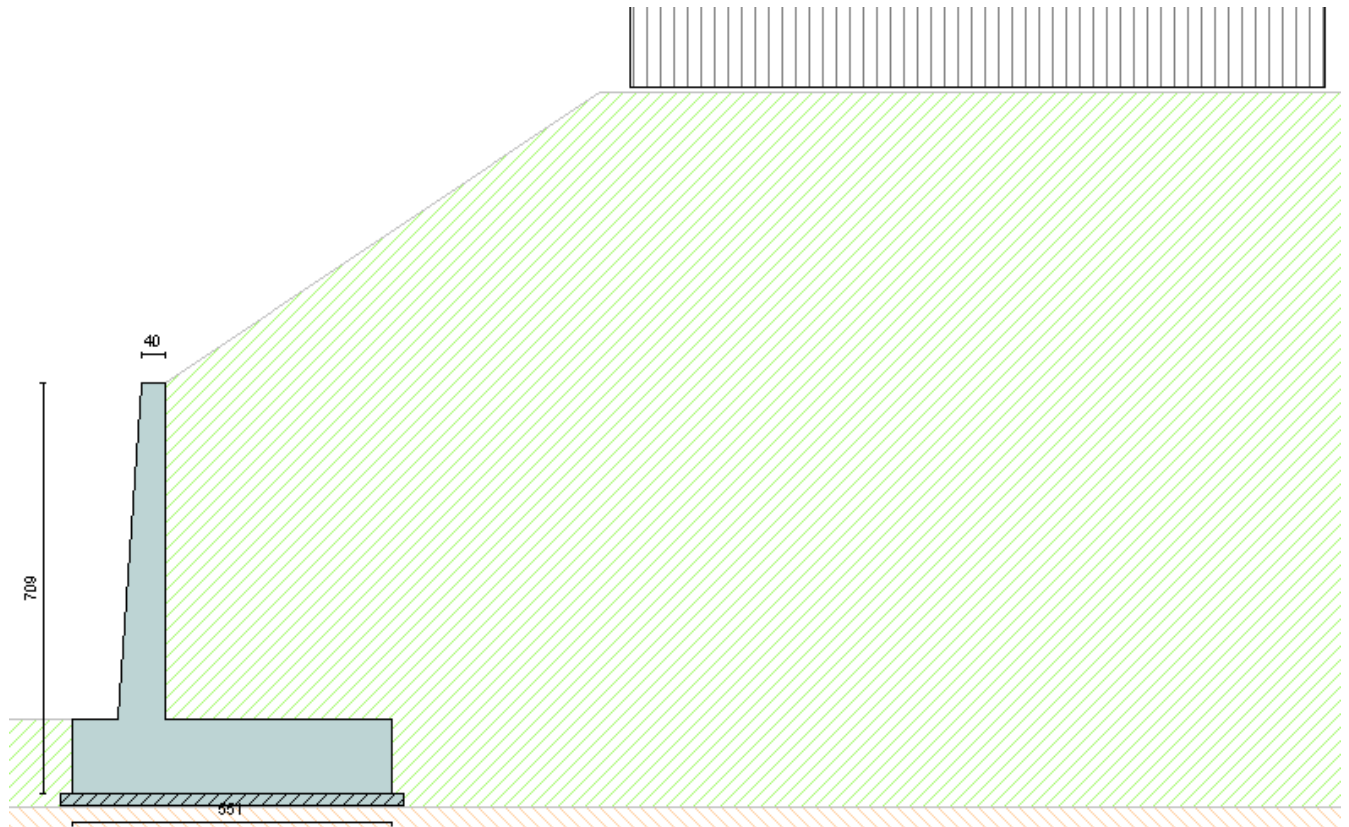


Figura 16: Profilo del terreno

Di seguito sono riassunte le verifiche significative effettuate sull'opera in esame. Si riportano i risultati delle combinazioni di carico più gravose per ogni stato limite esaminato.

#### Verifiche strutturali

Nelle due immagini seguenti si riportano i diagrammi delle massime sollecitazioni che si ottengono in corrispondenza del paramento murario e della fondazione.

A partire da tali valori saranno poi effettuate le verifiche degli elementi strutturali, considerando ferri di armatura:

Paramento	lato terra	1 $\phi$ 20/10
	lato scavo	1 $\phi$ 20/20
Fondazione	superiore	1 $\phi$ 20/10
	inferiore	1 $\phi$ 20/10

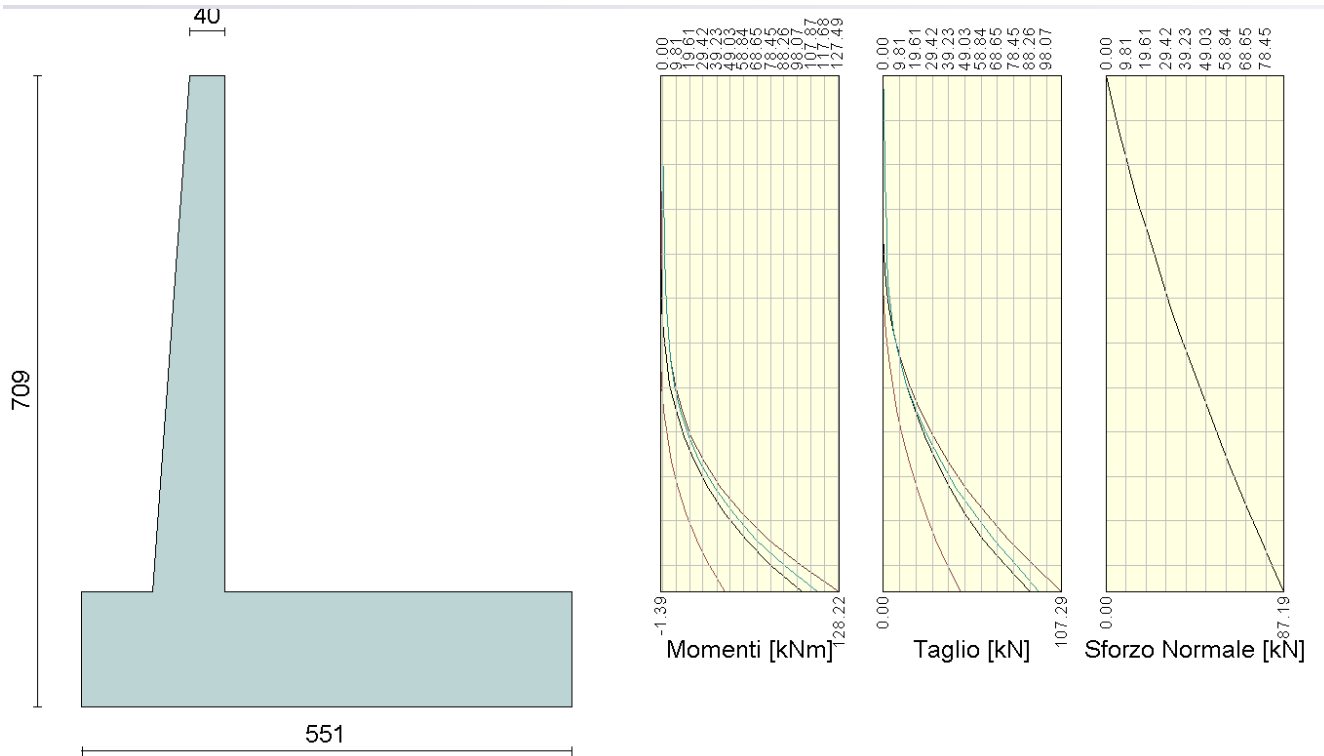


Figura 17: Sollecitazioni agenti sul paramento murario (inviluppo SLU)

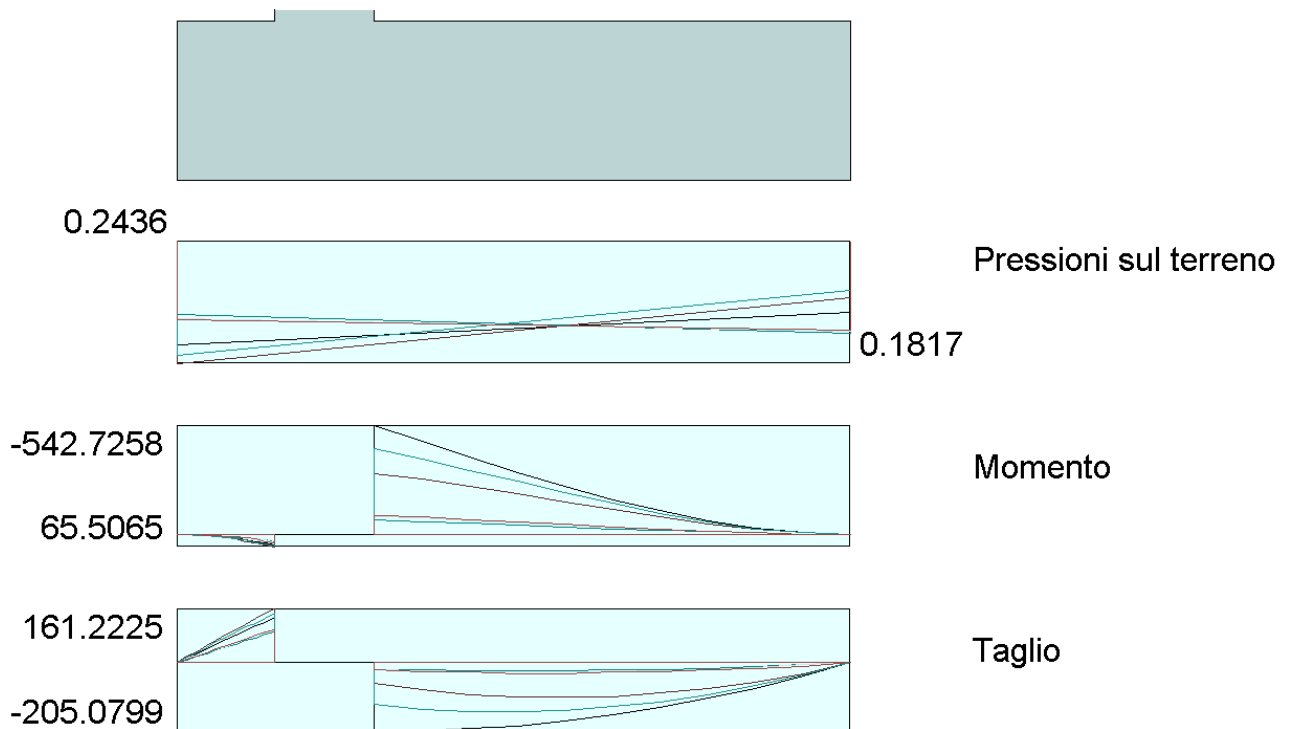


Figura 18: Sollecitazioni agenti in fondazione (inviluppo SLU)

**Verifica a stabilità globale**

La combinazione di carico più gravosa ai fini della stabilità globale del sistema muro-terreno risulta essere la n°9 (GEO-STAB – Sisma presente) la verifica risulta essere soddisfatta.

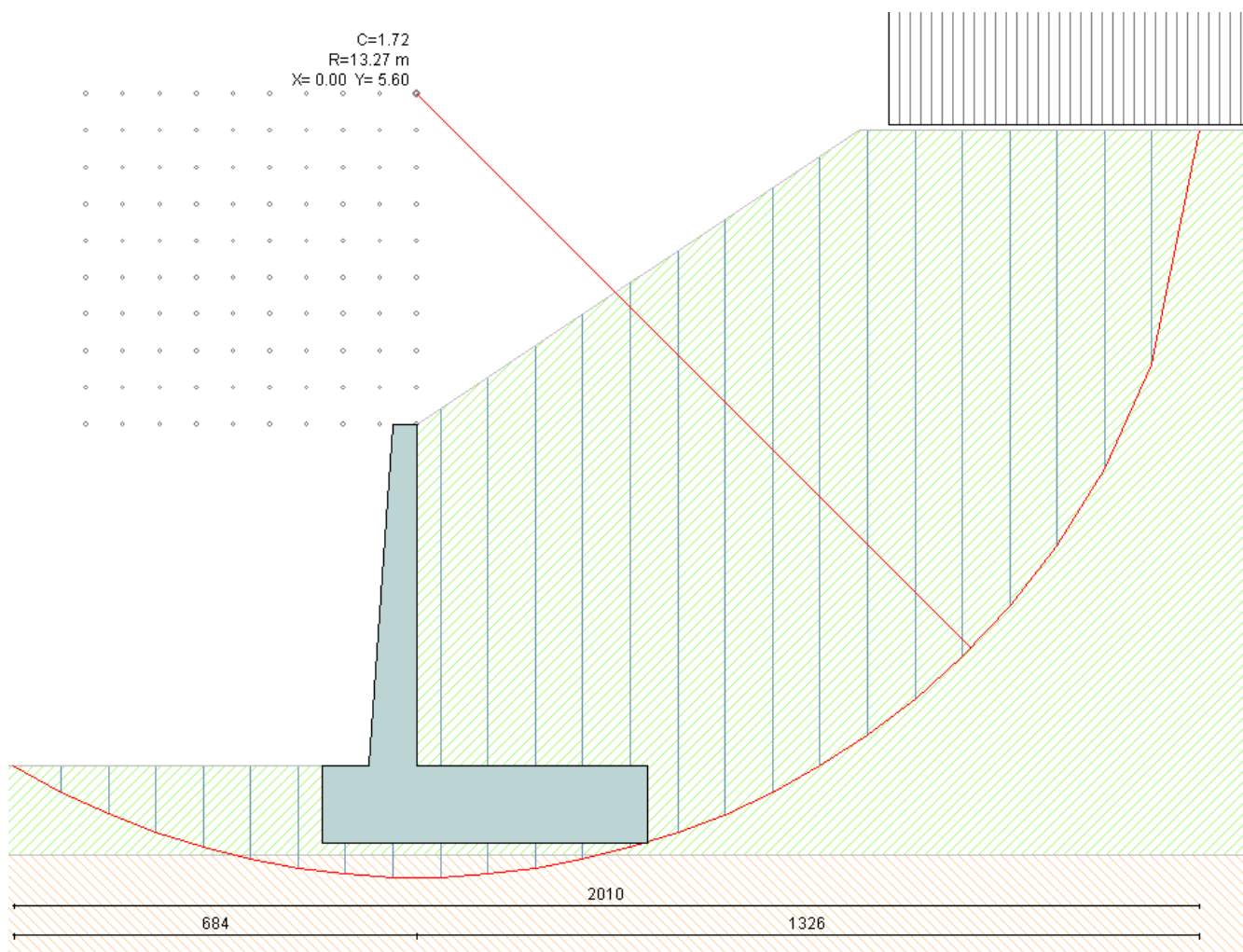


Figura 19: Stabilità globale del sistema terra-muro

## 11 ALLEGATO 1: OUTPUT DEL PROGRAMMA DI CALCOLO – MURO ‘TIPO 1’

### Normativa

### N.T.C. 2008 - Approccio 2

#### Simbologia adottata

$\gamma_{Gsfav}$	Coefficiente parziale sfavorevole sulle azioni permanenti
$\gamma_{Gfav}$	Coefficiente parziale favorevole sulle azioni permanenti
$\gamma_{Qsfav}$	Coefficiente parziale sfavorevole sulle azioni variabili
$\gamma_{Qfav}$	Coefficiente parziale favorevole sulle azioni variabili
$\gamma_{tan\phi'}$	Coefficiente parziale di riduzione dell'angolo di attrito drenato
$\gamma_{c'}$	Coefficiente parziale di riduzione della coesione drenata
$\gamma_{cu}$	Coefficiente parziale di riduzione della coesione non drenata
$\gamma_{qu}$	Coefficiente parziale di riduzione del carico ultimo
$\gamma_{\gamma}$	Coefficiente parziale di riduzione della resistenza a compressione uniassiale delle rocce

### Coefficienti di partecipazione combinazioni statiche

#### Coefficienti parziali per le azioni o per l'effetto delle azioni:

Carichi	Effetto		A1	A2	EQU	HYD
Permanenti	Favorevole	$\gamma_{Gfav}$	1,00	1,00	0,90	0,90
Permanenti	Sfavorevole	$\gamma_{Gsfav}$	1,30	1,00	1,10	1,30
Variabili	Favorevole	$\gamma_{Qfav}$	0,00	0,00	0,00	0,00
Variabili	Sfavorevole	$\gamma_{Qsfav}$	1,50	1,30	1,50	1,50

#### Coefficienti parziali per i parametri geotecnici del terreno:

Parametri		M1	M2	M2	M1
Tangente dell'angolo di attrito	$\gamma_{tan\phi'}$	1,00	1,25	1,25	1,00
Coesione efficace	$\gamma_{c'}$	1,00	1,25	1,25	1,00
Resistenza non drenata	$\gamma_{cu}$	1,00	1,40	1,40	1,00
Resistenza a compressione uniassiale	$\gamma_{qu}$	1,00	1,60	1,60	1,00

Peso dell'unità di volume	$\gamma_\gamma$	1,00	1,00	1,00	1,00
---------------------------	-----------------	------	------	------	------

**Coefficienti di partecipazione combinazioni sismiche**
Coefficienti parziali per le azioni o per l'effetto delle azioni:

<i>Carichi</i>	<i>Effetto</i>		<i>A1</i>	<i>A2</i>	<i>EQU</i>	<i>HYD</i>
Permanenti	Favorevole	$\gamma_{Gfav}$	1,00	1,00	1,00	0,90
Permanenti	Sfavorevole	$\gamma_{Gsfav}$	1,00	1,00	1,00	1,30
Variabili	Favorevole	$\gamma_{Qfav}$	0,00	0,00	0,00	0,00
Variabili	Sfavorevole	$\gamma_{Qsfav}$	1,00	1,00	1,00	1,50

Coefficienti parziali per i parametri geotecnici del terreno:

<i>Parametri</i>		<i>M1</i>	<i>M2</i>	<i>M2</i>	<i>M1</i>
Tangente dell'angolo di attrito	$\gamma_{\tan\phi'}$	1,00	1,25	1,25	1,00
Coesione efficace	$\gamma_{c'}$	1,00	1,25	1,25	1,00
Resistenza non drenata	$\gamma_{cu}$	1,00	1,40	1,40	1,00
Resistenza a compressione uniassiale	$\gamma_{qu}$	1,00	1,60	1,60	1,00
Peso dell'unità di volume	$\gamma_\gamma$	1,00	1,00	1,00	1,00

**FONDAZIONE SUPERFICIALE**
**Coefficienti parziali  $\gamma_R$  per le verifiche agli stati limite ultimi STR e GEO**

<i>Verifica</i>	<i>Coefficienti parziali</i>		
	R1	R2	R3
Capacità portante della fondazione	1,00	1,00	1,40
Scorrimento	1,00	1,00	1,10
Resistenza del terreno a valle	1,00	1,00	1,40

Stabilità globale 1,10

**Geometria muro e fondazione**

## Descrizione

**Muro a mensola in c.a.**

Altezza del paramento	5.79 [m]
Spessore in sommità	0.40 [m]
Spessore all'attacco con la fondazione	0.81 [m]
Inclinazione paramento esterno	4.00 [°]
Inclinazione paramento interno	0.00 [°]
Lunghezza del muro	10.00 [m]

Fondazione

Lunghezza mensola fondazione di valle	0.80 [m]
Lunghezza mensola fondazione di monte	3.90 [m]
Lunghezza totale fondazione	5.51 [m]
Inclinazione piano di posa della fondazione	0.00 [°]
Spessore fondazione	1.30 [m]
Spessore magrone	0.20 [m]



**Geometria profilo terreno a monte del muro***Simbologia adottata e sistema di riferimento*

(Sistema di riferimento con origine in testa al muro, ascissa X positiva verso monte, ordinata Y positiva verso l'alto)

N numero ordine del punto

X ascissa del punto espressa in [m]

Y ordinata del punto espressa in [m]

A inclinazione del tratto espressa in [°]

<b>N</b>	<b>X</b>	<b>Y</b>	<b>A</b>
1	2,60	0,00	0,00
2	20,00	0,00	0,00
3	21,00	0,00	0,00

**Terreno a valle del muro**

Inclinazione terreno a valle del muro rispetto all'orizzontale 0,00 [°]

Altezza del rinterro rispetto all'attacco fondaz.valle-paramento 0,80 [m]

**Descrizione terreni***Simbologia adottata*

Nr.                    Indice del terreno

<i>Descrizione</i>	Descrizione terreno
$\gamma$	Peso di volume del terreno espresso in [kN/mc]
$\gamma_s$	Peso di volume saturo del terreno espresso in [kN/mc]
$\phi$	Angolo d'attrito interno espresso in [°]
$\delta$	Angolo d'attrito terra-muro espresso in [°]
$c$	Coesione espressa in [N/mm <sup>2</sup> ]
$c_a$	Adesione terra-muro espressa in [N/mm <sup>2</sup> ]

<b>Descrizione</b>	<b><math>\gamma</math></b>	<b><math>\gamma_s</math></b>	<b><math>\phi</math></b>	<b><math>\delta</math></b>	<b><math>c</math></b>	<b><math>c_a</math></b>
terreno rinf.	20,00	20,00	35.00	23.33	0,0000	0,0000
terreno fondaz.	20,00	20,00	30.00	20.00	0,0000	0,0000

## Stratigrafia

### Simbologia adottata

$N$	Indice dello strato
$H$	Spessore dello strato espresso in [m]
$a$	Inclinazione espressa in [°]
$K_w$	Costante di Winkler orizzontale espressa in Kg/cm <sup>2</sup> /cm
$K_s$	Coefficiente di spinta
<i>Terreno</i>	Terreno dello strato

<b>Nr.</b>	<b>H</b>	<b>a</b>	<b>Kw</b>	<b>Ks</b>	<b>Terreno</b>
1	9,10	0,00	7,64	0,00	terreno rinf.
2	8,00	0,00	7,48	0,00	terreno fondaz.

**Descrizione combinazioni di carico**
**Simbologia adottata**

F/S Effetto dell'azione (FAV: Favorevole, SFAV: Sfavorevole)

$\gamma$  Coefficiente di partecipazione della condizione

$\Psi$  Coefficiente di combinazione della condizione

**Combinazione n° 1 - Caso A1-M1 (STR)**

	<b>S/F</b>	$\gamma$	$\Psi$	$\gamma * \Psi$
Peso proprio muro	FAV	1,00	1.00	1,00
Peso proprio terrapieno	FAV	1,00	1.00	1,00
Spinta terreno	SFAV	1,30	1.00	1,30

**Combinazione n° 2 - Caso EQU (SLU)**

	<b>S/F</b>	$\gamma$	$\Psi$	$\gamma * \Psi$
Peso proprio muro	FAV	0,90	1.00	0,90
Peso proprio terrapieno	FAV	0,90	1.00	0,90
Spinta terreno	SFAV	1,10	1.00	1,10

**Combinazione n° 3 - Caso A2-M2 (GEO-STAB)**

	<b>S/F</b>	$\gamma$	$\Psi$	$\gamma * \Psi$
Peso proprio muro	SFAV	1,00	1.00	1,00
Peso proprio terrapieno	SFAV	1,00	1.00	1,00
Spinta terreno	SFAV	1,00	1.00	1,00

**Combinazione n° 4 - Caso A1-M1 (STR) - Sisma Vert. positivo**

	<b>S/F</b>	$\gamma$	$\Psi$	$\gamma * \Psi$
Peso proprio muro	SFAV	1,00	1.00	1,00
Peso proprio terrapieno	SFAV	1,00	1.00	1,00
Spinta terreno	SFAV	1,00	1.00	1,00

Combinazione n° 5 - Caso A1-M1 (STR) - Sisma Vert. negativo

	<b>S/F</b>	$\gamma$	$\Psi$	$\gamma * \Psi$
Peso proprio muro	SFAV	1,00	1.00	1,00
Peso proprio terrapieno	SFAV	1,00	1.00	1,00
Spinta terreno	SFAV	1,00	1.00	1,00

Combinazione n° 6 - Caso EQU (SLU) - Sisma Vert. negativo

	<b>S/F</b>	$\gamma$	$\Psi$	$\gamma * \Psi$
Peso proprio muro	FAV	1,00	1.00	1,00
Peso proprio terrapieno	FAV	1,00	1.00	1,00
Spinta terreno	SFAV	1,00	1.00	1,00

Combinazione n° 7 - Caso EQU (SLU) - Sisma Vert. positivo

	<b>S/F</b>	$\gamma$	$\Psi$	$\gamma * \Psi$
Peso proprio muro	FAV	1,00	1.00	1,00
Peso proprio terrapieno	FAV	1,00	1.00	1,00
Spinta terreno	SFAV	1,00	1.00	1,00

Combinazione n° 8 - Caso A2-M2 (GEO-STAB) - Sisma Vert. positivo

	<b>S/F</b>	$\gamma$	$\Psi$	$\gamma * \Psi$
Peso proprio muro	SFAV	1,00	1.00	1,00
Peso proprio terrapieno	SFAV	1,00	1.00	1,00
Spinta terreno	SFAV	1,00	1.00	1,00

Combinazione n° 9 - Caso A2-M2 (GEO-STAB) - Sisma Vert. negativo

	<b>S/F</b>	$\gamma$	$\Psi$	$\gamma * \Psi$
Peso proprio muro	SFAV	1,00	1.00	1,00
Peso proprio terrapieno	SFAV	1,00	1.00	1,00
Spinta terreno	SFAV	1,00	1.00	1,00

### Combinazione n° 10 - Quasi Permanente (SLE)

	<b>S/F</b>	$\gamma$	$\Psi$	$\gamma * \Psi$
Peso proprio muro	--	1,00	1.00	1,00
Peso proprio terrapieno	--	1,00	1.00	1,00
Spinta terreno	--	1,00	1.00	1,00

### Combinazione n° 11 - Frequente (SLE)

	<b>S/F</b>	$\gamma$	$\Psi$	$\gamma * \Psi$
Peso proprio muro	--	1,00	1.00	1,00
Peso proprio terrapieno	--	1,00	1.00	1,00
Spinta terreno	--	1,00	1.00	1,00

### Combinazione n° 12 - Rara (SLE)

	<b>S/F</b>	$\gamma$	$\Psi$	$\gamma * \Psi$
Peso proprio muro	--	1,00	1.00	1,00
Peso proprio terrapieno	--	1,00	1.00	1,00
Spinta terreno	--	1,00	1.00	1,00

### Combinazione n° 13 - Quasi Permanente (SLE) - Sisma Vert. positivo

	<b>S/F</b>	$\gamma$	$\Psi$	$\gamma * \Psi$
Peso proprio muro	--	1,00	1.00	1,00
Peso proprio terrapieno	--	1,00	1.00	1,00
Spinta terreno	--	1,00	1.00	1,00

### Combinazione n° 14 - Quasi Permanente (SLE) - Sisma Vert. negativo

	<b>S/F</b>	$\gamma$	$\Psi$	$\gamma * \Psi$
Peso proprio muro	--	1,00	1.00	1,00
Peso proprio terrapieno	--	1,00	1.00	1,00
Spinta terreno	--	1,00	1.00	1,00

### Combinazione n° 15 - Frequente (SLE) - Sisma Vert. positivo

	<b>S/F</b>	$\gamma$	$\Psi$	$\gamma * \Psi$
Peso proprio muro	--	1,00	1.00	1,00
Peso proprio terrapieno	--	1,00	1.00	1,00
Spinta terreno	--	1,00	1.00	1,00

**Combinazione n° 16 - Frequente (SLE) - Sisma Vert. negativo**

	<b>S/F</b>	$\gamma$	$\Psi$	$\gamma * \Psi$
Peso proprio muro	--	1,00	1.00	1,00
Peso proprio terrapieno	--	1,00	1.00	1,00
Spinta terreno	--	1,00	1.00	1,00

**Combinazione n° 17 - Rara (SLE) - Sisma Vert. positivo**

	<b>S/F</b>	$\gamma$	$\Psi$	$\gamma * \Psi$
Peso proprio muro	--	1,00	1.00	1,00
Peso proprio terrapieno	--	1,00	1.00	1,00
Spinta terreno	--	1,00	1.00	1,00


**Combinazione n° 18 - Rara (SLE) - Sisma Vert. negativo**

	<b>S/F</b>	$\gamma$	$\Psi$	$\gamma * \Psi$
Peso proprio muro	--	1,00	1.00	1,00
Peso proprio terrapieno	--	1,00	1.00	1,00
Spinta terreno	--	1,00	1.00	1,00

**Impostazioni di analisi**

Metodo verifica sezioni

**Stato limite**
***Impostazioni verifiche SLU***

 <b>ATI bonifica</b>	<b>Linea AV/AC VERONA – PADOVA</b>	
	<b>1° Sublotto: VERONA – MONTEBELLO VICENTINO</b>	
	Titolo: RELAZIONE DI CALCOLO MURI	
	PROGETTO LOTTO CODIFICA DOCUMENTO REV.	. Pag 54 di 121
	<b>IN0D 00 DI2 CL IV 07A0004A</b>	

*Coefficienti parziali per resistenze di calcolo dei materiali*

Coefficiente di sicurezza calcestruzzo a compressione	1.60
Coefficiente di sicurezza calcestruzzo a trazione	1.60
Coefficiente di sicurezza acciaio	1.15
Fattore riduzione da resistenza cubica a cilindrica	0.83
Fattore di riduzione per carichi di lungo periodo	0.85
Coefficiente di sicurezza per la sezione	1.00

Calcolo della portanza metodo di Terzaghi

Coefficiente correttivo su  $N_\gamma$  per effetti cinematici (combinazioni sismiche SLU): 1,00

Coefficiente correttivo su  $N_\gamma$  per effetti cinematici (combinazioni sismiche SLE): 1,00

***Impostazioni avanzate***

Influenza del terreno sulla fondazione di valle nelle verifiche e nel calcolo delle sollecitazioni

Diagramma correttivo per eccentricità negativa con aliquota di parzializzazione pari a 0.00

### Quadro riassuntivo coeff. di sicurezza calcolati

#### Simbologia adottata

C Identificativo della combinazione

Tipo Tipo combinazione

Sisma Combinazione sismica

CS<sub>SCO</sub> Coeff. di sicurezza allo scorrimento

CS<sub>RIB</sub> Coeff. di sicurezza al ribaltamento

CS<sub>QLIM</sub> Coeff. di sicurezza a carico limite

CS<sub>STAB</sub> Coeff. di sicurezza a stabilità globale

C	Tipo	Sisma	CS <sub>SCO</sub>	CS <sub>RIB</sub>	CS <sub>QLIM</sub>	CS <sub>STAB</sub>
1	A1-M1 - [1]	--	1,88	--	11,80	--
2	EQU - [1]	--	--	4,40	--	--
3	STAB - [1]	--	--	--	--	1,76
4	A1-M1 - [2]	Orizzontale + Verticale positivo	1,40	--	10,06	--
5	A1-M1 - [2]	Orizzontale + Verticale negativo	1,37	--	10,87	--
6	EQU - [2]	Orizzontale + Verticale negativo	--	2,76	--	--
7	EQU - [2]	Orizzontale + Verticale positivo	--	3,11	--	--
8	STAB - [2]	Orizzontale + Verticale positivo	--	--	--	1,44
9	STAB - [2]	Orizzontale + Verticale negativo	--	--	--	1,41
10	SLEQ - [1]	--	2,40	--	11,75	--
11	SLEF - [1]	--	2,40	--	11,75	--
12	SLER - [1]	--	2,40	--	11,75	--
13	SLEQ - [1]	Orizzontale + Verticale positivo	2,01	--	11,77	--
14	SLEQ - [1]	Orizzontale + Verticale negativo	2,01	--	12,06	--
15	SLEF - [1]	Orizzontale + Verticale positivo	2,01	--	11,77	--
16	SLEF - [1]	Orizzontale + Verticale negativo	2,01	--	12,06	--
17	SLER - [1]	Orizzontale + Verticale positivo	2,01	--	11,77	--
18	SLER - [1]	Orizzontale + Verticale negativo	2,01	--	12,06	--



 <b>ATI bonifica</b>	<b>Linea AV/AC VERONA – PADOVA</b>	
	<b>1° Sublotto: VERONA – MONTEBELLO VICENTINO</b>	
	Titolo: RELAZIONE DI CALCOLO MURI	
	PROGETTO LOTTO CODIFICA DOCUMENTO REV.	Pag
	<b>IN0D 00 DI2 CL IV 07A0004A</b>	<b>56 di 121</b>

## Analisi della spinta e verifiche

Sistema di riferimento adottato per le coordinate :

Origine in testa al muro (spigolo di monte)

Ascisse X (espresse in [m]) positive verso monte

Ordinate Y (espresse in [m]) positive verso l'alto

Le forze orizzontali sono considerate positive se agenti da monte verso valle

Le forze verticali sono considerate positive se agenti dall'alto verso il basso

Calcolo riferito ad 1 metro di muro

### Tipo di analisi

Calcolo della spinta	metodo di Culmann
Calcolo del carico limite	metodo di Terzaghi
Calcolo della stabilità globale	metodo di Bishop
Calcolo della spinta in condizioni di	Spinta attiva

### Sisma

#### Combinazioni SLU

Accelerazione al suolo $a_g$	2.30 [m/s <sup>2</sup> ]
Coefficiente di amplificazione per tipo di sottosuolo (S)	1.36
Coefficiente di amplificazione topografica (St)	1.00
Coefficiente riduzione ( $\beta_m$ )	0.31
Rapporto intensità sismica verticale/orizzontale	0.50
Coefficiente di intensità sismica orizzontale (percento)	$k_h=(a_g/g*\beta_m*St*S) = 9.85$
Coefficiente di intensità sismica verticale (percento)	$k_v=0.50 * k_h = 4.93$

#### Combinazioni SLE

Accelerazione al suolo $a_g$	0.95 [m/s <sup>2</sup> ]
------------------------------	--------------------------

Coefficiente di amplificazione per tipo di sottosuolo (S)	1.50
Coefficiente di amplificazione topografica (St)	1.00
Coefficiente riduzione ( $\beta_m$ )	0.18
Rapporto intensità sismica verticale/orizzontale	0.50
Coefficiente di intensità sismica orizzontale (percento)	$k_h=(a_g/g*\beta_m*St*S) = 2.62$
Coefficiente di intensità sismica verticale (percento)	$k_v=0.50 * k_h = 1.31$

Forma diagramma incremento sismico    Stessa forma diagramma statico

Partecipazione spinta passiva (percento)	50,0
Lunghezza del muro	10,00 [m]

Peso muro	337,7400 [kN]
Baricentro del muro	X=0,35 Y=-6,78

### Superficie di spinta

Punto inferiore superficie di spinta	X = 3,90	Y = -9,10
Punto superiore superficie di spinta	X = 3,90	Y = 0,00
Altezza della superficie di spinta	9,10 [m]	
Inclinazione superficie di spinta(rispetto alla verticale)	0,00 [°]	

### COMBINAZIONE n° 4

Valore della spinta statica	202,2336 [kN]	
Componente orizzontale della spinta statica	185,6941 [kN]	
Componente verticale della spinta statica	80,1006 [kN]	
Punto d'applicazione della spinta	X = 3,90 [m]	Y = -6,06 [m]
Inclinaz. della spinta rispetto alla normale alla superficie	23,33 [°]	

Inclinazione linea di rottura in condizioni statiche	58,94	[°]	
Incremento sismico della spinta	59,9017	[kN]	
Punto d'applicazione dell'incremento sismico di spinta	X = 3,90		[m] Y =
-6,06	[m]		
Inclinazione linea di rottura in condizioni sismiche	54,26	[°]	
Peso terrapieno gravante sulla fondazione a monte	608,4000	[kN]	
Baricentro terrapieno gravante sulla fondazione a monte	X = 1,95		[m] Y =
-3,90	[m]		
Inerzia del muro	33,2766	[kN]	
Inerzia verticale del muro	16,6383	[kN]	
Inerzia del terrapieno fondazione di monte	59,9440	[kN]	
Inerzia verticale del terrapieno fondazione di monte	29,9720	[kN]	

### Risultanti

Risultante dei carichi applicati in dir. orizzontale	335,6106	[kN]	
Risultante dei carichi applicati in dir. verticale	1113,7608	[kN]	
Resistenza passiva a valle del muro	-66,1500	[kN]	
Sforzo normale sul piano di posa della fondazione	1113,7608	[kN]	
Sforzo tangenziale sul piano di posa della fondazione	335,6106		[kN]
Eccentricità rispetto al baricentro della fondazione	0,34	[m]	
Lunghezza fondazione reagente	6,00	[m]	
Risultante in fondazione	1163,2273	[kN]	
Inclinazione della risultante (rispetto alla normale)	16,77	[°]	
Momento rispetto al baricentro della fondazione	374,9968	[kNm]	
Carico ultimo della fondazione	11207,3787		[kN]

### Tensioni sul terreno

Lunghezza fondazione reagente	6,00	[m]	
Tensione terreno allo spigolo di valle	0,24797	[N/mm <sup>2</sup> ]	

Tensione terreno allo spigolo di monte 0,12310 [N/mmq]

### Fattori per il calcolo della capacità portante

**Coeff. capacità portante**  $N_c = 37.16$   $N_q = 22.46$   $N_\gamma = 19.32$

**Fattori forma**  $s_c = 1,00$   $s_q = 1,00$   $s_\gamma = 1,00$

I coefficienti N' tengono conto dei fattori di forma, profondità, inclinazione carico, inclinazione piano di posa, inclinazione pendio.

$N'_c = 37.16$   $N'_q = 22.46$   $N'_\gamma = 19.32$

### COEFFICIENTI DI SICUREZZA

Coefficiente di sicurezza a scorrimento 1.40

Coefficiente di sicurezza a carico ultimo 10.06

**Sollecitazioni paramento****Combinazione n° 4**

L'ordinata Y (espressa in m) è considerata positiva verso il basso con origine in testa al muro

Momento positivo se tende le fibre contro terra (a monte), espresso in kNm

Sforzo normale positivo di compressione, espresso in kN

Taglio positivo se diretto da monte verso valle, espresso in kN

Nr.	Y	N	M	T
1	0,00	0,0000	0,0000	0,0000
2	0,39	4,0612	0,1012	0,8426
3	0,78	8,4449	0,6396	2,6019
4	1,17	13,1510	1,9674	5,2778
5	1,56	18,1795	4,4366	8,8704
6	1,95	23,5305	8,3993	13,3797
7	2,34	29,2039	14,2078	18,8056
8	2,73	35,1997	22,2142	25,1482
9	3,12	41,5180	32,7705	32,4075
10	3,51	48,1587	46,2290	40,5834
11	3,90	55,1219	62,9416	49,6760
12	4,29	62,4075	83,2607	59,6853
13	4,68	70,0155	107,5382	70,6113
14	5,07	77,9460	136,1264	82,4539
15	5,46	86,1989	169,3774	95,2132
16	5,85	94,7742	207,6433	108,8892
17	6,24	103,6720	251,2761	123,4818
18	6,63	112,8922	300,6282	138,9911
19	7,02	122,4349	356,0515	155,4171
20	7,41	132,3000	417,8983	172,7597

21 7,80 142,4875 486,5059 190,8774

**Sollecitazioni fondazione di valle**Combinazione n° 4

L'ascissa X(espressa in m) è considerata positiva verso monte con origine in corrispondenza dell'estremo libero della fondazione di valle

Momento positivo se tende le fibre inferiori, espresso in kNm

Taglio positivo se diretto verso l'alto, espresso in kN

Nr.	X	M	T
1	0,00	0,0000	0,0000
2	0,10	1,0748	20,6325
3	0,21	4,2838	41,0400
4	0,31	9,6034	61,2225
5	0,42	17,0102	81,1800
6	0,52	26,4810	100,9125
7	0,62	37,9922	120,4200
8	0,73	51,5206	139,7026
9	0,83	67,0426	158,7601
10	0,94	84,5349	177,5927
11	1,04	103,9741	196,2002

**Sollecitazioni fondazione di monte**

**Combinazione n° 4**

L'ascissa X(espressa in m) è considerata positiva verso valle con origine in corrispondenza dell'estremo libero della fondazione di monte

Momento positivo se tende le fibre inferiori, espresso in kNm

Taglio positivo se diretto verso l'alto, espresso in kN

<b>Nr.</b>	<b>X</b>	<b>M</b>	<b>T</b>
1	0,00	0,0000	0,0000
2	0,39	-4,7682	-23,9252
3	0,78	-18,2503	-44,6864
4	1,17	-39,2123	-62,2836
5	1,56	-66,4202	-76,7168
6	1,95	-98,6401	-87,9861
7	2,34	-134,6381	-96,0914
8	2,73	-173,1801	-101,0327
9	3,12	-213,0323	-102,8101
10	3,51	-252,9606	-101,4235
11	3,90	-291,7313	-96,8729

### Armature e tensioni nei materiali del muro

#### Combinazione n° 4

L'ordinata Y (espressa in [m]) è considerata positiva verso il basso con origine in testa al muro

B base della sezione espressa in [cm]

H altezza della sezione espressa in [cm]

$A_{fs}$  area di armatura in corrispondenza del lembo di monte in [cmq]

$A_{fi}$  area di armatura in corrispondenza del lembo di valle in [cmq]

$N_u$  sforzo normale ultimo espresso in [kN]

$M_u$  momento ultimo espresso in [kNm]

CS coefficiente sicurezza sezione

$V_{Rcd}$  Aliquota di taglio assorbito dal cls, espresso in [kN]

$V_{Rsd}$  Aliquota di taglio assorbito dall'armatura, espresso in [kN]

VRd Resistenza al taglio, espresso in [kN]

Nr.	Y	B, H	$A_{fs}$	$A_{fi}$	$N_u$	$M_u$	CS	$V_{Rd}$	$V_{Rcd}$	$V_{Rsd}$
1	0,00	100, 40	15,71	15,71	0,00	0,00	1000,00	166,00	--	--
2	0,39	100, 43	15,71	15,71	6287,04	-156,69	1548,07	173,36	--	--
3	0,78	100, 47	15,71	15,71	5731,13	-434,09	678,65	180,53	--	--
4	1,17	100, 50	15,71	15,71	4450,96	-665,86	338,45	189,09	--	--
5	1,56	100, 53	15,71	15,71	3178,50	-775,69	174,84	199,23	--	--
6	1,95	100, 57	15,71	15,71	2013,48	-718,72	85,57	209,31	--	--
7	2,34	100, 60	15,71	15,71	1300,42	-632,66	44,53	219,35	--	--
8	2,73	100, 63	15,71	15,71	909,50	-573,98	25,84	229,35	--	--
9	3,12	100, 67	15,71	15,71	692,07	-546,26	16,67	239,32	--	--
10	3,51	100, 70	15,71	15,71	559,31	-536,90	11,61	249,26	--	--
11	3,90	100, 73	15,71	15,71	470,36	-537,08	8,53	259,19	--	--
12	4,29	100, 76	15,71	15,71	406,90	-542,87	6,52	269,10	--	--
13	4,68	100, 80	15,71	15,71	359,53	-552,20	5,13	279,01	--	--
14	5,07	100, 83	15,71	15,71	322,91	-563,93	4,14	288,91	--	--



15	5,46	100, 86	31,42	15,71	570,84-1121,67	6,62	323,01	--	--
16	5,85	100, 90	31,42	15,71	526,08-1152,61	5,55	330,49	--	--
17	6,24	100, 93	31,42	15,71	488,93-1185,04	4,72	337,91	--	--
18	6,63	100, 96	31,42	15,71	457,63-1218,65	4,05	345,30	--	--
19	7,02	100, 100	31,42	15,71	430,93-1253,18	3,52	352,66	--	--
20	7,41	100, 103	31,42	15,71	407,90-1288,45	3,08	359,99	--	--
21	7,80	100, 106	31,42	15,71	387,87-1324,33	2,72	367,28	--	--

### Armature e tensioni nei materiali della fondazione

#### Combinazione n° 4

Simbologia adottata

- B base della sezione espressa in [cm]  
 H altezza della sezione espressa in [cm]  
 $A_{fi}$  area di armatura in corrispondenza del lembo inferiore in [cmq]  
 $A_{fs}$  area di armatura in corrispondenza del lembo superiore in [cmq]  
 $N_u$  sforzo normale ultimo espresso in [kN]  
 $M_u$  momento ultimo espresso in [kNm]  
 CS coefficiente sicurezza sezione  
 $V_{Rcd}$  Aliquota di taglio assorbito dal cls, espresso in [kN]  
 $V_{Rsd}$  Aliquota di taglio assorbito dall'armatura, espresso in [kN]  
 $V_{Rd}$  Resistenza al taglio, espresso in [kN]

#### Fondazione di valle

(L'ascissa X, espressa in [m], è positiva verso monte con origine in corrispondenza dell'estremo libero della fondazione di valle)

Nr.	Y	B, H	$A_{fs}$	$A_{fi}$	$N_u$	$M_u$	CS	$V_{Rd}$	$V_{Rcd}$	$V_{Rsd}$
1	0,00	100, 130	0,00	0,00	0,00	0,00	1000,00	397,19	--	--
2	0,10	100, 130	0,00	0,00	0,00	0,00	0,00	397,19	--	--
3	0,21	100, 130	31,42	31,42	0,00	1437,71	335,62	397,19	--	--

4	0,31	100, 130	31,42	31,42	0,00	1437,71	149,71	397,19	--	--
5	0,42	100, 130	31,42	31,42	0,00	1437,71	84,52	397,19	--	--
6	0,52	100, 130	31,42	31,42	0,00	1437,71	54,29	397,19	--	--
7	0,62	100, 130	31,42	31,42	0,00	1437,71	37,84	397,19	--	--
8	0,73	100, 130	31,42	31,42	0,00	1437,71	27,91	397,19	--	--
9	0,83	100, 130	31,42	31,42	0,00	1437,71	21,44	397,19	--	--
10	0,94	100, 130	31,42	31,42	0,00	1437,71	17,01	397,19	--	--
11	1,04	100, 130	31,42	31,42	0,00	1437,71	13,83	397,19	--	--

### Fondazione di monte

(L'ascissa X, espressa in [m], è positiva verso valle con origine in corrispondenza dell'estremo libero della fondazione di monte)

Nr.	Y	B, H	A <sub>fs</sub>	A <sub>fi</sub>	N <sub>u</sub>	M <sub>u</sub>	CS	V <sub>Rd</sub>	V <sub>Rcd</sub>	V <sub>Rsd</sub>
1	0,00	100, 130	0,00	0,00	0,00	0,00	1000,00	397,19	--	--
2	0,39	100, 130	31,42	31,42	0,00	-1437,71	301,52	397,19	--	--
3	0,78	100, 130	31,42	31,42	0,00	-1437,71	78,78	397,19	--	--
4	1,17	100, 130	31,42	31,42	0,00	-1437,71	36,66	397,19	--	--
5	1,56	100, 130	31,42	31,42	0,00	-1437,71	21,65	397,19	--	--
6	1,95	100, 130	31,42	31,42	0,00	-1437,71	14,58	397,19	--	--
7	2,34	100, 130	31,42	31,42	0,00	-1437,71	10,68	397,19	--	--
8	2,73	100, 130	31,42	31,42	0,00	-1437,71	8,30	397,19	--	--
9	3,12	100, 130	31,42	31,42	0,00	-1437,71	6,75	397,19	--	--
10	3,51	100, 130	31,42	31,42	0,00	-1437,71	5,68	397,19	--	--
11	3,90	100, 130	31,42	31,42	0,00	-1437,71	4,93	397,19	--	--

### COMBINAZIONE n° 5

Valore della spinta statica	202,2336	[kN]	
Componente orizzontale della spinta statica	185,6941	[kN]	
Componente verticale della spinta statica	80,1006	[kN]	
Punto d'applicazione della spinta	X = 3,90	[m]	Y = -6,06 [m]
Inclinaz. della spinta rispetto alla normale alla superficie	23,33	[°]	
Inclinazione linea di rottura in condizioni statiche	58,94	[°]	
Incremento sismico della spinta	40,5580	[kN]	
Punto d'applicazione dell'incremento sismico di spinta	X = 3,90	[m]	Y = -6,06 [m]
Inclinazione linea di rottura in condizioni sismiche	53,76	[°]	
Peso terrapieno gravante sulla fondazione a monte	608,4000	[kN]	
Baricentro terrapieno gravante sulla fondazione a monte	X = 1,95	[m]	Y = -3,90 [m]
Inerzia del muro	33,2766	[kN]	
Inerzia verticale del muro	-16,6383	[kN]	
Inerzia del terrapieno fondazione di monte	59,9440	[kN]	
Inerzia verticale del terrapieno fondazione di monte	-29,9720	[kN]	

### Risultanti

Risultante dei carichi applicati in dir. orizzontale	317,8489	[kN]	
Risultante dei carichi applicati in dir. verticale	1012,8785	[kN]	
Resistenza passiva a valle del muro	-66,1500	[kN]	
Sforzo normale sul piano di posa della fondazione	1012,8785	[kN]	
Sforzo tangenziale sul piano di posa della fondazione	317,8489	[kN]	
Eccentricità rispetto al baricentro della fondazione	0,38	[m]	
Lunghezza fondazione reagente	6,00	[m]	
Risultante in fondazione	1061,5794	[kN]	
Inclinazione della risultante (rispetto alla normale)	17,42	[°]	
Momento rispetto al baricentro della fondazione	388,9859	[kNm]	

Carico ultimo della fondazione 11008,2563 [kN]

### Tensioni sul terreno

Lunghezza fondazione reagente 6,00 [m]  
Tensione terreno allo spigolo di valle 0,23349 [N/mm<sup>2</sup>]  
Tensione terreno allo spigolo di monte 0,10396 [N/mm<sup>2</sup>]

### Fattori per il calcolo della capacità portante

**Coeff. capacità portante**  $N_c = 37.16$   $N_q = 22.46$   $N_\gamma = 19.32$   
**Fattori forma**  $s_c = 1,00$   $s_q = 1,00$   $s_\gamma = 1,00$

I coefficienti  $N'$  tengono conto dei fattori di forma, profondità, inclinazione carico, inclinazione piano di posa, inclinazione pendio.

$N'_c = 37.16$   $N'_q = 22.46$   $N'_\gamma = 19.32$

### COEFFICIENTI DI SICUREZZA

Coefficiente di sicurezza a scorrimento 1.37  
Coefficiente di sicurezza a carico ultimo 10.87

**Sollecitazioni paramento**
**Combinazione n° 5**

L'ordinata Y (espressa in m) è considerata positiva verso il basso con origine in testa al muro

Momento positivo se tende le fibre contro terra (a monte), espresso in kNm

Sforzo normale positivo di compressione, espresso in kN

Taglio positivo se diretto da monte verso valle, espresso in kN

Nr.	Y	N	M	T
1	0,00	0,0000	0,0000	0,0000
2	0,39	4,0612	0,0970	0,8099
3	0,78	8,4449	0,6057	2,4713
4	1,17	13,1510	1,8528	4,9839
5	1,56	18,1795	4,1649	8,3480
6	1,95	23,5305	7,8688	12,5634
7	2,34	29,2039	13,2910	17,6302
8	2,73	35,1997	20,7583	23,5484
9	3,12	41,5180	30,5974	30,3179
10	3,51	48,1587	43,1347	37,9388
11	3,90	55,1219	58,6972	46,4111
12	4,29	62,4075	77,6113	55,7347
13	4,68	70,0155	100,2038	65,9097
14	5,07	77,9460	126,8014	76,9361
15	5,46	86,1989	157,7306	88,8139
16	5,85	94,7742	193,3182	101,5430
17	6,24	103,6720	233,8908	115,1235
18	6,63	112,8922	279,7751	129,5553
19	7,02	122,4349	331,2978	144,8386
20	7,41	132,3000	388,7855	160,9732

21 7,80 142,4875 452,5512 177,8280

**Sollecitazioni fondazione di valle**Combinazione n° 5

L'ascissa X(espressa in m) è considerata positiva verso monte con origine in corrispondenza dell'estremo libero della fondazione di valle

Momento positivo se tende le fibre inferiori, espresso in kNm

Taglio positivo se diretto verso l'alto, espresso in kN

Nr.	X	M	T
1	0,00	0,0000	0,0000
2	0,10	0,9964	19,1228
3	0,21	3,9694	38,0122
4	0,31	8,8948	56,6682
5	0,42	15,7483	75,0908
6	0,52	24,5056	93,2800
7	0,62	35,1425	111,2359
8	0,73	47,6346	128,9583
9	0,83	61,9577	146,4474
10	0,94	78,0876	163,7031
11	1,04	95,9999	180,7254

**Sollecitazioni fondazione di monte**

**Combinazione n° 5**

L'ascissa X(espressa in m) è considerata positiva verso valle con origine in corrispondenza dell'estremo libero della fondazione di monte

Momento positivo se tende le fibre inferiori, espresso in kNm

Taglio positivo se diretto verso l'alto, espresso in kN

<b>Nr.</b>	<b>X</b>	<b>M</b>	<b>T</b>
1	0,00	0,0000	0,0000
2	0,39	-6,2157	-31,3286
3	0,78	-24,0097	-59,3752
4	1,17	-52,1018	-84,1398
5	1,56	-89,2121	-105,6224
6	1,95	-134,0606	-123,8230
7	2,34	-185,3673	-138,7416
8	2,73	-241,8524	-150,3782
9	3,12	-302,2357	-158,7328
10	3,51	-365,2373	-163,8053
11	3,90	-429,5772	-165,5959

### Armature e tensioni nei materiali del muro

#### Combinazione n° 5

L'ordinata Y (espressa in [m]) è considerata positiva verso il basso con origine in testa al muro

- B base della sezione espressa in [cm]
- H altezza della sezione espressa in [cm]
- $A_{fs}$  area di armatura in corrispondenza del lembo di monte in [cmq]
- $A_{fi}$  area di armatura in corrispondenza del lembo di valle in [cmq]
- $N_u$  sforzo normale ultimo espresso in [kN]
- $M_u$  momento ultimo espresso in [kNm]
- CS coefficiente sicurezza sezione
- $V_{Rcd}$  Aliquota di taglio assorbito dal cls, espresso in [kN]
- $V_{Rsd}$  Aliquota di taglio assorbito dall'armatura, espresso in [kN]
- VRd Resistenza al taglio, espresso in [kN]

Nr.	Y	B, H	$A_{fs}$	$A_{fi}$	$N_u$	$M_u$	CS	$V_{Rd}$	$V_{Rcd}$	$V_{Rsd}$
1	0,00	100, 40	15,71	15,71	0,00	0,00	1000,00	166,00	--	--
2	0,39	100, 43	15,71	15,71	6296,73	-150,36	1550,45	173,36	--	--
3	0,78	100, 47	15,71	15,71	5846,21	-419,30	692,28	180,53	--	--
4	1,17	100, 50	15,71	15,71	4622,34	-651,22	351,48	189,09	--	--
5	1,56	100, 53	15,71	15,71	3433,08	-786,52	188,84	199,23	--	--
6	1,95	100, 57	15,71	15,71	2253,00	-753,42	95,75	209,31	--	--
7	2,34	100, 60	15,71	15,71	1469,24	-668,67	50,31	219,35	--	--
8	2,73	100, 63	15,71	15,71	1025,12	-604,54	29,12	229,35	--	--
9	3,12	100, 67	15,71	15,71	771,26	-568,39	18,58	239,32	--	--
10	3,51	100, 70	15,71	15,71	619,09	-554,50	12,86	249,26	--	--
11	3,90	100, 73	15,71	15,71	518,31	-551,93	9,40	259,19	--	--
12	4,29	100, 76	15,71	15,71	446,98	-555,88	7,16	269,10	--	--
13	4,68	100, 80	15,71	15,71	394,03	-563,92	5,63	279,01	--	--
14	5,07	100, 83	15,71	15,71	353,27	-574,69	4,53	288,91	--	--



15	5,46	100, 86	31,42	15,71	622,68-1139,41	7,22	323,01	--	--
16	5,85	100, 90	31,42	15,71	573,33-1169,47	6,05	330,49	--	--
17	6,24	100, 93	31,42	15,71	532,44-1201,21	5,14	337,91	--	--
18	6,63	100, 96	31,42	15,71	498,03-1234,25	4,41	345,30	--	--
19	7,02	100, 100	31,42	15,71	468,73-1268,33	3,83	352,66	--	--
20	7,41	100, 103	31,42	15,71	443,48-1303,23	3,35	359,99	--	--
21	7,80	100, 106	31,42	15,71	421,53-1338,81	2,96	367,28	--	--

## Armature e tensioni nei materiali della fondazione

### Combinazione n° 5

Simbologia adottata

- B base della sezione espressa in [cm]
- H altezza della sezione espressa in [cm]
- $A_{fi}$  area di armatura in corrispondenza del lembo inferiore in [cmq]
- $A_{fs}$  area di armatura in corrispondenza del lembo superiore in [cmq]
- $N_u$  sforzo normale ultimo espresso in [kN]
- $M_u$  momento ultimo espresso in [kNm]
- CS coefficiente sicurezza sezione
- $V_{Rcd}$  Aliquota di taglio assorbito dal cls, espresso in [kN]
- $V_{Rsd}$  Aliquota di taglio assorbito dall'armatura, espresso in [kN]
- $V_{Rd}$  Resistenza al taglio, espresso in [kN]

### Fondazione di valle

(L'ascissa X, espressa in [m], è positiva verso monte con origine in corrispondenza dell'estremo libero della fondazione di valle)

Nr.	Y	B, H	$A_{fs}$	$A_{fi}$	$N_u$	$M_u$	CS	$V_{Rd}$	$V_{Rcd}$	$V_{Rsd}$
1	0,00	100, 130	0,00	0,00	0,00	0,00	1000,00	397,19	--	--
2	0,10	100, 130	0,00	0,00	0,00	0,00	0,00	397,19	--	--
3	0,21	100, 130	31,42	31,42	0,00	1437,71	362,19	397,19	--	--
4	0,31	100, 130	31,42	31,42	0,00	1437,71	161,63	397,19	--	--

5	0,42	100, 130	31,42	31,42	0,00	1437,71	91,29	397,19	--	--
6	0,52	100, 130	31,42	31,42	0,00	1437,71	58,67	397,19	--	--
7	0,62	100, 130	31,42	31,42	0,00	1437,71	40,91	397,19	--	--
8	0,73	100, 130	31,42	31,42	0,00	1437,71	30,18	397,19	--	--
9	0,83	100, 130	31,42	31,42	0,00	1437,71	23,20	397,19	--	--
10	0,94	100, 130	31,42	31,42	0,00	1437,71	18,41	397,19	--	--
11	1,04	100, 130	31,42	31,42	0,00	1437,71	14,98	397,19	--	--

### Fondazione di monte

(L'ascissa X, espressa in [m], è positiva verso valle con origine in corrispondenza dell'estremo libero della fondazione di monte)

Nr.	Y	B, H	A <sub>fs</sub>	A <sub>fi</sub>	N <sub>u</sub>	M <sub>u</sub>	CS	V <sub>Rd</sub>	V <sub>Rcd</sub>	V <sub>Rsd</sub>
1	0,00	100, 130	0,00	0,00	0,00	0,00	1000,00	397,19	--	--
2	0,39	100, 130	31,42	31,42	0,00	-1437,71	231,30	397,19	--	--
3	0,78	100, 130	31,42	31,42	0,00	-1437,71	59,88	397,19	--	--
4	1,17	100, 130	31,42	31,42	0,00	-1437,71	27,59	397,19	--	--
5	1,56	100, 130	31,42	31,42	0,00	-1437,71	16,12	397,19	--	--
6	1,95	100, 130	31,42	31,42	0,00	-1437,71	10,72	397,19	--	--
7	2,34	100, 130	31,42	31,42	0,00	-1437,71	7,76	397,19	--	--
8	2,73	100, 130	31,42	31,42	0,00	-1437,71	5,94	397,19	--	--
9	3,12	100, 130	31,42	31,42	0,00	-1437,71	4,76	397,19	--	--
10	3,51	100, 130	31,42	31,42	0,00	-1437,71	3,94	397,19	--	--
11	3,90	100, 130	31,42	31,42	0,00	-1437,71	3,35	397,19	--	--

### COMBINAZIONE n° 6

Valore della spinta statica

253,4726 [kN]

Componente orizzontale della spinta statica	239,6070	[kN]	
Componente verticale della spinta statica	82,6851	[kN]	
Punto d'applicazione della spinta	X = 3,90	[m]	Y = -6,06 [m]
Inclinaz. della spinta rispetto alla normale alla superficie	19,04	[°]	
Inclinazione linea di rottura in condizioni statiche	55,62	[°]	
Incremento sismico della spinta	44,4369	[kN]	
Punto d'applicazione dell'incremento sismico di spinta	X = 3,90	[m]	Y = -6,06 [m]
Inclinazione linea di rottura in condizioni sismiche	49,87	[°]	
Peso terrapieno gravante sulla fondazione a monte	608,4000	[kN]	
Baricentro terrapieno gravante sulla fondazione a monte	X = 1,95	[m]	Y = -3,90 [m]
Inerzia del muro	33,2766	[kN]	
Inerzia verticale del muro	-16,6383	[kN]	
Inerzia del terrapieno fondazione di monte	59,9440	[kN]	
Inerzia verticale del terrapieno fondazione di monte	-29,9720	[kN]	

### Risultanti

Risultante dei carichi applicati in dir. orizzontale	376,5268	[kN]	
Risultante dei carichi applicati in dir. verticale	1013,8945	[kN]	
Resistenza passiva a valle del muro	-53,8947	[kN]	
Momento ribaltante rispetto allo spigolo a valle	1409,1305	[kNm]	
Momento stabilizzante rispetto allo spigolo a valle	3888,2719	[kNm]	
Sforzo normale sul piano di posa della fondazione	1013,8945	[kN]	
Sforzo tangenziale sul piano di posa della fondazione	376,5268	[kN]	
Eccentricità rispetto al baricentro della fondazione	0,56	[m]	
Lunghezza fondazione reagente	6,00	[m]	
Risultante in fondazione	1081,5519	[kN]	
Inclinazione della risultante (rispetto alla normale)	20,37	[°]	

 <b>ATI bonifica</b>	<b>Linea AV/AC VERONA – PADOVA</b> <b>1° Sublotto: VERONA – MONTEBELLO VICENTINO</b>	
	Titolo: RELAZIONE DI CALCOLO MURI	
	PROGETTO LOTTO CODIFICA DOCUMENTO REV. <b>INOD 00 DI2 CL IV 07A0004A</b>	. Pag <b>75 di 121</b>

Momento rispetto al baricentro della fondazione      564,0629 [kNm]

### **COEFFICIENTI DI SICUREZZA**

Coefficiente di sicurezza a ribaltamento                      2.76

### **Stabilità globale muro + terreno**

#### **Combinazione n° 9**

Le ascisse X sono considerate positive verso monte

Le ordinate Y sono considerate positive verso l'alto

Origine in testa al muro (spigolo contro terra)

W    peso della striscia espresso in [kN]

$\alpha$     angolo fra la base della striscia e l'orizzontale espresso in [°] (positivo antiorario)

$\phi$     angolo d'attrito del terreno lungo la base della striscia

c    coesione del terreno lungo la base della striscia espressa in [N/mm<sup>2</sup>]

b    larghezza della striscia espressa in [m]

u    pressione neutra lungo la base della striscia espressa in [N/mm<sup>2</sup>]

#### **Metodo di Bishop**

Numero di cerchi analizzati      36

Numero di strisce 25

#### **Cerchio critico**

Coordinate del centro    X[m]= -2,26    Y[m]= 4,53

Raggio del cerchio      R[m]= 14,96

Ascissa a valle del cerchio      Xi[m]= -11,81

Ascissa a monte del cerchio      Xs[m]= 12,00

Larghezza della striscia    dx[m]= 0,95

Coefficiente di sicurezza C= 1.41

Le strisce sono numerate da monte verso valle

#### **Caratteristiche delle strisce**

Striscia	W	$\alpha(^{\circ})$	$W\sin\alpha$	$b/\cos\alpha$	$\phi$	c	u
1	21,8540	67.46	20,1852	0,0244	29.26	0,000	0,000
2	58,9716	59.28	50,6989	0,0183	29.26	0,000	0,000
3	86,1395	52.70	68,5224	0,0154	29.26	0,000	0,000
4	107,7731	47.01	78,8382	0,0137	29.26	0,000	0,000
5	125,6355	41.89	83,8833	0,0125	29.26	0,000	0,000
6	140,6389	37.15	84,9293	0,0117	29.26	0,000	0,000
7	153,3293	32.69	82,8170	0,0111	29.26	0,000	0,000
8	164,0627	28.45	78,1578	0,0106	29.26	0,000	0,000
9	176,1499	24.37	72,6914	0,0103	27.15	0,000	0,000
10	186,7593	20.42	65,1707	0,0100	24.79	0,000	0,000
11	192,8349	16.57	55,0062	0,0097	24.79	0,000	0,000
12	197,5941	12.80	43,7769	0,0096	24.79	0,000	0,000
13	215,9519	9.08	34,0885	0,0095	24.79	0,000	0,000
14	128,1226	5.40	12,0636	0,0094	24.79	0,000	0,000
15	70,0416	1.75	2,1337	0,0093	24.79	0,000	0,000
16	65,0115	-1.90	-2,1604	0,0093	24.79	0,000	0,000
17	63,8268	-5.56	-6,1864	0,0094	24.79	0,000	0,000
18	61,4680	-9.24	-9,8730	0,0095	24.79	0,000	0,000
19	57,9049	-12.96	-12,9891	0,0096	24.79	0,000	0,000
20	53,0901	-16.74	-15,2910	0,0098	24.79	0,000	0,000
21	46,9554	-20.59	-16,5154	0,0100	24.79	0,000	0,000
22	39,4065	-24.55	-16,3709	0,0103	27.34	0,000	0,000
23	30,3144	-28.63	-14,5254	0,0106	29.26	0,000	0,000
24	19,5016	-32.88	-10,5873	0,0111	29.26	0,000	0,000
25	6,7191	-37.35	-4,0762	0,0117	29.26	0,000	0,000

$$\Sigma W_i = 2470,0570 \text{ [kN]}$$

$$\Sigma W_i \sin \alpha_i = 724,3880 \text{ [kN]}$$

$$\Sigma W_i \tan \phi_i = 1241,9394 \text{ [kN]}$$

$$\Sigma \tan \alpha_i \tan \phi_i = 4.11$$

### Inviluppo Sollecitazioni paramento

L'ordinata Y (espressa in [m]) è considerata positiva verso il basso con origine in testa al muro

Momento positivo se tende le fibre contro terra (a monte), espresso in [kNm]

Sforzo normale positivo di compressione, espresso in [kN]

Taglio positivo se diretto da monte verso valle, espresso in [kN]

### Inviluppo combinazioni SLU

Nr. Y	Nmin	Nmax	Mmin	Mmax	Tmin	Tmax
10,00	0,0000	0,0000	0,0000	0,0000	0,0000	0,0000
20,39	4,0612	4,0612	0,0244	0,1012	0,4437	0,8426
30,78	8,4449	8,4449	0,3247	0,6396	1,7750	2,6019
41,17	13,1510	13,1510	1,2418	1,9674	3,9937	5,2778
51,56	18,1795	18,1795	3,1163	4,4366	7,1000	8,8704
61,95	23,5305	23,5305	6,2890	8,3993	11,0937	13,3797
72,34	29,2039	29,2039	11,1007	14,2078	15,9749	18,8056
82,73	35,1997	35,1997	17,8922	22,2142	21,7436	25,1482
93,12	41,5180	41,5180	27,0040	32,7705	28,3998	32,4075
103,51	48,1587	48,1587	38,7772	46,2290	35,9435	40,5834
113,90	55,1219	55,1219	53,5522	62,9416	44,3747	49,6760
124,29	62,4075	62,4075	71,6701	83,2607	53,6934	59,6853
134,68	70,0155	70,0155	93,4714	107,5382	63,8996	70,6113
145,07	77,9460	77,9460	119,2969	136,1264	74,9933	82,4539
155,46	86,1989	86,1989	149,4874	169,3774	86,9744	95,2132
165,85	94,7742	94,7742	184,3837	207,6433	99,8431	108,8892
176,24	103,6720	103,6720	224,3264	251,2761	113,5993	123,4818
186,63	112,8922	112,8922	269,6564	300,6282	128,2429	138,9911
197,02	122,4349	122,4349	320,7144	356,0515	143,7741	155,4171
207,41	132,3000	132,3000	377,8412	417,8983	160,1927	172,7597
217,80	142,4875	142,4875	441,3627	486,5059	177,3568	190,8774

### Inviluppo combinazioni SLE

Nr. Y	Nmin	Nmax	Mmin	Mmax	Tmin	Tmax
10,00	0,0000	0,0000	0,0000	0,0000	0,0000	0,0000
20,39	4,0612	4,0612	0,0111	0,0348	0,3413	0,4730
30,78	8,4449	8,4449	0,2182	0,3285	1,3654	1,6874
41,17	13,1510	13,1510	0,8824	1,1650	3,0721	3,6435
51,56	18,1795	18,1795	2,2643	2,8279	5,4615	6,3410
61,95	23,5305	23,5305	4,6250	5,6013	8,5336	9,7801
72,34	29,2039	29,2039	8,2253	9,7688	12,2884	13,9608
82,73	35,1997	35,1997	13,3260	15,6144	16,7259	18,8829
93,12	41,5180	41,5180	20,1881	23,4218	21,8460	24,5466
103,51	48,1587	48,1587	29,0724	33,4749	27,6489	30,9518
113,90	55,1219	55,1219	40,2398	46,0575	34,1344	38,0986
124,29	62,4075	62,4075	53,9512	61,4535	41,3026	45,9869
134,68	70,0155	70,0155	70,4675	79,9466	49,1535	54,6168
145,07	77,9460	77,9460	90,0495	101,8208	57,6871	63,9881
155,46	86,1989	86,1989	112,9582	127,3597	66,9034	74,1010
165,85	94,7742	94,7742	139,4543	156,8473	76,8024	84,9555
176,24	103,6720	103,6720	169,7988	190,5674	87,3840	96,5515
186,63	112,8922	112,8922	204,2525	228,8038	98,6484	108,8890
197,02	122,4349	122,4349	243,0764	271,8404	110,5954	121,9680
207,41	132,3000	132,3000	286,5313	319,9609	123,2252	135,7886
217,80	142,4875	142,4875	334,8668	373,4370	136,4283	150,2334

### **Inviluppo Sollecitazioni fondazione di valle**

L'ascissa X(espressa in m) è considerata positiva verso monte con origine in corrispondenza dell'estremo libero della fondazione di valle

Momento positivo se tende le fibre inferiori, espresso in [kNm]

Taglio positivo se diretto verso l'alto, espresso in [kN]

### Inviluppo combinazioni SLU

Nr. X	Mmin	Mmax	Tmin	Tmax
10,00	0,0000	0,0000	0,0000	0,0000
20,10	0,6794	1,0748	13,0656	20,6325
30,21	2,7175	4,2838	26,1272	41,0400
40,31	6,1138	9,6034	39,1847	61,2225
50,42	10,8678	17,0102	52,2381	81,1800
60,52	16,9791	26,4810	65,2874	100,9125
70,62	24,4474	37,9922	78,3327	120,4200
80,73	33,2722	51,5206	91,3739	139,7026
90,83	43,4531	67,0426	104,4110	158,7601
100,94	54,9896	84,5349	117,4441	177,5927
111,04	67,8813	103,9741	130,4730	196,2002

### Inviluppo combinazioni SLE

Nr. X	Mmin	Mmax	Tmin	Tmax
10,00	0,0000	0,0000	0,0000	0,0000
20,10	0,5974	0,7226	11,4982	13,8933
30,21	2,3935	2,8891	23,0506	27,7674
40,31	5,3938	6,4976	34,6570	41,6224
50,42	9,6040	11,5459	46,3176	55,4582
60,52	15,0298	18,0322	58,0323	69,2748
70,62	21,6766	25,9544	69,8011	83,0724
80,73	29,5503	35,3106	81,6240	96,8507



90,83	38,6563	46,0987	93,5010	110,6100
100,94	49,0004	58,3168	105,4322	124,3500
111,04	60,5881	71,9629	117,4175	138,0710

### Inviluppo Sollecitazioni fondazione di monte

L'ascissa X(espressa in m) è considerata positiva verso valle con origine in corrispondenza dell'estremo libero della fondazione di monte

Momento positivo se tende le fibre inferiori, espresso in [kNm]

Taglio positivo se diretto verso l'alto, espresso in [kN]

### Inviluppo combinazioni SLU

Nr. X	Mmin	Mmax	Tmin	Tmax
10,00	0,0000	0,0000	0,0000	0,0000
20,39	-6,2157	-4,4536	-31,3286	-22,8294
30,78	-24,0097	-17,7994	-59,3752	-44,6864
41,17	-52,1018	-39,2123	-84,1398	-62,2836
51,56	-89,2121	-66,4202	-105,6224	-76,7168
61,95	-134,0606	-98,6401	-123,8230	-87,9861
72,34	-185,3673	-134,6381	-138,7416	-96,0914
82,73	-241,8524	-173,1801	-158,6024	-101,0327
93,12	-302,2357	-213,0323	-181,0308	-102,8101
103,51	-365,2373	-252,9606	-203,4019	-101,4235
113,90	-442,0073	-291,7313	-225,7156	-96,8729

### Inviluppo combinazioni SLE

Nr. X	Mmin	Mmax	Tmin	Tmax
10,00	0,0000	0,0000	0,0000	0,0000

20,39	-1,6542	-0,0240	-8,4331	-0,2500
30,78	-6,5390	-0,2939	-16,5676	-1,2609
41,17	-14,5380	-1,1065	-24,4033	-3,0329
51,56	-25,5347	-2,7585	-31,9403	-5,5659
61,95	-39,4126	-5,5468	-39,1785	-8,8599
72,34	-56,0552	-9,7681	-46,1181	-12,9149
82,73	-75,3459	-15,7193	-52,7589	-17,7309
93,12	-97,1683	-23,6972	-59,1010	-23,3079
103,51-121,4059		-33,9984	-65,1444	-29,6459
113,90-147,9421		-46,9199	-70,8891	-36,7450

### Inviluppo armature e tensioni nei materiali del muro

L'ordinata Y (espressa in [m]) è considerata positiva verso il basso con origine in testa al muro

- B base della sezione espressa in [cm]
- H altezza della sezione espressa in [cm]
- $A_{fs}$  area di armatura in corrispondenza del lembo di monte in [cmq]
- $A_{fi}$  area di armatura in corrispondenza del lembo di valle in [cmq]
- $\sigma_c$  tensione nel calcestruzzo espressa in [N/mmq]
- $\tau_c$  tensione tangenziale nel calcestruzzo espressa in [N/mmq]
- $\sigma_{fs}$  tensione nell'armatura disposta sul lembo di monte in [N/mmq]
- $\sigma_{fi}$  tensione nell'armatura disposta sul lembo di valle in [N/mmq]
- $N_u$  sforzo normale ultimo espresso in [kN]
- $M_u$  momento ultimo espresso in [kNm]
- CS coefficiente sicurezza sezione
- $V_{Rcd}$  Aliquota di taglio assorbito dal cls, espresso in [kN]
- $V_{Rsd}$  Aliquota di taglio assorbito dall'armatura, espresso in [kN]
- $V_{Rd}$  Resistenza al taglio, espresso in [kN]

### Inviluppo SLU

Nr.	Y	B, H	$A_{fs}$	$A_{fi}$	$N_u$	$M_u$	CS	$V_{Rd}$	$V_{Rcd}$	$V_{Rsd}$
1	0,00	100, 40	15,71	15,71	0,00	0,00	1000,00	166,00	--	--
2	0,39	100, 43	15,71	15,71	6287,04	-38,84	1548,07	173,36	--	--
3	0,78	100, 47	15,71	15,71	5731,13	-253,06	678,65	180,53	--	--

4	1,17	100, 50	15,71	15,71	4450,96	-539,98	338,45	189,09	--	--
5	1,56	100, 53	15,71	15,71	3178,50	-767,01	174,84	199,23	--	--
6	1,95	100, 57	15,71	15,71	2013,48	-718,72	85,57	209,31	--	--
7	2,34	100, 60	15,71	15,71	1300,42	-632,66	44,53	219,35	--	--
8	2,73	100, 63	15,71	15,71	909,50	-573,98	25,84	229,35	--	--
9	3,12	100, 67	15,71	15,71	692,07	-546,26	16,67	239,32	--	--
10	3,51	100, 70	15,71	15,71	559,31	-536,90	11,61	249,26	--	--
11	3,90	100, 73	15,71	15,71	470,36	-537,08	8,53	259,19	--	--
12	4,29	100, 76	15,71	15,71	406,90	-542,87	6,52	269,10	--	--
13	4,68	100, 80	15,71	15,71	359,53	-552,20	5,13	279,01	--	--
14	5,07	100, 83	15,71	15,71	322,91	-563,93	4,14	288,91	--	--
15	5,46	100, 86	31,42	15,71	570,84-1121,67		6,62	323,01	--	--
16	5,85	100, 90	31,42	15,71	526,08-1152,61		5,55	330,49	--	--
17	6,24	100, 93	31,42	15,71	488,93-1185,04		4,72	337,91	--	--
18	6,63	100, 96	31,42	15,71	457,63-1218,65		4,05	345,30	--	--
19	7,02	100, 100	31,42	15,71	430,93-1253,18		3,52	352,66	--	--
20	7,41	100, 103	31,42	15,71	407,90-1288,45		3,08	359,99	--	--
21	7,80	100, 106	31,42	15,71	387,87-1324,33		2,72	367,28	--	--

Inviluppo SLE

Nr.	Y	B, H	A <sub>fs</sub>	A <sub>fi</sub>	$\sigma_c$	$\tau_c$	$\sigma_{fs}$	$\sigma_{fi}$
1	0,00	100, 40	15,71	15,71	0,000	0,000	0,000	0,000
2	0,39	100, 43	15,71	15,71	0,009	0,001	-0,123	-0,138
3	0,78	100, 47	15,71	15,71	0,024	0,005	-0,185	-0,340
4	1,17	100, 50	15,71	15,71	0,047	0,009	-0,138	-0,655
5	1,56	100, 53	15,71	15,71	0,086	0,015	0,336	-1,163
6	1,95	100, 57	15,71	15,71	0,153	0,022	1,689	-1,985
7	2,34	100, 60	15,71	15,71	0,246	0,029	4,408	-3,105
8	2,73	100, 63	15,71	15,71	0,362	0,038	8,558	-4,485
9	3,12	100, 67	15,71	15,71	0,500	0,046	14,160	-6,117
10	3,51	100, 70	15,71	15,71	0,659	0,055	21,245	-8,000

11	3,90	100, 73	15,71	15,71	0,839	0,065	29,847	-10,135
12	4,29	100, 76	15,71	15,71	1,039	0,075	40,000	-12,519
13	4,68	100, 80	15,71	15,71	1,258	0,085	51,731	-15,150
14	5,07	100, 83	15,71	15,71	1,497	0,095	65,065	-18,024
15	5,46	100, 86	31,42	15,71	1,389	0,106	41,931	-17,789
16	5,85	100, 90	31,42	15,71	1,601	0,117	50,494	-20,536
17	6,24	100, 93	31,42	15,71	1,826	0,128	59,901	-23,463
18	6,63	100, 96	31,42	15,71	2,063	0,139	70,158	-26,566
19	7,02	100, 100	31,42	15,71	2,312	0,150	81,271	-29,838
20	7,41	100, 103	31,42	15,71	2,574	0,161	93,243	-33,277
21	7,80	100, 106	31,42	15,71	2,846	0,173	106,075	-36,877

### Inviluppo armature e tensioni nei materiali della fondazione

Simbologia adottata

- B base della sezione espressa in [cm]
- H altezza della sezione espressa in [cm]
- $A_{ri}$  area di armatura in corrispondenza del lembo inferiore in [cmq]
- $A_{rs}$  area di armatura in corrispondenza del lembo superiore in [cmq]
- $\sigma_c$  tensione nel calcestruzzo espressa in [N/mm<sup>2</sup>]
- $\tau_c$  tensione tangenziale nel calcestruzzo espressa in [N/mm<sup>2</sup>]
- $\sigma_{ri}$  tensione nell'armatura disposta in corrispondenza del lembo inferiore in [N/mm<sup>2</sup>]
- $\sigma_{rs}$  tensione nell'armatura disposta in corrispondenza del lembo superiore in [N/mm<sup>2</sup>]
- $N_u$  sforzo normale ultimo espresso in [kN]
- $M_u$  momento ultimo espresso in [kNm]
- CS coefficiente sicurezza sezione
- VRcd Aliquota di taglio assorbito dal cls, espresso in [kN]
- VRsd Aliquota di taglio assorbito dall'armatura, espresso in [kN]
- VRd Resistenza al taglio, espresso in [kN]

### Fondazione di valle

(L'ascissa X, espressa in [m], è positiva verso monte con origine in corrispondenza dell'estremo libero della fondazione di valle)

Inviluppo SLU

Nr.	Y	B, H	A <sub>fs</sub>	A <sub>fi</sub>	N <sub>u</sub>	M <sub>u</sub>	CS	V <sub>Rd</sub>	V <sub>Rcd</sub>	V <sub>Rsd</sub>
1	0,00	100, 130	0,00	0,00	0,00	0,00	1000,00	397,19	--	--
2	0,10	100, 130	0,00	0,00	0,00	0,00	0,00	397,19	--	--
3	0,21	100, 130	31,42	31,42	0,00	1437,71	335,62	397,19	--	--
4	0,31	100, 130	31,42	31,42	0,00	1437,71	149,71	397,19	--	--
5	0,42	100, 130	31,42	31,42	0,00	1437,71	84,52	397,19	--	--
6	0,52	100, 130	31,42	31,42	0,00	1437,71	54,29	397,19	--	--
7	0,62	100, 130	31,42	31,42	0,00	1437,71	37,84	397,19	--	--
8	0,73	100, 130	31,42	31,42	0,00	1437,71	27,91	397,19	--	--
9	0,83	100, 130	31,42	31,42	0,00	1437,71	21,44	397,19	--	--
10	0,94	100, 130	31,42	31,42	0,00	1437,71	17,01	397,19	--	--
11	1,04	100, 130	31,42	31,42	0,00	1437,71	13,83	397,19	--	--

Inviluppo SLE

Nr.	X	B, H	A <sub>fs</sub>	A <sub>fi</sub>	σ <sub>c</sub>	τ <sub>c</sub>	σ <sub>fi</sub>	σ <sub>fs</sub>
12	0,00	100, 130	0,00	0,00	0,000	0,000	0,000	0,000
13	0,10	100, 130	0,00	0,00	0,000	0,013	0,000	0,000
14	0,21	100, 130	31,42	31,42	0,014	0,026	0,778	-0,179
15	0,31	100, 130	31,42	31,42	0,032	0,039	1,750	-0,403
16	0,42	100, 130	31,42	31,42	0,056	0,052	3,109	-0,716
17	0,52	100, 130	31,42	31,42	0,088	0,065	4,856	-1,118
18	0,62	100, 130	31,42	31,42	0,126	0,078	6,990	-1,609
19	0,73	100, 130	31,42	31,42	0,171	0,090	9,509	-2,189
20	0,83	100, 130	31,42	31,42	0,224	0,103	12,415	-2,857
21	0,94	100, 130	31,42	31,42	0,283	0,116	15,705	-3,615
22	1,04	100, 130	31,42	31,42	0,349	0,129	19,380	-4,460

Fondazione di monte


(L'ascissa X, espressa in [m], è positiva verso valle con origine in corrispondenza dell'estremo libero della fondazione di monte)

Inviluppo SLU

Nr.	Y	B, H	A <sub>fs</sub>	A <sub>fi</sub>	N <sub>u</sub>	M <sub>u</sub>	CS	V <sub>Rd</sub>	V <sub>Rcd</sub>	V <sub>Rsd</sub>
1	0,00	100, 130	0,00	0,00	0,00	0,00	1000,00	397,19	--	--
2	0,39	100, 130	31,42	31,42	0,00	-1437,71	231,30	397,19	--	--
3	0,78	100, 130	31,42	31,42	0,00	-1437,71	59,88	397,19	--	--
4	1,17	100, 130	31,42	31,42	0,00	-1437,71	27,59	397,19	--	--
5	1,56	100, 130	31,42	31,42	0,00	-1437,71	16,12	397,19	--	--
6	1,95	100, 130	31,42	31,42	0,00	-1437,71	10,72	397,19	--	--
7	2,34	100, 130	31,42	31,42	0,00	-1437,71	7,76	397,19	--	--
8	2,73	100, 130	31,42	31,42	0,00	-1437,71	5,94	397,19	--	--
9	3,12	100, 130	31,42	31,42	0,00	-1437,71	4,76	397,19	--	--
10	3,51	100, 130	31,42	31,42	0,00	-1437,71	3,94	397,19	--	--
11	3,90	100, 130	31,42	31,42	0,00	-1437,71	3,25	397,19	--	--

Inviluppo SLE

Nr.	X	B, H	A <sub>fs</sub>	A <sub>fi</sub>	σ <sub>c</sub>	τ <sub>c</sub>	σ <sub>fi</sub>	σ <sub>fs</sub>
12	0,00	100, 130	0,00	0,00	0,000	0,000	0,000	0,000
13	0,39	100, 130	31,42	31,42	0,008	-0,008	-0,103	0,445
14	0,78	100, 130	31,42	31,42	0,032	-0,015	-0,405	1,761
15	1,17	100, 130	31,42	31,42	0,071	-0,023	-0,901	3,915
16	1,56	100, 130	31,42	31,42	0,124	-0,030	-1,583	6,877
17	1,95	100, 130	31,42	31,42	0,191	-0,037	-2,443	10,614
18	2,34	100, 130	31,42	31,42	0,272	-0,043	-3,474	15,096
19	2,73	100, 130	31,42	31,42	0,366	-0,049	-4,670	20,291
20	3,12	100, 130	31,42	31,42	0,472	-0,055	-6,023	26,168
21	3,51	100, 130	31,42	31,42	0,590	-0,061	-7,525	32,696
22	3,90	100, 130	31,42	31,42	0,718	-0,066	-9,170	39,842

 <b>ATI bonifica</b>	<b>Linea AV/AC VERONA – PADOVA</b>	
	<b>1° Sublotto: VERONA – MONTEBELLO VICENTINO</b>	
	Titolo: RELAZIONE DI CALCOLO MURI	
	PROGETTO LOTTO CODIFICA DOCUMENTO REV.	. Pag 86 di 121
	INOD 00 DI2 CL IV 07A0004A	

## 12 ALLEGATO 2: OUTPUT DEL PROGRAMMA DI CALCOLO – MURO ‘TIPO 2’

### Normativa

### N.T.C. 2008 - Approccio 2

#### Simbologia adottata

$\gamma_{Gsfav}$	Coefficiente parziale sfavorevole sulle azioni permanenti
$\gamma_{Gfav}$	Coefficiente parziale favorevole sulle azioni permanenti
$\gamma_{Qsfav}$	Coefficiente parziale sfavorevole sulle azioni variabili
$\gamma_{Qfav}$	Coefficiente parziale favorevole sulle azioni variabili
$\gamma_{tan\phi'}$	Coefficiente parziale di riduzione dell'angolo di attrito drenato
$\gamma_{c'}$	Coefficiente parziale di riduzione della coesione drenata
$\gamma_{cu}$	Coefficiente parziale di riduzione della coesione non drenata
$\gamma_{qu}$	Coefficiente parziale di riduzione del carico ultimo
$\gamma_{\gamma}$	Coefficiente parziale di riduzione della resistenza a compressione uniassiale delle rocce

### Coefficienti di partecipazione combinazioni statiche

#### Coefficienti parziali per le azioni o per l'effetto delle azioni:

<i>Carichi</i>	<i>Effetto</i>		<i>A1</i>	<i>A2</i>	<i>EQU</i>	<i>HYD</i>
Permanenti	Favorevole	$\gamma_{Gfav}$	1.00	1.00	0.90	0.90
Permanenti	Sfavorevole	$\gamma_{Gsfav}$	1.30	1.00	1.10	1.30
Variabili	Favorevole	$\gamma_{Qfav}$	0.00	0.00	0.00	0.00
Variabili	Sfavorevole	$\gamma_{Qsfav}$	1.50	1.30	1.50	1.50

#### Coefficienti parziali per i parametri geotecnici del terreno:

<i>Parametri</i>		<i>M1</i>	<i>M2</i>	<i>M2</i>	<i>M1</i>
Tangente dell'angolo di attrito	$\gamma_{tan\phi'}$	1.00	1.25	1.25	1.00
Coesione efficace	$\gamma_{c'}$	1.00	1.25	1.25	1.00
Resistenza non drenata	$\gamma_{cu}$	1.00	1.40	1.40	1.00

Resistenza a compressione uniassiale	$\gamma_{qu}$	1.00	1.60	1.60	1.00
Peso dell'unità di volume	$\gamma_{\gamma}$	1.00	1.00	1.00	1.00

### Coefficienti di partecipazione combinazioni sismiche

#### Coefficienti parziali per le azioni o per l'effetto delle azioni:

<i>Carichi</i>	<i>Effetto</i>		<i>A1</i>	<i>A2</i>	<i>EQU</i>	<i>HYD</i>
Permanenti	Favorevole	$\gamma_{Gfav}$	1.00	1.00	1.00	0.90
Permanenti	Sfavorevole	$\gamma_{Gsfav}$	1.00	1.00	1.00	1.30
Variabili	Favorevole	$\gamma_{Qfav}$	0.00	0.00	0.00	0.00
Variabili	Sfavorevole	$\gamma_{Qsfav}$	1.00	1.00	1.00	1.50

#### Coefficienti parziali per i parametri geotecnici del terreno:

<i>Parametri</i>		<i>M1</i>	<i>M2</i>	<i>M2</i>	<i>M1</i>
Tangente dell'angolo di attrito	$\gamma_{\tan\phi'}$	1.00	1.25	1.25	1.00
Coesione efficace	$\gamma_{c'}$	1.00	1.25	1.25	1.00
Resistenza non drenata	$\gamma_{cu}$	1.00	1.40	1.40	1.00
Resistenza a compressione uniassiale	$\gamma_{qu}$	1.00	1.60	1.60	1.00
Peso dell'unità di volume	$\gamma_{\gamma}$	1.00	1.00	1.00	1.00

### FONDAZIONE SUPERFICIALE

#### Coefficienti parziali $\gamma_R$ per le verifiche agli stati limite ultimi STR e GEO

<i>Verifica</i>	<i>Coefficienti parziali</i>		
	<i>R1</i>	<i>R2</i>	<i>R3</i>
Capacità portante della fondazione	1.00	1.00	1.40
Scorrimento	1.00	1.00	1.10



Resistenza del terreno a valle	1.00	1.00	1.40
Stabilità globale		1.10	

**Geometria muro e fondazione**

Descrizione	Muro a mensola in c.a.
Altezza del paramento	6.22 [m]
Spessore in sommità	0.40 [m]
Spessore all'attacco con la fondazione	0.81 [m]
Inclinazione paramento esterno	3.78 [°]
Inclinazione paramento interno	0.00 [°]
Lunghezza del muro	10.00 [m]

Fondazione

Lunghezza mensola fondazione di valle	0.80 [m]
Lunghezza mensola fondazione di monte	3.40 [m]
Lunghezza totale fondazione	5.01 [m]
Inclinazione piano di posa della fondazione	0.00 [°]
Spessore fondazione	1.30 [m]
Spessore magrone	0.20 [m]

### Materiali utilizzati per la struttura

#### Calcestruzzo

Peso specifico	25.000 [kN/mc]
Classe di Resistenza	C28/35
Resistenza caratteristica a compressione $R_{ck}$	35.00 [N/mm <sup>2</sup> ]
Modulo elastico E	32587.986 [N/mm <sup>2</sup> ]

#### Acciaio

Tipo	B450C
Tensione di snervamento $\sigma_{fa}$	431.50 [N/mm <sup>2</sup> ]

### Geometria profilo terreno a monte del muro

#### Simbologia adottata e sistema di riferimento

(Sistema di riferimento con origine in testa al muro, ascissa X positiva verso monte, ordinata Y positiva verso l'alto)

N numero ordine del punto

X ascissa del punto espressa in [m]

Y ordinata del punto espressa in [m]

A inclinazione del tratto espressa in [°]

N	X	Y	A
1	7.50	5.00	33.69
2	10.00	5.00	0.00
3	21.00	5.00	0.00

### Terreno a valle del muro

Inclinazione terreno a valle del muro rispetto all'orizzontale 0.00 [°]

Altezza del rinterro rispetto all'attacco fondaz.valle-paramento 0.42 [m]

### Descrizione terreni

#### Simbologia adottata

<i>Nr.</i>	Indice del terreno
<i>Descrizione</i>	Descrizione terreno
$\gamma$	Peso di volume del terreno espresso in [kN/mc]
$\gamma_s$	Peso di volume saturo del terreno espresso in [kN/mc]
$\phi$	Angolo d'attrito interno espresso in [°]
$\delta$	Angolo d'attrito terra-muro espresso in [°]
<i>c</i>	Coesione espressa in [N/mm <sup>q</sup> ]
<i>c<sub>a</sub></i>	Adesione terra-muro espressa in [N/mm <sup>q</sup> ]

Descrizione	$\gamma$	$\gamma_s$	$\phi$	$\delta$	<i>c</i>	<i>c<sub>a</sub></i>
terreno rinf.	20.00	20.00	35.00	23.33	0.0110	0.0000
terreno fondaz.	20.00	20.00	30.00	20.00	0.0500	0.0250

### Stratigrafia

#### Simbologia adottata

<i>N</i>	Indice dello strato
<i>H</i>	Spessore dello strato espresso in [m]

<i>a</i>	Inclinazione espressa in [°]
<i>Kw</i>	Costante di Winkler orizzontale espressa in Kg/cm <sup>2</sup> /cm
<i>Ks</i>	Coefficiente di spinta
<i>Terreno</i>	Terreno dello strato

Nr.	H	a	Kw	Ks	Terreno
1	7.30	0.00	7.64	0.00	terreno rinf.
2	8.00	0.00	15.25	0.00	terreno fondaz.

### Condizioni di carico

#### *Simbologia e convenzioni di segno adottate*

Carichi verticali positivi verso il basso.

Carichi orizzontali positivi verso sinistra.

Momento positivo senso antiorario.

*X* Ascissa del punto di applicazione del carico concentrato espressa in [m]

*F<sub>x</sub>* Componente orizzontale del carico concentrato espressa in [kN]

*F<sub>y</sub>* Componente verticale del carico concentrato espressa in [kN]

*M* Momento espresso in [kNm]

*X<sub>i</sub>* Ascissa del punto iniziale del carico ripartito espressa in [m]

*X<sub>f</sub>* Ascissa del punto finale del carico ripartito espressa in [m]

*Q<sub>i</sub>* Intensità del carico per  $x=X_i$  espressa in [kN/m]

*Q<sub>f</sub>* Intensità del carico per  $x=X_f$  espressa in [kN/m]

*D / C* Tipo carico : D=distribuito C=concentrato

#### Condizione n° 1 (Accidentale stradale)

D Profilo       $X_i=8.00$      $X_f=20.00$        $Q_i=20.0000$      $Q_f=20.0000$

**Descrizione combinazioni di carico**
***Simbologia adottata***

F/S Effetto dell'azione (FAV: Favorevole, SFAV: Sfavorevole)

$\gamma$  Coefficiente di partecipazione della condizione

$\Psi$  Coefficiente di combinazione della condizione

**Combinazione n° 1 - Caso A1-M1 (STR)**

	<b>S/F</b>	$\gamma$	$\Psi$	$\gamma * \Psi$
Peso proprio muro	FAV	1.00	1.00	1.00
Peso proprio terrapieno	FAV	1.00	1.00	1.00
Spinta terreno	SFAV	1.30	1.00	1.30
Accidentale stradale	SFAV	1.50	1.00	1.50

**Combinazione n° 2 - Caso EQU (SLU)**

	<b>S/F</b>	$\gamma$	$\Psi$	$\gamma * \Psi$
Peso proprio muro	FAV	0.90	1.00	0.90
Peso proprio terrapieno	FAV	0.90	1.00	0.90
Spinta terreno	SFAV	1.10	1.00	1.10
Accidentale stradale	SFAV	1.50	1.00	1.50

**Combinazione n° 3 - Caso A2-M2 (GEO-STAB)**

	<b>S/F</b>	$\gamma$	$\Psi$	$\gamma * \Psi$
Peso proprio muro	SFAV	1.00	1.00	1.00
Peso proprio terrapieno	SFAV	1.00	1.00	1.00
Spinta terreno	SFAV	1.00	1.00	1.00
Accidentale stradale	SFAV	1.30	1.00	1.30

**Combinazione n° 4 - Caso A1-M1 (STR) - Sisma Vert. positivo**

	<b>S/F</b>	$\gamma$	$\Psi$	$\gamma * \Psi$
--	------------	----------	--------	-----------------

Peso proprio muro	SFAV	1.00	1.00	1.00
Peso proprio terrapieno	SFAV	1.00	1.00	1.00
Spinta terreno	SFAV	1.00	1.00	1.00

Combinazione n° 5 - Caso A1-M1 (STR) - Sisma Vert. negativo

	<b>S/F</b>	$\gamma$	$\Psi$	$\gamma * \Psi$
Peso proprio muro	SFAV	1.00	1.00	1.00
Peso proprio terrapieno	SFAV	1.00	1.00	1.00
Spinta terreno	SFAV	1.00	1.00	1.00

Combinazione n° 6 - Caso EQU (SLU) - Sisma Vert. negativo

	<b>S/F</b>	$\gamma$	$\Psi$	$\gamma * \Psi$
Peso proprio muro	FAV	1.00	1.00	1.00
Peso proprio terrapieno	FAV	1.00	1.00	1.00
Spinta terreno	SFAV	1.00	1.00	1.00

Combinazione n° 7 - Caso EQU (SLU) - Sisma Vert. positivo

	<b>S/F</b>	$\gamma$	$\Psi$	$\gamma * \Psi$
Peso proprio muro	FAV	1.00	1.00	1.00
Peso proprio terrapieno	FAV	1.00	1.00	1.00
Spinta terreno	SFAV	1.00	1.00	1.00

Combinazione n° 8 - Caso A2-M2 (GEO-STAB) - Sisma Vert. positivo

	<b>S/F</b>	$\gamma$	$\Psi$	$\gamma * \Psi$
Peso proprio muro	SFAV	1.00	1.00	1.00
Peso proprio terrapieno	SFAV	1.00	1.00	1.00
Spinta terreno	SFAV	1.00	1.00	1.00

Combinazione n° 9 - Caso A2-M2 (GEO-STAB) - Sisma Vert. negativo

	<b>S/F</b>	$\gamma$	$\Psi$	$\gamma * \Psi$
Peso proprio muro	SFAV	1.00	1.00	1.00

Peso proprio terrapieno	SFAV	1.00	1.00	1.00
Spinta terreno	SFAV	1.00	1.00	1.00

Combinazione n° 10 - Quasi Permanente (SLE)

	<b>S/F</b>	$\gamma$	$\Psi$	$\gamma * \Psi$
Peso proprio muro	--	1.00	1.00	1.00
Peso proprio terrapieno	--	1.00	1.00	1.00
Spinta terreno	--	1.00	1.00	1.00

Combinazione n° 11 - Frequente (SLE)

	<b>S/F</b>	$\gamma$	$\Psi$	$\gamma * \Psi$
Peso proprio muro	--	1.00	1.00	1.00
Peso proprio terrapieno	--	1.00	1.00	1.00
Spinta terreno	--	1.00	1.00	1.00
Accidentale stradale	SFAV	1.00	0.75	0.75

Combinazione n° 12 - Rara (SLE)

	<b>S/F</b>	$\gamma$	$\Psi$	$\gamma * \Psi$
Peso proprio muro	--	1.00	1.00	1.00
Peso proprio terrapieno	--	1.00	1.00	1.00
Spinta terreno	--	1.00	1.00	1.00
Accidentale stradale	SFAV	1.00	1.00	1.00

**Impostazioni di analisi**

Metodo verifica sezioni

**Stato limite**
**Impostazioni verifiche SLU**

*Coefficienti parziali per resistenze di calcolo dei materiali*

Coefficiente di sicurezza calcestruzzo a compressione	1.60
Coefficiente di sicurezza calcestruzzo a trazione	1.60
Coefficiente di sicurezza acciaio	1.15
Fattore riduzione da resistenza cubica a cilindrica	0.83
Fattore di riduzione per carichi di lungo periodo	0.85
Coefficiente di sicurezza per la sezione	1.00

***Impostazioni verifiche SLE***

Condizioni ambientali	Aggressive
Armatura ad aderenza migliorata	

*Verifica fessurazione*

Sensibilità delle armature	Poco sensibile
Valori limite delle aperture delle fessure	$w_1 = 0.20$
	$w_2 = 0.30$
	$w_3 = 0.40$
Metodo di calcolo aperture delle fessure	E.C. 2
<u><i>Verifica delle tensioni</i></u>	
Combinazione di carico	Rara $\sigma_c < 0.60 f_{ck}$ - $\sigma_f < 0.80 f_{yk}$
	Quasi permanente $\sigma_c < 0.45 f_{ck}$

Calcolo della portanza metodo di Terzaghi

Coefficiente correttivo su  $N_\gamma$  per effetti cinematici (combinazioni sismiche SLU): 1.00  
 Coefficiente correttivo su  $N_\gamma$  per effetti cinematici (combinazioni sismiche SLE): 1.00

***Impostazioni avanzate***



Influenza del terreno sulla fondazione di valle nelle verifiche e nel calcolo delle sollecitazioni  
 Diagramma correttivo per eccentricità negativa con aliquota di parzializzazione pari a 0.00

**Quadro riassuntivo coeff. di sicurezza calcolati**
**Simbologia adottata**

C Identificativo della combinazione

Tipo Tipo combinazione

Sisma Combinazione sismica

CS<sub>SCO</sub> Coeff. di sicurezza allo scorrimento

CS<sub>RIB</sub> Coeff. di sicurezza al ribaltamento

CS<sub>QLIM</sub> Coeff. di sicurezza a carico limite

CS<sub>STAB</sub> Coeff. di sicurezza a stabilità globale

C	Tipo	Sisma	CS <sub>sco</sub>	CS <sub>rib</sub>	CS <sub>qlim</sub>	CS <sub>stab</sub>
1	A1-M1 - [1]	--	1.55	--	17.42	--
2	EQU - [1]	--	--	2.15	--	--
3	STAB - [1]	--	--	--	--	1.79
4	A1-M1 - [2]	Orizzontale + Verticale positivo	1.40	--	15.66	--
5	A1-M1 - [2]	Orizzontale + Verticale negativo	1.43	--	17.04	--
6	EQU - [2]	Orizzontale + Verticale negativo	--	1.86	--	--
7	EQU - [2]	Orizzontale + Verticale positivo	--	1.96	--	--
8	STAB - [2]	Orizzontale + Verticale positivo	--	--	--	1.62
9	STAB - [2]	Orizzontale + Verticale negativo	--	--	--	1.65
10	SLEQ - [1]	--	2.45	--	21.07	--
11	SLEF - [1]	--	2.26	--	20.58	--
12	SLER - [1]	--	2.20	--	20.40	--

 <b>ATI bonifica</b>	<b>Linea AV/AC VERONA – PADOVA</b>	
	<b>1° Sublotto: VERONA – MONTEBELLO VICENTINO</b>	
	Titolo: RELAZIONE DI CALCOLO MURI	
	PROGETTO LOTTO CODIFICA DOCUMENTO REV.	. Pag 97 di 121
	<b>IN0D 00 DI2 CL IV 07A0004A</b>	

## Analisi della spinta e verifiche

Sistema di riferimento adottato per le coordinate :

Origine in testa al muro (spigolo di monte)

Ascisse X (espresse in [m]) positive verso monte

Ordinate Y (espresse in [m]) positive verso l'alto

Le forze orizzontali sono considerate positive se agenti da monte verso valle

Le forze verticali sono considerate positive se agenti dall'alto verso il basso

Calcolo riferito ad 1 metro di muro

### Tipo di analisi

Calcolo della spinta	metodo di Culmann
Calcolo del carico limite	metodo di Terzaghi
Calcolo della stabilità globale	metodo di Bishop
Calcolo della spinta in condizioni di	Spinta attiva

### Sisma

#### Combinazioni SLU

Accelerazione al suolo $a_g$	2.30 [m/s <sup>2</sup> ]
Coefficiente di amplificazione per tipo di sottosuolo (S)	1.36
Coefficiente di amplificazione topografica (St)	1.00
Coefficiente riduzione ( $\beta_m$ )	0.31
Rapporto intensità sismica verticale/orizzontale	0.50
Coefficiente di intensità sismica orizzontale (percento)	$k_h=(a_g/g*\beta_m*St*S) = 9.85$
Coefficiente di intensità sismica verticale (percento)	$k_v=0.50 * k_h = 4.93$

#### Combinazioni SLE

Accelerazione al suolo $a_g$	0.95 [m/s <sup>2</sup> ]
------------------------------	--------------------------

Coefficiente di amplificazione per tipo di sottosuolo (S)	1.50
Coefficiente di amplificazione topografica (St)	1.00
Coefficiente riduzione ( $\beta_m$ )	0.18
Rapporto intensità sismica verticale/orizzontale	0.50
Coefficiente di intensità sismica orizzontale (percento)	$k_h = (a_g/g * \beta_m * St * S) = 2.62$
Coefficiente di intensità sismica verticale (percento)	$k_v = 0.50 * k_h = 1.31$

Forma diagramma incremento sismico                      Stessa forma diagramma statico

Partecipazione spinta passiva (percento)	50.0
Lunghezza del muro	10.00 [m]
Peso muro	256.9598 [kN]
Baricentro del muro	X=0.45 Y=-5.62

#### Superficie di spinta

Punto inferiore superficie di spinta	X = 3.40	Y = -7.52
Punto superiore superficie di spinta	X = 3.40	Y = 2.27
Altezza della superficie di spinta	9.79 [m]	
Inclinazione superficie di spinta (rispetto alla verticale)	0.00 [°]	

#### COMBINAZIONE n° 4

Valore della spinta statica	212.8629 [kN]
Componente orizzontale della spinta statica	195.5043 [kN]
Componente verticale della spinta statica	84.1942 [kN]
Punto d'applicazione della spinta	X = 3.40 [m]      Y = -4.72 [m]
Inclinaz. della spinta rispetto alla normale alla superficie	23.30 [°]

Inclinazione linea di rottura in condizioni statiche	55.67	[°]	
Incremento sismico della spinta	99.4424	[kN]	
Punto d'applicazione dell'incremento sismico di spinta	X = 3.40	[m]	Y =
-4.72	[m]		
Inclinazione linea di rottura in condizioni sismiche	51.55	[°]	
Peso terrapieno gravante sulla fondazione a monte	500.0267	[kN]	
Baricentro terrapieno gravante sulla fondazione a monte	X = 1.79	[m]	Y =
-2.51	[m]		
Inerzia del muro	25.3176	[kN]	
Inerzia verticale del muro	12.6588	[kN]	
Inerzia del terrapieno fondazione di monte	49.2663	[kN]	
Inerzia verticale del terrapieno fondazione di monte	24.6332	[kN]	

### Risultanti

Risultante dei carichi applicati in dir. orizzontale	362.0949	[kN]	
Risultante dei carichi applicati in dir. verticale	924.6418	[kN]	
Resistenza passiva a valle del muro	-44.3760	[kN]	
Sforzo normale sul piano di posa della fondazione	924.6418	[kN]	
Sforzo tangenziale sul piano di posa della fondazione	362.0949	[kN]	
Eccentricità rispetto al baricentro della fondazione	0.49	[m]	
Lunghezza fondazione reagente	5.01	[m]	
Risultante in fondazione	993.0132	[kN]	
Inclinazione della risultante (rispetto alla normale)	21.39	[°]	
Momento rispetto al baricentro della fondazione	455.7823	[kNm]	
Carico ultimo della fondazione	14483.0456	[kN]	

### Tensioni sul terreno

Lunghezza fondazione reagente	5.01	[m]	
Tensione terreno allo spigolo di valle	0.29347	[N/mmq]	

Tensione terreno allo spigolo di monte 0.07561 [N/mmq]

### Fattori per il calcolo della capacità portante

**Coeff. capacità portante**  $N_c = 37.16$   $N_q = 22.46$   $N_\gamma = 19.32$

**Fattori forma**  $s_c = 1.00$   $s_q = 1.00$   $s_\gamma = 1.00$

I coefficienti  $N'$  tengono conto dei fattori di forma, profondità, inclinazione carico, inclinazione piano di posa, inclinazione pendio.

$N'_c = 37.16$   $N'_q = 22.46$   $N'_\gamma = 19.32$

### COEFFICIENTI DI SICUREZZA

Coefficiente di sicurezza a scorrimento 1.40

Coefficiente di sicurezza a carico ultimo 15.66

### **Sollecitazioni paramento**

#### Combinazione n° 4

L'ordinata Y (espressa in m) è considerata positiva verso il basso con origine in testa al muro

Momento positivo se tende le fibre contro terra (a monte), espresso in kNm

Sforzo normale positivo di compressione, espresso in kN

Taglio positivo se diretto da monte verso valle, espresso in kN

Nr.	Y	N	M	T
1	0.00	0.0000	0.0000	0.0000
2	0.31	3.1897	0.0322	0.3143
3	0.62	6.5387	0.1310	0.6442
4	0.93	10.0471	0.2996	0.9899

5	1.24	13.7149	0.5413	1.3513
6	1.55	17.5420	0.8592	1.7284
7	1.87	21.5285	1.2567	2.1211
8	2.18	25.6743	1.7398	2.5749
9	2.49	29.9795	2.3741	3.4849
10	2.80	34.4440	3.4076	5.5145
11	3.11	39.0679	5.2378	8.9172
12	3.42	43.8512	8.2972	13.7378
13	3.73	48.7938	13.0315	20.0151
14	4.04	53.8958	19.8974	27.7837
15	4.35	59.1571	29.3619	37.0742
16	4.67	64.5778	41.9010	47.9132
17	4.98	70.1579	57.9984	60.3248
18	5.29	75.8973	78.1451	74.3311
19	5.60	81.7961	102.8393	89.9714
20	5.91	87.8542	132.6477	107.9488
21	6.22	94.0717	168.6263	130.0656

### Sollecitazioni fondazione di valle

#### Combinazione n° 4

L'ascissa X(espressa in m) è considerata positiva verso monte con origine in corrispondenza dell'estremo libero della fondazione di valle

Momento positivo se tende le fibre inferiori, espresso in kNm

Taglio positivo se diretto verso l'alto, espresso in kN

Nr.	X	M	T
-----	---	---	---

1	0.00	0.0000	0.0000
2	0.08	0.8045	20.0664
3	0.16	3.2032	39.8545
4	0.24	7.1738	59.3643
5	0.32	12.6941	78.5959
6	0.40	19.7417	97.5492
7	0.48	28.2945	116.2242
8	0.56	38.3302	134.6210
9	0.64	49.8265	152.7394
10	0.72	62.7611	170.5796
11	0.80	77.1118	188.1416

### Sollecitazioni fondazione di monte

#### Combinazione n° 4

L'ascissa X(espressa in m) è considerata positiva verso valle con origine in corrispondenza dell'estremo libero della fondazione di monte

Momento positivo se tende le fibre inferiori, espresso in kNm

Taglio positivo se diretto verso l'alto, espresso in kN

Nr.	X	M	T
1	0.00	0.0000	0.0000
2	0.34	-6.9466	-39.7677
3	0.68	-26.2977	-72.9678
4	1.02	-55.8204	-99.6002
5	1.36	-93.2815	-119.6651
6	1.70	-136.4483	-133.1622

**Linea AV/AC VERONA – PADOVA****1° Sublotto: VERONA – MONTEBELLO VICENTINO**Titolo:  
RELAZIONE DI CALCOLO MURI

PROGETTO LOTTO CODIFICA DOCUMENTO REV.

INOD 00 DI2 CL IV 07A0004A

. Pag  
103 di 121

7	2.04	-183.0875	-140.0918
8	2.38	-230.9664	-140.4537
9	2.72	-277.8518	-134.2480
10	3.06	-321.5107	-121.4747
11	3.40	-359.7102	-102.1338



**Armature e tensioni nei materiali del muro**
Combinazione n° 4

L'ordinata Y (espressa in [m]) è considerata positiva verso il basso con origine in testa al muro

- B** base della sezione espressa in [cm]  
**H** altezza della sezione espressa in [cm]  
**A<sub>fs</sub>** area di armatura in corrispondenza del lembo di monte in [cmq]  
**A<sub>fi</sub>** area di armatura in corrispondenza del lembo di valle in [cmq]  
**N<sub>u</sub>** sforzo normale ultimo espresso in [kN]  
**M<sub>u</sub>** momento ultimo espresso in [kNm]  
**CS** coefficiente sicurezza sezione  
**VRcd** Aliquota di taglio assorbito dal cls, espresso in [kN]  
**VRsd** Aliquota di taglio assorbito dall'armatura, espresso in [kN]  
**VRd** Resistenza al taglio, espresso in [kN]

Nr.	Y	B, H	A <sub>fs</sub>	A <sub>fi</sub>	N <sub>u</sub>	M <sub>u</sub>	CS	V <sub>Rd</sub>	V <sub>Rcd</sub>	V <sub>Rsd</sub>
1	0.00	100, 40	12.57	12.57	0.00	0.00	1000.00	158.24	--	--
2	0.31	100, 42	12.57	12.57	6040.23	-60.99	1893.68	164.77	--	--
3	0.62	100, 44	12.57	12.57	6205.51	-124.31	949.04	171.27	--	--
4	0.93	100, 46	12.57	12.57	6376.12	-190.13	634.62	177.74	--	--
5	1.24	100, 48	12.57	12.57	6551.11	-258.54	477.67	184.19	--	--
6	1.55	100, 50	12.57	12.57	6729.76	-329.63	383.64	190.61	--	--
7	1.87	100, 52	12.57	12.57	6911.48	-403.46	321.04	197.02	--	--
8	2.18	100, 54	12.57	12.57	6945.02	-470.64	270.50	203.40	--	--
9	2.49	100, 56	12.57	12.57	6924.82	-548.39	230.99	209.78	--	--
10	2.80	100, 58	12.57	12.57	6672.86	-660.15	193.73	216.14	--	--
11	3.11	100, 61	12.57	12.57	6055.70	-811.88	155.00	222.49	--	--
12	3.42	100, 63	12.57	12.57	5116.99	-968.20	116.69	228.84	--	--
13	3.73	100, 65	12.57	12.57	3782.91	-1010.31	77.53	235.17	--	--
14	4.04	100, 67	12.57	12.57	2389.48	-882.15	44.34	241.51	--	--

15	4.35	100, 69	12.57	12.57	1399.44	-694.60	23.66	247.84	--	--
16	4.67	100, 71	12.57	12.57	869.75	-564.33	13.47	254.17	--	--
17	4.98	100, 73	12.57	12.57	604.86	-500.03	8.62	260.49	--	--
18	5.29	100, 75	12.57	12.57	453.56	-467.00	5.98	266.82	--	--
19	5.60	100, 77	12.57	12.57	357.28	-449.20	4.37	273.15	--	--
20	5.91	100, 79	12.57	12.57	291.31	-439.84	3.32	279.48	--	--
21	6.22	100, 81	12.57	12.57	242.85	-435.32	2.58	285.81	--	--

### Armature e tensioni nei materiali della fondazione

#### Combinazione n° 4

Simbologia adottata

- B base della sezione espressa in [cm]
- H altezza della sezione espressa in [cm]
- $A_{fi}$  area di armatura in corrispondenza del lembo inferiore in [cmq]
- $A_{fs}$  area di armatura in corrispondenza del lembo superiore in [cmq]
- $N_u$  sforzo normale ultimo espresso in [kN]
- $M_u$  momento ultimo espresso in [kNm]
- CS coefficiente sicurezza sezione
- $V_{Rcd}$  Aliquota di taglio assorbito dal cls, espresso in [kN]
- $V_{Rsd}$  Aliquota di taglio assorbito dall'armatura, espresso in [kN]
- $V_{Rd}$  Resistenza al taglio, espresso in [kN]

#### Fondazione di valle

(L'ascissa X, espressa in [m], è positiva verso monte con origine in corrispondenza dell'estremo libero della fondazione di valle)

Nr.	Y	B, H	$A_{fs}$	$A_{fi}$	$N_u$	$M_u$	CS	$V_{Rd}$	$V_{Rcd}$	$V_{Rsd}$
1	0.00	100, 130	10.18	20.36	0.00	0.00	1000.00	397.19	--	--
2	0.08	100, 130	10.18	20.36	0.00	933.73	1160.62	397.19	--	--
3	0.16	100, 130	10.18	20.36	0.00	933.73	291.50	397.19	--	--
4	0.24	100, 130	10.18	20.36	0.00	933.73	130.16	397.19	--	--

5	0.32	100, 130	10.18	20.36	0.00	933.73	73.56	397.19	--	--
6	0.40	100, 130	10.18	20.36	0.00	933.73	47.30	397.19	--	--
7	0.48	100, 130	10.18	20.36	0.00	933.73	33.00	397.19	--	--
8	0.56	100, 130	10.18	20.36	0.00	933.73	24.36	397.19	--	--
9	0.64	100, 130	10.18	20.36	0.00	933.73	18.74	397.19	--	--
10	0.72	100, 130	10.18	20.36	0.00	933.73	14.88	397.19	--	--
11	0.80	100, 130	10.18	20.36	0.00	933.73	12.11	397.19	--	--

### Fondazione di monte

(L'ascissa X, espressa in [m], è positiva verso valle con origine in corrispondenza dell'estremo libero della fondazione di monte)

Nr.	Y	B, H	A <sub>fs</sub>	A <sub>fi</sub>	N <sub>u</sub>	M <sub>u</sub>	CS	V <sub>Rd</sub>	V <sub>Rcd</sub>	V <sub>Rsd</sub>
1	0.00	100, 130	20.36	10.18	0.00	0.00	1000.00	397.19	--	--
2	0.34	100, 130	20.36	10.18	0.00	-933.73	134.42	397.19	--	--
3	0.68	100, 130	20.36	10.18	0.00	-933.73	35.51	397.19	--	--
4	1.02	100, 130	20.36	10.18	0.00	-933.73	16.73	397.19	--	--
5	1.36	100, 130	20.36	10.18	0.00	-933.73	10.01	397.19	--	--
6	1.70	100, 130	20.36	10.18	0.00	-933.73	6.84	397.19	--	--
7	2.04	100, 130	20.36	10.18	0.00	-933.73	5.10	397.19	--	--
8	2.38	100, 130	20.36	10.18	0.00	-933.73	4.04	397.19	--	--
9	2.72	100, 130	20.36	10.18	0.00	-933.73	3.36	397.19	--	--
10	3.06	100, 130	20.36	10.18	0.00	-933.73	2.90	397.19	--	--
11	3.40	100, 130	20.36	10.18	0.00	-933.73	2.60	397.19	--	--

### COMBINAZIONE n° 6

Valore della spinta statica

316.3587 [kN]

Componente orizzontale della spinta statica	299.1271	[kN]	
Componente verticale della spinta statica	102.9842	[kN]	
Punto d'applicazione della spinta	X = 3.40	[m]	Y = -4.45 [m]
Inclinaz. della spinta rispetto alla normale alla superficie	19.00	[°]	
Inclinazione linea di rottura in condizioni statiche	52.26	[°]	
Incremento sismico della spinta	76.7713	[kN]	
Punto d'applicazione dell'incremento sismico di spinta	X = 3.40	[m]	Y = -4.45 [m]
Inclinazione linea di rottura in condizioni sismiche	47.45	[°]	
Peso terrapieno gravante sulla fondazione a monte	500.0267	[kN]	
Baricentro terrapieno gravante sulla fondazione a monte	X = 1.79	[m]	Y = -2.51 [m]
Inerzia del muro	25.3176	[kN]	
Inerzia verticale del muro	-12.6588	[kN]	
Inerzia del terrapieno fondazione di monte	49.2663	[kN]	
Inerzia verticale del terrapieno fondazione di monte	-24.6332	[kN]	

### Risultanti

Risultante dei carichi applicati in dir. orizzontale	446.9743	[kN]	
Risultante dei carichi applicati in dir. verticale	854.5066	[kN]	
Resistenza passiva a valle del muro	-36.1546	[kN]	
Momento ribaltante rispetto allo spigolo a valle	1547.0778	[kNm]	
Momento stabilizzante rispetto allo spigolo a valle	2872.9911	[kNm]	
Sforzo normale sul piano di posa della fondazione	854.5066	[kN]	
Sforzo tangenziale sul piano di posa della fondazione	446.9743	[kN]	
Eccentricità rispetto al baricentro della fondazione	0.95	[m]	
Lunghezza fondazione reagente	4.66	[m]	
Risultante in fondazione	964.3482	[kN]	
Inclinazione della risultante (rispetto alla normale)	27.61	[°]	

Momento rispetto al baricentro della fondazione      814.8478 [kNm]

**COEFFICIENTI DI SICUREZZA**

Coefficiente di sicurezza a ribaltamento                      1.86

**Stabilità globale muro + terreno**
**Combinazione n° 8**

Le ascisse X sono considerate positive verso monte

Le ordinate Y sono considerate positive verso l'alto

Origine in testa al muro (spigolo contro terra)

W peso della striscia espresso in [kN]

$\alpha$  angolo fra la base della striscia e l'orizzontale espresso in [°] (positivo antiorario)

$\phi$  angolo d'attrito del terreno lungo la base della striscia

c coesione del terreno lungo la base della striscia espressa in [N/mm<sup>2</sup>]

b larghezza della striscia espressa in [m]

u pressione neutra lungo la base della striscia espressa in [N/mm<sup>2</sup>]

**Metodo di Bishop**

Numero di cerchi analizzati 36

Numero di strisce 25

**Cerchio critico**

Coordinate del centro X[m]= -0.63 Y[m]= 5.69

Raggio del cerchio R[m]= 13.81

Ascissa a valle del cerchio Xi[m]= -8.31

Ascissa a monte del cerchio Xs[m]= 13.17

Larghezza della striscia dx[m]= 0.86

Coefficiente di sicurezza C= 1.62

Le strisce sono numerate da monte verso valle

**Caratteristiche delle strisce**

Striscia	W	$\alpha(^{\circ})$	$W\sin\alpha$	$b/\cos\alpha$	$\phi$	c	u
1	35.5190	78.26	34.7761	0.0414	29.26	0.009	0.000
2	87.0816	65.30	79.1114	0.0202	29.26	0.009	0.000
3	114.7963	57.69	97.0227	0.0158	29.26	0.009	0.000
4	135.7432	51.49	106.2193	0.0135	29.26	0.009	0.000

5	152.6774	46.06	109.9330	0.0121	29.26	0.009	0.000
6	166.7794	41.12	109.6836	0.0112	29.26	0.009	0.000
7	177.8901	36.54	105.9029	0.0105	29.26	0.009	0.000
8	179.9176	32.21	95.9010	0.0100	29.26	0.009	0.000
9	178.6644	28.08	84.1054	0.0095	29.26	0.009	0.000
10	176.0644	24.11	71.9180	0.0092	29.26	0.009	0.000
11	172.2501	20.26	59.6354	0.0090	27.58	0.021	0.000
12	170.8439	16.50	48.5126	0.0088	24.79	0.040	0.000
13	166.9257	12.81	37.0087	0.0086	24.79	0.040	0.000
14	159.9549	9.18	25.5063	0.0085	24.79	0.040	0.000
15	152.0269	5.58	14.7790	0.0085	24.79	0.040	0.000
16	157.3432	2.00	5.5020	0.0084	24.79	0.040	0.000
17	53.6104	-1.56	-1.4623	0.0084	24.79	0.040	0.000
18	39.9465	-5.14	-3.5761	0.0085	24.79	0.040	0.000
19	37.0281	-8.73	-5.6197	0.0085	24.79	0.040	0.000
20	34.2777	-12.36	-7.3360	0.0086	24.79	0.040	0.000
21	30.5390	-16.04	-8.4369	0.0088	24.79	0.040	0.000
22	25.7620	-19.79	-8.7210	0.0090	29.26	0.009	0.000
23	19.8779	-23.63	-7.9667	0.0092	29.26	0.009	0.000
24	12.7931	-27.58	-5.9238	0.0095	29.26	0.009	0.000
25	4.3803	-31.69	-2.3011	0.0099	29.26	0.009	0.000

$$\Sigma W_i = 2642.6929 \text{ [kN]}$$

$$\Sigma W_i \sin \alpha_i = 1034.1741 \text{ [kN]}$$

$$\Sigma W_i \tan \phi_i = 1375.2954 \text{ [kN]}$$

$$\Sigma \tan \alpha_i \tan \phi_i = 7.02$$

**Inviluppo Sollecitazioni paramento**

L'ordinata Y (espressa in [m]) è considerata positiva verso il basso con origine in testa al muro

Momento positivo se tende le fibre contro terra (a monte), espresso in [kNm]

Sforzo normale positivo di compressione, espresso in [kN]

Taglio positivo se diretto da monte verso valle, espresso in [kN]

Inviluppo combinazioni SLU

Nr. Y	Nmin	Nmax	Mmin	Mmax	Tmin	Tmax
10.00	0.0000	0.0000	0.0000	0.0000	0.0000	0.0000
20.31	3.1897	3.1897	-0.0163	0.0322	0.0000	0.3143
30.62	6.5387	6.5387	-0.0661	0.1310	0.0000	0.6442
40.93	10.0471	10.0471	-0.1512	0.2996	0.0000	0.9899
51.24	13.7149	13.7149	-0.2732	0.5413	0.0000	1.3513
61.55	17.5420	17.5420	-0.4336	0.8592	0.0041	1.7284
71.87	21.5285	21.5285	-0.6144	1.2567	0.1834	2.1211
82.18	25.6743	25.6743	-0.6988	1.7398	0.9659	2.5749
92.49	29.9795	29.9795	-0.4511	2.3741	2.6168	3.4849
102.80	34.4440	34.4440	0.4076	3.4076	5.1900	5.5145
113.11	39.0679	39.0679	2.1672	5.2378	8.2882	8.9172
123.42	43.8512	43.8512	5.1268	8.2972	12.5689	13.7378
133.73	48.7938	48.7938	9.5929	13.0315	18.1275	20.0151
144.04	53.8958	53.8958	15.8785	19.8974	24.9943	27.7837
154.35	59.1571	59.1571	24.3023	29.3619	32.8254	37.0742
164.67	64.5778	64.5778	35.1881	41.9010	41.4465	47.9132
174.98	70.1579	70.1579	48.8720	57.9984	51.2299	60.3248
185.29	75.8973	75.8973	65.8650	78.1451	63.4620	74.3311
195.60	81.7961	81.7961	87.1086	102.8393	78.7415	89.9714
205.91	87.8542	87.8542	113.2610	132.6477	95.1691	107.9488
216.22	94.0717	94.0717	144.5610	168.6263	112.1964	130.0656



### Inviluppo combinazioni SLE

Nr. Y	Nmin	Nmax	Mmin	Mmax	Tmin	Tmax
10.00	0.0000	0.0000	0.0000	0.0000	0.0000	0.0000
20.31	3.1897	3.1897	-0.0163	-0.0163	0.0000	0.0000
30.62	6.5387	6.5387	-0.0661	-0.0661	0.0000	0.0000
40.93	10.0471	10.0471	-0.1512	-0.1512	0.0000	0.0000
51.24	13.7149	13.7149	-0.2732	-0.2732	0.0000	0.0000
61.55	17.5420	17.5420	-0.4337	-0.4337	0.0000	0.0000
71.87	21.5285	21.5285	-0.6344	-0.6344	0.0000	0.0000
82.18	25.6743	25.6743	-0.8755	-0.8755	0.0227	0.0227
92.49	29.9795	29.9795	-1.1274	-1.1274	0.2658	0.2658
102.80	34.4440	34.4440	-1.2694	-1.2694	1.0612	1.0612
113.11	39.0679	39.0679	-1.1056	-1.1056	2.5360	2.5360
123.42	43.8512	43.8512	-0.4231	-0.4231	4.7124	4.7124
133.73	48.7938	48.7938	0.9980	0.9980	7.6099	7.6099
144.04	53.8958	53.8958	3.3830	3.3830	11.2458	11.2458
154.35	59.1571	59.1571	6.9622	6.9622	15.6353	15.6353
164.67	64.5778	64.5778	11.9707	11.9707	20.7920	20.7920
174.98	70.1579	70.1579	18.6471	18.6471	26.7276	26.7276
185.29	75.8973	75.8973	27.2338	27.2338	33.4534	33.4534
195.60	81.7961	81.7961	37.9771	37.9836	40.9890	41.1455
205.91	87.8542	87.8542	51.1571	51.4191	49.6862	51.3433
216.22	94.0717	94.0717	67.2991	68.3424	60.4470	63.6080

### **Inviluppo Sollecitazioni fondazione di valle**

L'ascissa X(espressa in m) è considerata positiva verso monte con origine in corrispondenza dell'estremo libero della fondazione di valle

Momento positivo se tende le fibre inferiori, espresso in [kNm]

Taglio positivo se diretto verso l'alto, espresso in [kN]

### Inviluppo combinazioni SLU

Nr. X	Mmin	Mmax	Tmin	Tmax
10.00	0.0000	0.0000	0.0000	0.0000
20.08	0.6565	0.8045	16.3830	20.0664
30.16	2.6166	3.2032	32.5893	39.8545
40.24	5.8661	7.1738	48.6188	59.3643
50.32	10.3909	12.6941	64.4715	78.5959
60.40	16.1768	19.7417	80.1475	97.5492
70.48	23.2097	28.2945	95.6466	116.2242
80.56	31.4756	38.3302	110.9690	134.6210
90.64	40.9601	49.8265	126.1147	152.7394
100.72	51.6492	62.7611	141.0835	170.5796
110.80	63.5287	77.1118	155.8756	188.1416

### Inviluppo combinazioni SLE

Nr. X	Mmin	Mmax	Tmin	Tmax
10.00	0.0000	0.0000	0.0000	0.0000
20.08	0.4251	0.4646	10.6245	11.6084
30.16	1.6996	1.8563	21.2374	23.1785
40.24	3.8227	4.1721	31.8388	34.7103
50.32	6.7935	7.4089	42.4286	46.2038
60.40	10.6110	11.5637	53.0068	57.6589
70.48	15.2743	16.6334	63.5734	69.0758
80.56	20.7824	22.6148	74.1285	80.4543

90.64	27.1345	29.5050	84.6720	91.7945
100.72	34.3296	37.3009	95.2039	103.0964
110.80	42.3668	45.9994	105.7242	114.3600

### Inviluppo Sollecitazioni fondazione di monte

L'ascissa X(espressa in m) è considerata positiva verso valle con origine in corrispondenza dell'estremo libero della fondazione di monte

Momento positivo se tende le fibre inferiori, espresso in [kNm]

Taglio positivo se diretto verso l'alto, espresso in [kN]

### Inviluppo combinazioni SLU

Nr. X	Mmin	Mmax	Tmin	Tmax
10.00	0.0000	0.0000	0.0000	0.0000
20.34	-7.9267	-6.9466	-45.7617	-39.7677
30.68	-30.5290	-26.2977	-86.3266	-72.9678
41.02	-66.0399	-55.8204	-121.6949	-99.6002
51.36	-112.6925	-93.2815	-151.8664	-119.6651
61.70	-168.7201	-136.4483	-176.8413	-133.1622
72.04	-232.3556	-183.0875	-196.6194	-140.0918
82.38	-301.8323	-230.9664	-211.2008	-140.4537
92.72	-375.3832	-277.8518	-220.5856	-134.2480
103.06	-451.2415	-321.5107	-224.7736	-121.4747
113.40	-527.6403	-359.7102	-223.7649	-102.1338

### Inviluppo combinazioni SLE

Nr. X	Mmin	Mmax	Tmin	Tmax
10.00	0.0000	0.0000	0.0000	0.0000
20.34	-2.5313	-2.0693	-14.5178	-11.8807
30.68	-9.6190	-7.8805	-26.8022	-22.0110
41.02	-20.5037	-16.8384	-36.8532	-30.3908
51.36	-34.4260	-28.3479	-44.6709	-37.0203
61.70	-50.6268	-41.8138	-50.2552	-41.8993
72.04	-68.3465	-56.6410	-53.6062	-45.0278
82.38	-86.8259	-72.2343	-54.7238	-46.4060
92.72	-105.3055	-87.9987	-53.6080	-46.0337
103.06	-123.0262	-103.3389	-50.2589	-43.9110
113.40	-139.2285	-117.6598	-44.6765	-40.0379

### Inviluppo armature e tensioni nei materiali del muro

L'ordinata Y (espressa in [m]) è considerata positiva verso il basso con origine in testa al muro

- B base della sezione espressa in [cm]
- H altezza della sezione espressa in [cm]
- $A_{rs}$  area di armatura in corrispondenza del lembo di monte in [cmq]
- $A_{ri}$  area di armatura in corrispondenza del lembo di valle in [cmq]
- $\sigma_c$  tensione nel calcestruzzo espressa in [N/mmq]
- $\tau_c$  tensione tangenziale nel calcestruzzo espressa in [N/mmq]
- $\sigma_{rs}$  tensione nell'armatura disposta sul lembo di monte in [N/mmq]
- $\sigma_{ri}$  tensione nell'armatura disposta sul lembo di valle in [N/mmq]
- $N_u$  sforzo normale ultimo espresso in [kN]
- $M_u$  momento ultimo espresso in [kNm]
- CS coefficiente sicurezza sezione
- VRcd Aliquota di taglio assorbito dal cls, espresso in [kN]
- VRsd Aliquota di taglio assorbito dall'armatura, espresso in [kN]
- VRd Resistenza al taglio, espresso in [kN]

### Inviluppo SLU

Nr.	Y	B, H	A <sub>fs</sub>	A <sub>fi</sub>	N <sub>u</sub>	M <sub>u</sub>	CS	V <sub>Rd</sub>	V <sub>Rcd</sub>	V <sub>Rsd</sub>
1	0.00	100, 40	12.57	12.57	0.00	0.00	1000.00	158.24	--	--
2	0.31	100, 42	12.57	12.57	6040.23	31.02	1893.68	164.77	--	--
3	0.62	100, 44	12.57	12.57	6205.51	63.65	949.04	171.27	--	--
4	0.93	100, 46	12.57	12.57	6376.12	97.91	634.62	177.74	--	--
5	1.24	100, 48	12.57	12.57	6551.11	133.81	477.67	184.19	--	--
6	1.55	100, 50	12.57	12.57	6729.76	171.33	383.64	190.61	--	--
7	1.87	100, 52	12.57	12.57	6911.48	204.18	321.04	197.02	--	--
8	2.18	100, 54	12.57	12.57	6945.02	201.95	270.50	203.40	--	--
9	2.49	100, 56	12.57	12.57	6924.82	117.03	230.99	209.78	--	--
10	2.80	100, 58	12.57	12.57	6672.86	-95.36	193.73	216.14	--	--
11	3.11	100, 61	12.57	12.57	6055.70	-441.43	155.00	222.49	--	--
12	3.42	100, 63	12.57	12.57	5116.99	-794.33	116.69	228.84	--	--
13	3.73	100, 65	12.57	12.57	3782.91	-1010.31	77.53	235.17	--	--
14	4.04	100, 67	12.57	12.57	2389.48	-882.15	44.34	241.51	--	--
15	4.35	100, 69	12.57	12.57	1399.44	-694.60	23.66	247.84	--	--
16	4.67	100, 71	12.57	12.57	869.75	-564.33	13.47	254.17	--	--
17	4.98	100, 73	12.57	12.57	604.86	-500.03	8.62	260.49	--	--
18	5.29	100, 75	12.57	12.57	453.56	-467.00	5.98	266.82	--	--
19	5.60	100, 77	12.57	12.57	357.28	-449.20	4.37	273.15	--	--
20	5.91	100, 79	12.57	12.57	291.31	-439.84	3.32	279.48	--	--
21	6.22	100, 81	12.57	12.57	242.85	-435.32	2.58	285.81	--	--

Inviluppo SLE

Nr.	Y	B, H	A <sub>fs</sub>	A <sub>fi</sub>	$\sigma_c$	$\tau_c$	$\sigma_{fs}$	$\sigma_{fi}$
1	0.00	100, 40	12.57	12.57	0.000	0.000	0.000	0.000
2	0.31	100, 42	12.57	12.57	0.007	0.000	-0.110	-0.099
3	0.62	100, 44	12.57	12.57	0.015	0.000	-0.226	-0.183
4	0.93	100, 46	12.57	12.57	0.024	0.000	-0.347	-0.257
5	1.24	100, 48	12.57	12.57	0.032	0.000	-0.472	-0.320
6	1.55	100, 50	12.57	12.57	0.041	0.000	-0.599	-0.375

7	1.87	100, 52	12.57	12.57	0.050	0.000	-0.729	-0.423
8	2.18	100, 54	12.57	12.57	0.060	0.000	-0.860	-0.465
9	2.49	100, 56	12.57	12.57	0.068	0.001	-0.985	-0.509
10	2.80	100, 58	12.57	12.57	0.075	0.002	-1.082	-0.578
11	3.11	100, 61	12.57	12.57	0.077	0.005	-1.118	-0.705
12	3.42	100, 63	12.57	12.57	0.072	0.009	-1.066	-0.917
13	3.73	100, 65	12.57	12.57	0.084	0.015	-0.904	-1.236
14	4.04	100, 67	12.57	12.57	0.117	0.021	-0.615	-1.680
15	4.35	100, 69	12.57	12.57	0.160	0.028	-0.185	-2.262
16	4.67	100, 71	12.57	12.57	0.223	0.037	0.705	-3.105
17	4.98	100, 73	12.57	12.57	0.330	0.046	3.260	-4.480
18	5.29	100, 75	12.57	12.57	0.484	0.056	8.591	-6.372
19	5.60	100, 77	12.57	12.57	0.672	0.066	16.747	-8.605
20	5.91	100, 79	12.57	12.57	0.891	0.081	27.707	-11.168
21	6.22	100, 81	12.57	12.57	1.149	0.097	41.910	-14.161

### Inviluppo armature e tensioni nei materiali della fondazione

Simbologia adottata

B base della sezione espressa in [cm]

H altezza della sezione espressa in [cm]

$A_{fi}$  area di armatura in corrispondenza del lembo inferiore in [cmq]

$A_{fs}$  area di armatura in corrispondenza del lembo superiore in [cmq]

$\sigma_c$  tensione nel calcestruzzo espressa in [N/mmq]

$\tau_c$  tensione tangenziale nel calcestruzzo espressa in [N/mmq]

$\sigma_{fi}$  tensione nell'armatura disposta in corrispondenza del lembo inferiore in [N/mmq]

$\sigma_{fs}$  tensione nell'armatura disposta in corrispondenza del lembo superiore in [N/mmq]

$N_u$  sforzo normale ultimo espresso in [kN]

$M_u$  momento ultimo espresso in [kNm]

CS coefficiente sicurezza sezione

VRcd Aliquota di taglio assorbito dal cls, espresso in [kN]

VRsd Aliquota di taglio assorbito dall'armatura, espresso in [kN]

VRd Resistenza al taglio, espresso in [kN]

Fondazione di valle

(L'ascissa X, espressa in [m], è positiva verso monte con origine in corrispondenza dell'estremo libero della fondazione di valle)

Inviluppo SLU

Nr.	Y	B, H	A <sub>fs</sub>	A <sub>fi</sub>	N <sub>u</sub>	M <sub>u</sub>	CS	V <sub>Rd</sub>	V <sub>Rcd</sub>	V <sub>Rsd</sub>
1	0.00	100, 130	10.18	20.36	0.00	0.00	1000.00	397.19	--	--
2	0.08	100, 130	10.18	20.36	0.00	933.73	1160.62	397.19	--	--
3	0.16	100, 130	10.18	20.36	0.00	933.73	291.50	397.19	--	--
4	0.24	100, 130	10.18	20.36	0.00	933.73	130.16	397.19	--	--
5	0.32	100, 130	10.18	20.36	0.00	933.73	73.56	397.19	--	--
6	0.40	100, 130	10.18	20.36	0.00	933.73	47.30	397.19	--	--
7	0.48	100, 130	10.18	20.36	0.00	933.73	33.00	397.19	--	--
8	0.56	100, 130	10.18	20.36	0.00	933.73	24.36	397.19	--	--
9	0.64	100, 130	10.18	20.36	0.00	933.73	18.74	397.19	--	--
10	0.72	100, 130	10.18	20.36	0.00	933.73	14.88	397.19	--	--
11	0.80	100, 130	10.18	20.36	0.00	933.73	12.11	397.19	--	--

Inviluppo SLE

Nr.	X	B, H	A <sub>fs</sub>	A <sub>fi</sub>	σ <sub>c</sub>	τ <sub>c</sub>	σ <sub>fi</sub>	σ <sub>fs</sub>
12	0.00	100, 130	10.18	20.36	0.000	0.000	0.000	0.000
13	0.08	100, 130	10.18	20.36	0.003	0.011	0.193	-0.037
14	0.16	100, 130	10.18	20.36	0.012	0.022	0.770	-0.149
15	0.24	100, 130	10.18	20.36	0.027	0.032	1.730	-0.334
16	0.32	100, 130	10.18	20.36	0.048	0.043	3.072	-0.593
17	0.40	100, 130	10.18	20.36	0.074	0.054	4.795	-0.926
18	0.48	100, 130	10.18	20.36	0.107	0.064	6.897	-1.332
19	0.56	100, 130	10.18	20.36	0.145	0.075	9.378	-1.812
20	0.64	100, 130	10.18	20.36	0.189	0.086	12.235	-2.363
21	0.72	100, 130	10.18	20.36	0.240	0.096	15.467	-2.988
22	0.80	100, 130	10.18	20.36	0.295	0.107	19.074	-3.685

Fondazione di monte

(L'ascissa X, espressa in [m], è positiva verso valle con origine in corrispondenza dell'estremo libero della fondazione di monte)

Inviluppo SLU

Nr.	Y	B, H	A <sub>fs</sub>	A <sub>fi</sub>	N <sub>u</sub>	M <sub>u</sub>	CS	V <sub>Rd</sub>	V <sub>Rcd</sub>	V <sub>Rsd</sub>
1	0.00	100, 130	20.36	10.18	0.00	0.00	1000.00	397.19	--	--
2	0.34	100, 130	20.36	10.18	0.00	-933.73	117.80	397.19	--	--
3	0.68	100, 130	20.36	10.18	0.00	-933.73	30.59	397.19	--	--
4	1.02	100, 130	20.36	10.18	0.00	-933.73	14.14	397.19	--	--
5	1.36	100, 130	20.36	10.18	0.00	-933.73	8.29	397.19	--	--
6	1.70	100, 130	20.36	10.18	0.00	-933.73	5.53	397.19	--	--
7	2.04	100, 130	20.36	10.18	0.00	-933.73	4.02	397.19	--	--
8	2.38	100, 130	20.36	10.18	0.00	-933.73	3.09	397.19	--	--
9	2.72	100, 130	20.36	10.18	0.00	-933.73	2.49	397.19	--	--
10	3.06	100, 130	20.36	10.18	0.00	-933.73	2.07	397.19	--	--
11	3.40	100, 130	20.36	10.18	0.00	-933.73	1.77	397.19	--	--

Inviluppo SLE

Nr.	X	B, H	A <sub>fs</sub>	A <sub>fi</sub>	$\sigma_c$	$\tau_c$	$\sigma_{fi}$	$\sigma_{fs}$
12	0.00	100, 130	20.36	10.18	0.000	0.000	0.000	0.000
13	0.34	100, 130	20.36	10.18	0.016	-0.014	-0.203	1.050
14	0.68	100, 130	20.36	10.18	0.062	-0.025	-0.771	3.989
15	1.02	100, 130	20.36	10.18	0.132	-0.034	-1.642	8.502
16	1.36	100, 130	20.36	10.18	0.221	-0.042	-2.758	14.275
17	1.70	100, 130	20.36	10.18	0.325	-0.047	-4.055	20.993
18	2.04	100, 130	20.36	10.18	0.439	-0.050	-5.475	28.341
19	2.38	100, 130	20.36	10.18	0.558	-0.051	-6.955	36.004
20	2.72	100, 130	20.36	10.18	0.676	-0.050	-8.435	43.667





**ATI bonifica**

## Linea AV/AC VERONA – PADOVA

**1° Sublotto: VERONA – MONTEBELLO VICENTINO**

Titolo:  
RELAZIONE DI CALCOLO MURI

PROGETTO LOTTO CODIFICA DOCUMENTO REV.

INOD 00 DI2 CL IV 07A0004A

. Pag  
120 di 121

21 3.06 100, 130 20.36 10.18 0.790 -0.047 -9.855 51.015

22 3.40 100, 130 20.36 10.18 0.894 -0.042 -11.153 57.733